



## ARTÍCULO DE INVESTIGACIÓN ORIGINAL

# REVISIÓN DEL GÉNERO *Eurycotis* STÅL, 1874 (BLATTODEA: BLATTIDAE: EURYCOTINAE) EN MÉXICO Y DESCRIPCIÓN DE NUEVAS ESPECIES; CON SINOPSIS Y GUÍA TAXONÓMICA PARA LAS ESPECIES DE NORTE Y CENTROAMÉRICA Y NOTA TAXONÓMICA

**Julio C. Estrada-Álvarez<sup>1, 2\*</sup>, Esteban Gutiérrez<sup>3</sup>, Carlo G. Sormani<sup>2, 4, 5</sup>**

Museo Universitario de Historia Natural Dr. Manuel M. Villada UAEMex, Inst. Literario 100, Colonia Centro, Toluca, Estado México C.P. 50000<sup>1</sup>

ENTOMOLOGICAL RESEARCH A. C. Metepec, Bo. San Mateo, Estado México, México<sup>2</sup>

Museo Nacional de Historia Natural, Obispo No. 61, Esq. Oficinas, Plaza de Armas, La Habana Vieja 10100, La Habana, Cuba<sup>3</sup>

Instituto de Ecología, A.C., Ap. Postal 63, 91000, Xalapa, Veracruz, México<sup>4</sup>

Museum d'Histoire Naturelle de Genève, Geneva, Switzerland<sup>5</sup>

micraten@yahoo.com.mx<sup>1</sup>  
byrsotria2002@yahoo.com<sup>2</sup>  
sormanihc@gmail.com<sup>3</sup>

✉ micraten@yahoo.com.mx

---

Carr. México-Texcoco km 36.5, 56230, Montecillo, Estado de México, México.  
Folia Entomológica Mexicana (nueva serie), 2024, 10: e20241005.

Recibido: 20/08/2025

Aceptado: 18/12/2025

Publicado en línea: 06/02/2026



**REVISIÓN DEL GÉNERO *Eurycotis* STÅL, 1874 (BLATTODEA: BLATTIDAE: EURYCOTINAE) EN MÉXICO Y DESCRIPCIÓN DE NUEVAS ESPECIES; CON SINOPSIS Y GUÍA TAXONÓMICA PARA LAS ESPECIES DE NORTE Y CENTROAMÉRICA Y NOTA TAXONÓMICA**

**REVISION OF THE GENUS *Eurycotis* STÅL, 1874 (BLATTODEA: BLATTIDAE: EURYCOTINAE) IN MEXICO AND DESCRIPTION OF NEW SPECIES; WITH A SYNOPSIS AND TAXONOMIC GUIDE FOR THE NORTH AND CENTRAL AMERICAN SPECIES AND A TAXONOMIC NOTE**

Julio C. Estrada-Álvarez<sup>1, 2\*</sup> , Esteban Gutiérrez<sup>3</sup> , Carlo G. Sormani<sup>2, 4, 5</sup> 

Museo Universitario de Historia Natural Dr. Manuel M. Villada UAEMex, Inst. Literario 100, Colonia Centro, Toluca, Estado México C.P. 50000<sup>1</sup>.

ENTOMOLOGICAL RESEARCH A. C. Metepec, Bo. San Mateo, Estado México, México<sup>2</sup>.

Museo Nacional de Historia Natural, Obispo No. 61, Esq. Oficinas, Plaza de Armas, La Habana Vieja 10100, La Habana, Cuba<sup>3</sup>.

Instituto de Ecología, A.C., Ap. Postal 63, 91000, Xalapa, Veracruz, México<sup>4</sup>.

Museum d'Histoire Naturelle de Genève, Geneva, Switzerland<sup>5</sup>.

\*Autor de correspondencia: micraten@yahoo.com.mx

**Recibido:** 20/08/2025

**Aceptado:** 18/12/2025

**Publicado en línea:** 06/02/2026

**Editor Asociado:** Santiago Niño Maldonado

**RESUMEN.** El género *Eurycotis* Stål en México es revisado, con base en examinación de colecciones científicas de México y el extranjero, redescubriendo las dos especies conocidas para este territorio y describiendo 12 nuevas especies; se proporciona una guía para la separación de los dos géneros de la subfamilia Eurycotinae; además se proporciona una sinopsis del género *Eurycotis* de Centroamérica y guía para la separación de las especies de Norte y Centroamérica. Por último, se considera a la especie chilena *Kakerlac brevipes* Philippi, 1863 [= *Eurycotis brevipes*] *nomina bubia* statu novo.

**Palabras clave:** Insecta, Blattaria, Eurycotinae, Taxonomía.

**ABSTRACT.** The genus *Eurycotis* Stål in Mexico is revised, based on a examination of scientific collections from Mexico and abroad, redescubing the two species known from this territory and describing 12 new species; a guide is provided for the separation of the two genera of the subfamily Eurycotinae; in addition, a synopsis of the genus *Eurycotis* from Central America and a guide for the separation of the species from North and Central America are provided; finally, is considered the Chilean species *Kakerlac brevipes* Philippi, 1863 [= *Eurycotis brevipes*] *nomina bubia* statu novo.

**Key words:** Insecta, Blattaria, Eurycotinae, Taxonomy.

## INTRODUCCIÓN

El género Neotropical *Eurycotis* Stål, 1874, comprendía 60 especies, en Román-de la Fuente *et al.* (2023:46) se considera a *Kakerlac brevipes* Philippi, 1863 *species inquirenda*, dejando al género con 59 especies; en años recientes con la especie nueva de Cuba (Gutiérrez 2025), aumenta nuevamente la cifra de especies del género a 60. Todas las especies del género son americanas, con una distribución desde EE. UU., hasta Brasil (Beccaloni, 2025). En México se han descrito cuatro especies, *E. mysteca* (Saussure, 1862), *E. mexicana* (Saussure, 1862), *Polyzosteria azteca* Saussure, 1862 y *Polyzosteria rufovittata* Brunner von Wattenwyl, 1865, estas dos últimas son consideradas sinonimias junior de las primeras dos, siendo válidas en la actualidad solo dos especies: *E. mysteca* y *E. mexicana*.

*Eurycotis mysteca* (Saussure, 1862) se describió por vez primera como *Periplaneta mysteca*, basándose en machos y hembras de México (“Mexico temperate” en Saussure, 1862; “Les terres tempérées du Mexique...Oaxaca” en Saussure, 1864); después Brunner describe a *Polyzosteria rufovittata* Brunner von Wattenwyl, 1865, que fue considerada por el mismo autor como una sinonimia junior de *Polyzosteria mysteca* (Brunner von Wattenwyl, 1865: 412). Carl Stål en 1874 establece el nuevo género *Eurycotis* Stål, 1874, y designa como especie tipo a *Eurycotis rufovittata* (Brunner von Wattenwyl, 1865) [= *Eurycotis mysteca*] (Stål, 1874).

*Eurycotis mexicana* (Saussure, 1862) fue descrita como *Polyzosteria mexicana*, con base en machos y hembras colectados en el estado de Puebla (Les terres froides du Mexique. Le plateau, Saussure, 1864), a su vez *Polyzosteria azteca* Saussure, 1862 se describe basado en un macho juvenil de la misma procedencia que *E. mexicana*; en la actualidad este taxón es considerado un sinónimo menor de *E. mexicana* (sensu Brunner von Wattenwyl, 1865: 412).

El objetivo principal de esta revisión es estudiar por vez primera, los genitales masculinos y otros caracteres de relevancia taxonómica a partir del examen de la especie tipo del género *Eurycotis* Stål, 1874, es decir *E. mysteca*, y de la segunda especie conocida para México, *E. mexicana*; además de la descripción de nuevas especies tratados con el mismo rigor que la especie tipo, que establecerán las bases para futuros estudios comparativos entre las especies de este género lo que ayudará a esclarecer la taxonomía del grupo; y a su vez, nos permitirá lograr una mejor comprensión del alcance de la distribución del género en las Américas. La nueva información resultante de este estudio permitirá también revisar y definir posibles nuevos géneros relacionados con *Eurycotis* (Blattidae) en esta área geográfica.

## MATERIALES Y MÉTODOS

Los ejemplares tipos de *Periplaneta mysteca* Saussure, 1862 (MHNG), *Polyzosteria rufovittata* Brunner von Wattenwyl, 1865 (NHMW), *Polyzosteria mexicana* Saussure, 1862 (MHNG), y *Polyzosteria azteca* Saussure, 1862 (MHNG), fueron revisados, además de ejemplares depositados en las colecciones MHNG, CNIN e IEXA. La técnica utilizada para la disección y estudio de los genitales masculinos, las medidas de los ejemplares y los materiales utilizados, según Gutiérrez (2013).

La nomenclatura sigue a McKittrick (1964), McKittrick & Mackerras (1965), Mackerras (1965) y Roth (2003).

### Abreviaciones

#### Instituciones mencionadas.

**AMNH:** American Museum of Natural History. New York, USA.

**ANSP:** The Academy of Natural Sciences of Philadelphia, Pensilvania, U.S.A.



**BMNH:** British Museum of Natural History, London, U.K.

**CMNH:** Carnegie Museum of Natural History, Pittsburg, Pensilvania, U.S.A.

**CNIABM:** Colección Nacional de Insectos “Dr. Alfredo Barrera Marín, Museo de Historia Natural de la Ciudad de México, Chapultepec, CDMX, México.

**CNIN:** Colección Nacional de Insectos, Instituto de Biología, UNAM. Ciudad de México, México.

**CZD:** Colección Zoológica de Docencia de la Universidad Nacional Autónoma de México. CDMX, México.

**FSCA:** Florida State Collection of Arthropods, Gainesville, FL, U.S.A.

**IEXA:** Instituto de Ecología. Xalapa, Veracruz, México. Xalapa, Veracruz, México.

**MCZ:** Museum of Comparative Zoology, Harvard University, Massachusetts, U.S.A.

**MEBT:** Museo de Entomología y Biodiversidad Tropical, San Juan, Puerto Rico.

**MHNG:** Muséum d'histoire naturelle de la Ville de Genève. Genève, Switzerland.

**MNHNC:** Museo Nacional de Historia Natural de Chile, Santiago, Chile.

**MNHNCu:** Museo Nacional de Historia Natural, La Habana, Cuba.

**MNHNSD:** Museo Nacional de Historia Natural “Prof. Eugenio de Jesús Marcano”, República Dominicana.

**NHMW:** Naturhistorisches Museum Wien. Wien, Austria.

**NMNH:** Washington: National Museum of Natural History, Smithsonian Institution, Washington, D.C., U.S.A.

**NRSS:** Naturhistoriska Riksmuseet, Stockholm, Sweden.

**IRCNB:** Institut Royal des Sciences Naturelles de Belgique, Bruxelles, Belgium.

### Nomenclatura.

**h.t.**= Mechón de pelo (glándula tergal en T-1); *hair tuft (tergal gland)*.

**sap**= Lámina supraanal; *supraanal plate*.

**sgp**= Lámina subgenital; *subgenital plate*.

**ap**= Apodemas; *apodemes*.

**s**= Estilo; *style*.

**n**= Escotadura en sgp; *notch in sgp*.

### Genitales masculinos.

**L.ph.**= Falómero izquierdo; *Left phallomere*.

**L<sub>1</sub>**= Esclerito izquierdo uno; *sclerite one of the left phallomere*.

**L<sub>1a</sub>**= Sub-esclerito “a” de L<sub>1</sub>; *subsclerite “a” of L<sub>1</sub>*.

**L<sub>1b</sub>**= Sub-esclerito “b” de L<sub>1</sub>; *subsclerite “b” of L<sub>1</sub>*.

**L<sub>1c</sub>**= Sub-esclerito “c” de L<sub>1</sub>; *subsclerite “c” of L<sub>1</sub>*.

**L<sub>2</sub>**= Esclerito izquierdo dos; *sclerite two of the left phallomere*.

**L<sub>2d</sub>**= Sub-esclerito dorsal de L<sub>2</sub>; *subsclerite dorsal of L<sub>2</sub>*.

**L<sub>2v</sub>**= Sub-esclerito ventral de L<sub>2</sub>; *subsclerite ventral of L<sub>2</sub>*.

**L<sub>2va</sub>**= Sub-esclerito “a” de L<sub>2</sub>; *subsclerite “a” of L<sub>2v</sub>*.

**L<sub>2vb</sub>**= Sub-esclerito “b” de L<sub>2</sub>; *subsclerite “b” of L<sub>2v</sub>*.

**L<sub>3</sub>**= Esclerito izquierdo tres (gancho genital); *sclerite three of the left phallomere (genital hook)*; (“*lal*” in Gurney 1965; Figs. 17, 18).

**p.d.p.**= *Proceso preapical dentiforme*; preapical digitiform process of L<sub>3</sub>; (“*a*” in Gurney 1965; Figs. 17-19).

**acc.pr.**= Proceso accesorio; *accessory process*.

**R.ph.**= Falómero derecho; *Right phallomere*.

**R<sub>1</sub>**= Esclerito derecho uno; *sclerite one of the right phallomere* (“*lar*” in Gurney 1965; Figs. 17)

**R<sub>1a</sub>**= Proceso “a” de R<sub>1</sub>; *process “a” of R<sub>1</sub>* (“*ah*” in Gurney 1965; Figs. 17-19).

**R<sub>1b</sub>**= Proceso “b” de R<sub>1</sub>; *process “b” of R<sub>1</sub>* (“*bb*” in Gurney 1965; Figs. 17, 18).

**v.b.**= Abultamiento ventral en R<sub>1</sub>; *ventral bulge in R<sub>1</sub>*.

**R<sub>2</sub>**= Esclerito derecho dos; *sclerite two of the right phallomere* (R<sub>2</sub> in Gutiérrez 1996, 1999, 2001, 2004, 2013, 2014 = R<sub>1</sub>+R<sub>2</sub>).

**R<sub>3</sub>**= Esclerito derecho tres; *sclerite three of the right phallomere*.

**R<sub>3d</sub>**= Subesclerito dorsal de R<sub>3</sub>, “a” abultamiento en R<sub>3d</sub>, “b” base de R<sub>3d</sub>; *subsclerite dorsal of R<sub>3</sub>, “a” bulge in R<sub>3d</sub>, “b” base of R<sub>3d</sub>*.

**R<sub>3v</sub>**= Subesclerito ventral de R<sub>3</sub>; *subsclerite ventral of R<sub>3</sub>*.

**R<sub>4</sub>**= Esclerito derecho cuatro; *sclerite four of the right phallomere*.

**R<sub>4a</sub>**= Subesclerito “a” de R<sub>4</sub>; *subsclerite “a” of R<sub>4</sub>*.

**R<sub>4b</sub>**= Subesclerito “b” de R<sub>4</sub>; *subsclerite “b” of R<sub>4</sub>*.

**V.ph.**= Falómero ventral; *Ventral phallomere*.

**D♂**= Descripción macho.

**D♀**= Descripción hembra.

**D♂♀**= Descripción ambos sexos.

**D?**= Descripción sexo desconocido.

**LT**= Localidad tipo.

## RESULTADOS

### 1 Revisión del género *Eurycotis* Stål, 1874 en México y descripción de nuevas especies

#### Sistemática

Order **BLATTODEA** Brunner von Wattenwyl, 1882

Superfamily **Blattoidea** Latreille, 1810

Epifamily **Blattoidea** Latreille, 1810

Family **Blattidae** Latreille, 1810

Subfamily **Eurycotinae** McKittrick, 1964

Eurycotini McKittrick, 1964: 21 [tribe. n.] [*Eurycotis*]. McKittrick & Mackerras, 1965: 227 [*Eurycotis*]. Fisk, 1971: 433 [*Eurycotis* and *Pelmatosilpha*].

Eurycotiinae(sic) McKittrick, en: Djernæs & Murienne, 2022: 221 [error de escritura] [stat. rev.] [n. stat.] [*Eurycotis* and *Pelmatosilpha*]. Beccaloni, 2025 [error de escritura] [*Eurycotis* and *Pelmatosilpha*].

**Nota:** Djernæs & Murienne, 2022 usan una mala grafía al nivel subfamilia, no es necesario el uso de "ii", ya que el género *Eurycotis*, no termina en vocal.

Los límites entre los dos géneros de la subfamilia *Eurycotis* y *Pelmatosilpha*, no son claros, si se comparan los escleritos de los genitales masculinos conocidos de las especies de ambos géneros; *E. floridana* (Walker), en McKittrick & Mackerras (1965) y *Pelmatosilpha larifuga* Gurney, 1965; no se encuentra una diferencia significativa, lo que deja la duda de la delimitación entre los géneros. Para separar los

géneros de Eurycotinae McKittrick, 1964 se propone:

**1a.** Especies con tegminas y alas bien desarrolladas o braquípteras, cuando son especies braquípteras, ambas tegminas se superponen (*overlapping*) en sus márgenes internos, con el margen caudal generalmente redondeado.....*Pelmatosilpha* Dohrn

**1b.** Especies con alas reducidas (braquípteras), con tegminas variables en longitud y forma, pueden presentar almohadillas laterales que exponen la mayor parte del mesonoto, o con sus márgenes internos cercanos o superpuestos que pueden cubrir el mesonoto y el metanoto, en estos últimos casos, con el margen caudal trunco; alas ausentes (lobiformes y esclerotizadas en *E. quadrisquamata*).....*Eurycotis* Stål

#### *Eurycotis* Stål, 1874

*Eurycotis* Stål, 1874: 13. Saussure & Zehntner, 1893: 70 (guía spp). Finot, 1897: 197. Kirby, 1904: 143. Rehn, 1906: 110. Shelford, 1910: 12. Hebard, 1917: 165. Hebard, 1919: 112. Blatchley, 1920: 97. Rehn y Hebard, 1927: 154. Gurney, 1942: 33 (guía spp. Cuba). Estrada-Álvarez, 2022: 200 [Etimología: “cubierto ampliamente” o “común en oriente”].

**Especie tipo:** *Polyzosteria rufovittata* Brunner von Wattenwyl, 1865 [= *Eurycotis mysteca* (Saussure, 1862)]; por monotipia.

**Diagnosis de género:** Especies de tamaño variable, desde especies pequeñas (15mm, ejemplo *E. dominguezi* Estrada-Álvarez o Gutiérrez sp. nov.; *E. gurneyi* Gutiérrez, 1999), hasta especies muy grandes (42 mm ejemplo *E. opaca* (Brunner von Wattenwyl, 1865); *E. taurus* Rehn & Hebard, 1927, es posible que sea por gigantismo insular), sin dimorfismo sexual, formas esbeltas (ejemplo *E. blattoides* Hebard, 1926 o *E. hebardei* Gutiérrez, 2014) o robustas (ejemplo *E. tibialis* Hebard, 1916 o *E. milerai* Gutiérrez, 2001); tegminas (alas anteriores) reducidas, ya sean braquípteras (ejemplo *E. floridana* (Walker, 1868)) o lobiformes; alas siempre ausentes (solo presentes, lobiformes y

queratinizadas en *E. quadrisquamata* Saussure & Zehntner, 1893). Coloración muy variable con especies negras, hasta especies rojizas o amarillentas, pasando por un gradiente de patrones de coloración, tegumento por lo general glabro, en algunos casos un poco punteado.

**Composición:** 72 spp.

**Distribución:** EE. UU. (Florida), hasta Brasil y Antillas.

*Eurycotis mysteca* (Saussure, 1862)

(Figs. 1a-f; 2a-h; 3a-f; 4a-t; 5a-j; 6a-b; 33)

*Periplaneta mysteca* Saussure, 1862: 170 (D?) [sp. nov.] [Mexico temperata (LT)]. Saussure, 1864: 77 (♀) [Les terres tempérées du Mexique...Oaxaca]. Walker, 1868: 136. Scudder, 1868 63. Scudder, 1901: 246.

*Polyzosteria mysteca* Saussure; in Saussure, 1870: 71; Lam. II, Fig. 40 [Mexique; Terres tempérées; Oaxaca] [comb. nov.]. Scudder, 1901: 273.

*Polyzosteria rufovittata* Brunner von Wattenwyl, 1865: 215 (D♂♀) [sp. nov.] [Oaxaca en Mexique (LT)] [*sin. jun. sensu* Brunner von Wattenwyl, 1865: 412]. Scudder, 1901: 273.

*Polyzosteria (Platyzosteria) rufovittata* (Brunner von Wattenwyl); in Scudder, 1901: 274.

*Eurycotis rufovittata* (Brunner von Wattenwyl); in Stål, 1874: 13 [comb. nov.].

*Eurycotis mysteca* (Saussure); in Saussure & Zehntner, 1893: 71 [comb. nov.]. (♀) [México, Oaxaca]. Finot, 1897: 197. Scudder, 1901: 111. *Eurycotis mysteca* Kirby, 1904: 144. Shelford, 1910: 12. Princis, 1966: 552. Vanschuytbroeck, 1970: 7 [1 exemplaire: Mexique: Col. C. Van Volxem, M. R. Belg. (det.: Brunner v. W. P. *rufovittata* Brunn.)]. Estrada-Álvarez, 2013: 280. de Luna *et al.*, 2021: 7 (key) Fig. 8b. [Polyzosteriinae].

**Material tipo:** *Periplaneta mysteca* Saussure, 1862 ♀ Lectotipo y Paralectotipo (Designados aquí). Mexique; Saussure col. (MHNG), revisados. *Polyzosteria rufovittata* Brunner von Wattenwyl, 1865 ♂ Lectotipo y ♀ Paralectotipo

(Designados aquí) Oaxaca, México; Salle col. (NHMW), revisados.

**Material revisado** (Forma típica): 1♂ Km. 40 Carr. Oaxaca-Tuxtepec; 11-IX-79; E. Barrera Col. (CNIN) (Figs. 4a-s). 1♂ MÉXICO, Oaxaca, Monte Albán; 29-I-88; E. Barrera, A. Cadena y E. Ramírez Cols. (CNIN). 1♂ México; Sallé col. (NRSS). 1♀ Veracruz; Sallé col. (NRSS). 1♀ Oaxaca (BMNH). 1♀ Tehuacán, Puebla, Méx. July 25, 1956; W. J. Gerctsch Col. (AMNH\_I\_ZC 00397644), Foto por: Ana María Ruíz, in: Johnson *et al.*, 2023. 1♀ Oaxaca, Méx. Oaxaca; sept. 13-20, 1946; B. Malkin Col. (AMNH\_I\_ZC 00397399). Blue label [Laboulbeniales fungi observed By Danny Haelewater (2015-2017)]. White label [*Eurycotys mysteca*, det.?], Foto por: Ana María Ruíz, in: Johnson *et al.* 2023. (Forma melánica): 1♂ Km. 182 carr. Tehuacán-Oaxaca, (en Bromelias); 15-VI-84; M. Garcia col. (CNIN). 1♂ México: Oax. K. 67 Oax. -Pto. Ángel; 30-V-87; F. Arias col. (CNIN). 1♀ Km. 50 Mitla-Tuxtepec, Oaxaca; 4-V-85; E. Mariño col. (CNIN).

**Foto-registros** (iNaturalist): **Morelos**. 1♂ Municipio de Puente de Ixtla, Mor., México; 17 de oct. de 2004; Photo by: *davitejon* (Fig. 99b). **Oaxaca**. 1♂ Asunción Nochixtlán, Oax., México; nov. 12, 2020; Photo by: *rey\_tlatoni*. 1♂ Oax., México; jul. 21, 2021; *francisco255*. 1♀ Monte Albán, Oax., México; nov. 10, 2022; Photo by: *wild\_jackal*. 1♀ ADVC San Pablo Etla, Oax.; 6 de ene. de 2020; Photo by: *eugenio\_padilla* (Fig. 99a). 1♀ Calle Periférico, Oaxaca de Juárez, OAX, MX; nov. 18, 2019; Photo by: *nayelihb*. **Puebla**. 1♀ Zapotitlán, Pue., México; oct. 22, 2022; Photo by: *bsullend*.

**Diagnosis:** Esta especie es muy fácil reconocerla por: 1) Pronoto y tegminas con mancha lateral de color naranja a rojizo (ausentes en la forma melánica; ver Figuras 5c, d, g–y 2) Lámina subgenital masculina algo escotada (Figs. 2g, 4c, g).

**Redescripción de la especie, Macho** (Figs. 2a-h; 4a-t): 18.4-19.1 mm de largo total, 9-13.6 mm de

ancho máximo. Coloración negra azulada en todo su cuerpo, tegumento lustroso, con manchas rojas a los lados del pronoto, tegminas y metanoto (ausente en la forma melánica, ver Figuras 5c, d). Pronoto con margen posterior subrecto, con dos bandas laterales rojas (Fig. 2a). Tegminas lobiformes, mácula lateral rojiza (Fig. 2a), ausente en la forma melánica. Alas ausentes (Fig. 2a). Rostro con frente ancha, ojos reniformes, ocelos blanquecinos, antenas largas, filiformes, similares en longitud al cuerpo, volviéndose más claras en la punta (Figs. 2c, d). Fémur I, con margen anteroventral con espinación tipo  $A_3$  (*sensu* Roth, 2003); pulvilos conspicuos en los cuatro tarsómeros; arolio presente, el 60% de la longitud de las uñas tarsales; uñas tarsales simples y simétricas. Abdomen con estructura tergal (mechón de pelos “*ht*”) en T-1 (Figs. 2e; 4a, b). Lámina supraanal con borde posterior trunco, cercos con ápice rojizo (Figs. 2f, 4c), paraproctos simétricos. Lámina subgenital asimétrica, con escotadura (Figs. 2g, 4d), apodemas desiguales, estilos digitiformes, largos y muy escolarizados (Figs. 2g; 4d). **Genitales masculinos** (Figs. 4c-t; 5e). Falómero izquierdo (L.ph) (Figs. 4d-k; 5e).  $L_1$  asociado a  $L_{2v}$  (Fig. 4i; 5e), con tres subescleritos; “*a*” bilobulado, “*b*” portando proceso en forma de garra, “*c*” área central hialina (Fig. 4l).  $L_2$  con dos subescleritos (Figs. 4g, h, i, k).  $L_{2d}$  con margen aserrado, procesos espinosos separados (Figs. 4g, h).  $L_{2v}$  con dos subescleritos diferenciados (Figs. 4i, k). “*a*” largo y delgado, “*b*” triangular (Fig. 4k).  $L_3$  (genital hook), con p.d.p. redondeado (Figs. 4e, f). *acc.pr* subcircular y cerdas piliformes (Fig. 4j). Falómero derecho (R.ph) (Figs. 4d, m-s; 5e).  $R_1$  delgado, con dos procesos “*a*” y “*b*” (Figs. 4n, o).  $R_2$  con proyección en forma de cuerno (Figs. 4n, o).  $R_3$  con dos subescleritos sobrepuestos (dorsal y ventral) (Figs. 4p-r).  $R_{3d}$  “*a*” y “*b*”, *a* es un abultamiento en *b* (Fig. 4q).  $R_{3dv}$  (Fig. 4r).  $R_4$  con dos subescleritos “*a*” y “*b*” (Fig. 4p). *V.ph* (Fig. 4t). **Hembra** (Figs. 1a-f; 3a-f; 5f-j): Similar al macho excepto que son un poco más grandes (18-20.5 mm largo total y 10.4-12.7 mm ancho máximo) y por las láminas. Lámina supraanal (Figs. 1d, e; 3d; 5h). Lámina subgenital valvar (Figs. 3e; 5i). **Complejo valvar** (Fig. 5j).

**Variación:** La macula roja del pronoto y tegmina variando en intensidad y tono, desde un tenue rojo, casi rosado, hasta un rojo brillante, en ocasiones existe una tenue macula en el borde lateral del metanoto. Se pueden reconocer dos formas básicas basadas en la presencia-ausencia de la macula roja en pronoto y tegmina.

**Forma Típica** (Figs. 5a, b): Pronoto y tegminas con macula lateral de color naranja a rojizo.

**Forma melánica** (Figs. 5c, d, f, g): Pronoto y tegminas negros lustrosos, sin macula lateral de color naranja a rojizo.

**Distribución:** MÉXICO, Morelos, Mpio. Puente de Ixtla (Puente de Ixtla). Oaxaca, Mpio. Asunción Nochixtlán (Asunción Nochixtlán); Mpio. Heroica Ciudad de Ejutla de Crespo (Km. 67 Oax. -Pto. Ángel); Mpio. Oaxaca de Juárez (Oaxaca de Juárez; (Km. 182 carr. Tehuacán-Oaxaca); Mpio. Santa Catarina Ixtepej (Km. 40, Road Oaxaca-Tuxtepec); Mpio. Santa Cruz Xoxocotlán (Monte Albán); Mpio. San Pablo Etla (San Pablo Etla). Puebla, Mpio. Tehuacán (Tehuacán); Mpio. Zapotitlán (Fig. 33).

**Biogeografía:** Todos los registros dentro de la provincial biogeográfica de la depresión del Balsas (*bal*) (*sensu* Morrone, 2001; Morrone y Márquez, 2008) (Fig. 33).

**Bionomía:** Parasitada por la avispa *Ampulex* sp. (Ampulicidae) (Fig. 6b).

*Eurycotis mexicana* (Saussure, 1862)

(Figs. 7a-q; 33; 33)

*Polyzosteria mexicana* Saussure, 1862: 163 (D♂)

[sp. n.] [México Alta (LT)]. Saussure, 1864c: 54 (♂♀) [Les terres froides du Mexique. Le plateau]. Saussure, 1864c: 55 (♂) [Les terres froides du Mexique. Le plateau]. Brunner von Wattenwy, 1865: 216 (?) [Haut-Mexique]: 412 (juv.) [sin. n. *Polyzosteria azteca*]. Saussure, 1870: 70; Lam. II, Fig. 39, 39a (♂♀) [Mexique; Cordillère orientale et le Plateau]. Scudder, 1901: 269 [mexico]. Scudder, 1901: 273 [mexico].

*Polyzosteria azteca* Saussure, 1862: 163 (D♂)  
[sp. n.] [Ejusdem patriae “Mexico Alta  
“(LT)] [sin. jun. *sensu* Brunner von  
Wattenwy, 1865: 412]. Walker, 1868: 152  
[Mexico] [omite sinonimia de Brunner von  
Wattenwy, 1865: 412]. Scudder, 1901: 273  
[mexico].

*Polyzosteria (Platyzosteria) mexicana* Scudder,  
1901: 274 [mexico].

*Eurycotis mexicana* (Saussure), en: Finot, 1897:  
197 [comb. nov.] [Mexique]. Scudder,  
1901: 111 [mexico]. Kirby, 1904: 144  
[Mexico]. Shelford, 1910b: 12 [Mexico].  
Princis, 1966: 554 [Mexiko]. Saussure &  
Zehntner, 1893: 70 (♂♀) [comb. n.] [Parte  
Mexico, Eastern Cordillera, Orizaba, and  
Moyoapan, Puebla, valley of the city of  
Mexico]. *Eurycotis mexicana* Estrada-  
Álvarez, 2013: 280 [parte MÉXICO.  
Cordillera Este; DF: Sin más datos; PUE:  
Sin más datos; VER: Orizaba (Orizaba),  
Astacinga (Moyoapan)].

**Material tipo:** *Polyzosteria mexicana* Saussure,  
1862. Lectotype ♀ Etiqueta blanca Saussure [N.  
Puebla Mexique; ♀ de Saussure]. Etiqueta roja  
[Type]. Etiqueta verde claro Gurney [Lectotype  
*Eurycotis mexicana*. Designación A.B. Gurney  
1969], revisado. Paralectotipo ♂ Etiqueta blanca  
Saussure [N. Puebla Mexique; ♀ de Saussure].  
Etiqueta verde claro Gurney [Metatype *Eurycotis  
mexicana*. Designación A.B. Gurney 1969].  
Preparación de genitales masculinos por Gurney,  
revisado. *Polyzosteria azteca* Saussure, 1862 1  
Holotipo♂ juvenile. Etiqueta blanca Saussure  
[539 Puebla F. 1; 80 Mexique; ♂ de Saussure].  
Etiqueta verde Saussure [*Eurycotis azteca* Sss.  
♂]. etiqueta roja [Holotypus]. Etiqueta blanca  
Gutiérrez [nymph Type of *Eurycotis azteca*,  
synonym of *Eurycotis mexicana*; det. E.  
Gutiérrez, 15-II-2006], revisado (MHNG).

**Nota:** Saussure en su primera visita a México  
visitó cinco localidades de Puebla: Mpio.  
Tepeyahualco ([1]Tepeyahualco, [2]Cerro de  
Pizarro); Mpio. Puebla ([3]Puebla, [4]Santa María  
Guadalupe Tecola); Mpio. San Andrés Cholula  
([5]San Andrés Cholula), todas estas el eje  
volcanico trasnmexicano (*Les terres froides du  
Mexique, sensu* Saussure).

**Material revisado:** ♂♀ Etiqueta blanca colecta  
[Ciudad de México 8100ft. Forrer col.]. Etiqueta  
verde Saussure [*Eurycotis mexicana* sauss.]  
(MNHG). 1♂ MÉXICO, Puebla, San Bernardino,  
Lagunas El Calvario; 2-XI-1988; R. Barba, E.  
Barrera L. Cervantes, cols. (CNIN). 1♂ México,  
Puebla; July 24, 1956; V. Roth, W. Gertsch cols.  
(AMNH\_I ZC 00397643). Foto por: Ana María  
Ruíz, in: Johnson *et al.*, 2023.1 ♂ Las Granadas,  
Guerrero, Méx. (CZD). 1♀ MÉXICO, Guerrero,  
10Km. S de Tetipac, Edo. de Guerrero, 2,190 m;  
11/XI/ [19]82; P. Reyes col. (CNIABM).  
Veracruz. 2♂♂ y 1♀ Perote, VERACRUZ; 10/V/  
[[19]63; A Dean Stock Col. (CNIABM).

**Diagnosis:** Especie negra; tegminas lobiformes.  
Machos con lámina supraanal con el borde  
posterior crenulado y de coloración marrón-  
rojizo. Especie muy cercana a *E. diazbatresae*  
Estrada-Álvarez y Gutiérrez **sp. nov.** y *E.  
triumphalis* Estrada-Álvarez y Gutiérrez **sp. nov.**,  
difiere de *E. diazbatresae* en la morfología del  
esclerito *R*<sub>1</sub> en especial la proyección “b”, siendo  
más marcada (Fig. 7 m, n); de y *E. triumphalis* en  
las patas negruzcas.

**Redescripción de la especie; Macho** (Figs. 7c-s):  
15,6 mm de largo total, 8 mm de ancho máximo.  
Coloración negra en todo su cuerpo, tegumento  
brillante. Tegminas lobiformes (Fig. 7d). Alas  
ausentes (Fig. 7d). Rostro, ojos reniformes, ocelos  
blanquecinos, antenas filiformes negras, no más  
largas que el cuerpo, negras, aclarándose un poco  
hacia la punta. Fémur I, con margen anteroventral  
con espinación tipo A3 (*sensu* Roth, 2003);  
pulvilos visibles en los cuatro tarsómeros; arolio  
presente, de un 60% de la longitud de las uñas  
tarsales; uñas tarsales simples y simétricas.  
Abdomen con estructura tergal en T-1 (Fig. 7c),  
con ángulos caudolaterales T-5 a T-7 de mayor  
desarrollo. Lámina supraanal trapezoidal, con  
borde posterior un poco crenulado y aclarado, con  
tonos rojo y/o naranja blancusco, cercos con ápice  
rojizo (Fig. 7e). Lámina subgenital trapezoidal,  
casi triangular, simétrica, bordes laterales  
convergentes, margen posterior invaginado, con  
forma de “W” (Fig. 7f). **Escleritos de genitales**

(Figs. 7g-q): Falómero izquierdo (L.ph) (Figs. 7g-m).  $L_1$  asociado a  $L_{2v}$  (Fig. 7g), con tres subescleritos; “a” bilobulada, “b” portando estructura tipo garra, “c” medialmente hialina  $L_{2vb}$  (Fig. 7l).  $L_2$  con dos subescleritos (Figs. 7j, k);  $L_{2d}$  con borde aserrado (Fig. 7j);  $L_{2v}$  tres subescleritos bien definidos “a” largo y muy delgado, “b” largo en forma de triángulo (Fig. 7k).  $L_3$  (gancho genital) con p.d.p. triangular (Figs. 7h, i). *acc.pr* no observado. Falómero derecho (R.ph) (Figs. 7m-q).  $R_1$  delgado, con dos procesos “a” y “b”, “b” trunco (Figs. 7g, m, n).  $R_2$  con proyección en forma de cuerno (Figs. 7g, m, n).  $R_3$  con dos subescleritos sobrepuestos (dorsal y ventral) (Figs. 7o, p).  $R_{3d}$  con “a” es un abultamiento en “b” (Fig. 7o).  $R_{3dv}$  (Fig. 7p).  $R_4$  con dos subescleritos “a” y “b” (Figs. 7q).  $V. ph$  no apreciable.

**Hembra** (Figs. 7a, b): Similar al macho, excepto láminas. Lámina supraanal redondeada u con una muesca ligera (Fig. b). Lámina subgenital bivalvar.

**Distribución:** MÉXICO, Puebla, Mpio. Vicente Guerrero (Lagunas San Bernardino-El Calvario). Ciudad de México (sin más datos). Guerrero, Mpio. Taxco Guerrero, Las Granada (Fig. 33).

**Biogeografía:** Registros en la faja Volcánica Transmexicana (tvb) (*sensu* Morrone, 2001; Morrone y Márquez, 2008) (Fig. 33).

***Eurycotis nando*** Estrada-Álvarez y Gutiérrez *sp. nov.*

(Figs. 8a-p; 9a-e; 33).

**Material tipo:** 1♂ Holotipo, 1♀ Paratipo Carr. A Villa alta, a 100 m de Llano Grande, OAX.; 02-jul-2004; Bueno V. J. col. (IEXA).

**Oro material revisado:** 2 juveniles (♂♂) Camino del Carrizal a 3.8 km. Desde la Carr. A Villa Alta, Oax.; 02-jul-2004; Bueno V. J. col. (IEXA).

**Etimología:** En honor a Fernando Lorenzo Estrada Torres (1951-presente), mi padre JCEÁ, usando “nando”, hipocorístico familiar.

**Diagnosis:** Recuerda a *E. mysteca*, difiere de esta en la morfología de la lámina subgenital masculina con la escotadura muy profunda (Figs. 8f vs 4c).

**Descripción, Holotipo macho** (Figs. 8a-p): 20.5 mm largo total, 9.5 mm ancho máximo. Coloración negro lustroso en todo su cuerpo, patas más claras, tomado tono marrón rojizo obscuro (Figs. 8a, b). Pronoto (6 mm largo; 8 mm ancho), parabólico, borde anterior redondeado, bordes laterales curvos, borde posterior ligeramente procurvo (Fig. 8a). Meso y metanoto libres en su parte media. Tegminas (3.5 mm largo, 2 mm ancho), lobiformes, rebasando un poco el borde del mesonoto (Fig. 8c). Alas ausentes. Rostro (4 mm largo, 4 mm ancho), negruzco, ojos reniformes con lóbulo posterior más chico, separados por 2.8 mm, ocelos blanquicos, separados por 1.7, escapo negras, separados por 2 mm (Fig. 8d). Patas robustas, margen anteroventral de fémur I con espinación tipo A3 (*sensu* Roth, 2003), tibia posterior simple, sin modificaciones o engrosamientos, pulvilos bien desarrollados, en los cuatro tarsomeros, uñas tarsales simples y simétricas, arolio de 25% de largo de las uñas tarsales. Abdomen glabro, glándula tergal en T-1, por debajo del metanoto, terguitos con ángulos caudolaterales, siendo el de mayor desarrollo el T-9. Lámina supraanal rectangular, bordes laterales paralelos, borde posterior recto, cercos, con el ápice puntiagudo (Fig. 8e). Lámina subgenital asimétrica, con escotadura muy profunda, formando dos lobulaciones desiguales, estilos digitiformes subiguales (Fig. 8f). **Genitales masculinos** (Figs. 8g-p): Falómero izquierdo (L.ph) (Figs. 8g-k).  $L_1$  asociado a  $L_{2v}$ , con tres subescleritos “a”, “b” y “c”; “a” con dos lóbulos siendo uno el más ancho, “b” portando una proyección en forma de gancho, “c” muy corto y bilobulado (Fig. 8i).  $L_2$  con dos subescleritos “dorsal y ventral”.  $L_{2d}$  parte más ancha con una serie de procesos espinosos sin formar líneas definidas (Fig. 8h).  $L_{2v}$  con dos subescleritos “a” y “b”; “a” laminar y larga, “b” ahusado (Fig. 8j).  $L_3$  (gancho genital), con proceso dentiforme muy desarrollado, con dirección dorsal, difícil de observar, es necesario girar el ápice (Fig. 8g). *acc.pr* asociado a  $L_1$ , subcircular con varios pliegues (Figs. 8k). Falómero derecho (R.ph).  $R_1$  asociado a  $R_2$  delgado, con dos proyecciones, “a” y “b”, siendo muy ancha en el punto de inflexión

(Fig. 8l).  $R_2$  asociado a  $R_1$ , con proyección en forma de gancho (Fig. 8l).  $R_3$  con dos escleritos sobrepuestos (dorsal y ventral) (Figs. 8 m. n).  $R_{3d}$  con dos subescleritos “a” y “b”, a es un abultamiento en b (Fig. 8m).  $R_{3dv}$  (Fig. 8n).  $R_4$  con dos subescleritos hialinos “a” y “b” (Fig. 8o). *V. ph* (Fig. 8p).

**Paratipo Hembra** (Figs. 9a-c): Similar al macho, difiere en la morfología de las láminas. Lámina supraanal larga, con los bordes laterales convergentes, margen posterior invaginado, cercos con el ápice puntiagudo (Fig. 9a). Lámina subgenital valvar (Fig. 9b). Complejo valvar (Fig. 9c).

**Juveniles:** Recuerdan a los adultos excepto por la ausencia de las tegminas (Fig. 9e).

**Distribución:** MÉXICO, *Oaxaca* Mpio. *San Miguel Amatlán* (Carr. A Villa alta, a 100 m de Llano Grande); Mpio. *Villa Díaz Ordaz* (Camino del Carrizal a 3.8 km. Desde la Carr. A Villa Alta) (Fig. 33).

**Biogeografía:** Dentro de la porción de las sierras orientales de la provincia Sierra Madre del Sur (sms) (*sensu* Morrone, 2001; Morrone y Márquez, 2008) (Fig. 33).

***Eurycotis dominguezii*** Estrada-Álvarez y Gutiérrez **sp. nov.**

(Figs. 10a-q; 11ad; 33)

*Eurycotis vittifrons* (determinación errónea) no *E. vittifrons* Saussure & Zehntner, in: Domínguez, 2023: 18; Lam. 1, Fig. A. [1♀.

**CHIAPAS:** Rivera Santa Cruz, Pantepec (Primer registro México)].

**Material tipo:** 1♂ Bochil Chiapas, bromelia; 12-IV-68; C. Beutelspacher col. (CNIN).

**Otro material revisado:** 1♂ preadulto Lagunas de Montebello; 9-IV-79; colector anónimo (CNIN).

**Etimología:** En honor a Martín Roberto Domínguez Fuentes, por sus grandes esfuerzos en Blattodea: Blattaria de Chiapas, México, además de ser gran amigo y colega (JCEA).

**Diagnosis:** Recuerda a *E. vittifrons* en la línea amarilla en la frente y condición lobiforme,

difiere de ésta en presentar las tegminas más estrechas, ligeramente anchas en su base, con el margen interno casi recto, escuamiforme y coloración “marrón oscuro a negro brillante” (Fig. 10c vs. 31b).

**Descripción Holotipo macho** (Figs. 10d-q): 21 mm largo total, 8.5 mm ancho máximo. Coloración dorsal y ventral negruzca, a excepción de las patas amarillentas, rostro con una línea procurvada entre las escapo, laterales y clípeo amarillento (Figs. 10d, e). Pronoto (4 mm largo; 7 mm ancho), parabólico, borde anterior subtrunco, bordes laterales curvos, borde posterior ligeramente procurvo (Fig. 10d). Meso y metanoto expuestos. Tegminas (2.6 mm largo, 1.1 mm ancho), lobiformes (Fig. 10d). Alas ausentes. Rostro (3.7 mm largo, 4 mm ancho), ojos reniformes con lóbulo posterior más chico, separados por 1.9 mm, ocelos ausentes, escapo amarillentas, separados por 1.9 mm, clípeo marrón claro (Fig. 10e). Patas robustas, margen antero-ventral de fémur I con espinación tipo A3 (*sensu* Roth, 2003), tibia posterior simple, sin modificaciones o engrosamientos, pulvilos bien desarrollados, en los cuatro tarsomeros uñas tarsales simples y simétricas, arolio de 40% de largo de las uñas tarsales. Abdomen glabro, glándula tergal en T-1, por debajo del metanoto, terguitos T-5-T-7 con ángulos caudolaterales, T-8 y T-9 muy reducidos y casi en su totalidad por debajo de T-7. Lámina supraanal trapezoidal, bordes laterales convergentes, borde posterior procurvo, cercos con el último segmento puntiagudo de color rojizo (Fig. 10f). Lámina subgenital simétrica, circular, estilos digitiformes y subiguales (Fig. 10g). Genitales masculinos (Figs. 10h-q): **Falómero izquierdo** (L.ph) (Figs. 10h-l):  $L_1$  asociado a  $L_{2v}$ , con tres subescleritos “a”, “b” y “c”; “a” con dos lóbulos siendo uno el más ancho, “b” portando una proyección en forma de gancho, “c” muy corto y triangular (Fig. 10k).  $L_2$  con dos subescleritos “dorsal y ventral”;  $L_{2d}$  parte más ancha con una serie de procesos espinosos sin formar líneas definidas (Fig. 10i);  $L_{2v}$  con dos subescleritos “a” y “b”; “a” laminar y larga, “b” triangular (Figs. 10l);  $L_3$  (gancho genital), con proceso dentiforme presente, difícil de observar, es necesario girar el ápice (Figs. 10h). **Falómero**

**derecho** (R.ph) (Figs. 10m-n).  $R_1$  delgado, con dos proyecciones, “a” y “b”, siendo a muy ancha y curva (Fig. 11m).  $R_2$  asociado a  $R_1$ , con proyección en forma de gancho (Fig. 10m).  $R_3$  con dos escleritos sobrepuestos (dorsal y ventral) (Figs. 10n-o);  $R_{3d}$  con dos subescleritos “a” y “b”, a es un abultamiento en b (Fig. 10n).  $R_{3dv}$  (Fig. 10o).  $R_4$  con dos subescleritos “a” y “b”, a es más grande (Fig. 10p).  $V. ph$  (Fig. 10q). *acc.pr* asociado a  $L_1$ , subcircular con varios pliegues (Fig. 10j).

**Hembra:** Similar al macho (ver Domínguez, 2023).

**Juveniles:** Recuerdan a los adultos excepto por la ausencia de las tegminas (Fig. 11a).

**Distribución:** MÉXICO, *Chiapas*, Mpio. Bochil (Bochil); Mpio. Pantepec de Puebla (Rivera Santa Cruz); Mpio. La Independencia y La Trinitaria (Parque Nacional Lagunas de Montebello) (Fig. 33).

**Biogeografía:** En la provincia de Chiapas (chi) (*sensu* Morrone, 2001; Morrone y Márquez, 2008) (Fig. 33).

*Eurycotis zongolicanus* Estrada-Álvarez y Gutiérrez **sp. nov.**

(Figs. 12a-q; 13a-g; 33)

**Material tipo:** Holotipo ♂, Paratipo ♀ Zongolica, Veracruz, México; 20-V-68: C. Marqu ez M. col. (CNIN)

**Otro material revisado:** 1♀ México, Veracruz, Zongolica, Ixcuhuapa; 10-V-2010; I. Landeros col. (CNIN).

**Etimología:** En aposición a la localidad tipo.

**Diagnosis:** Al igual que *E. attenboroughi* Estrada-Álvarez y Gutiérrez **sp. nov.**, son las únicas especies mexicanas con las tegminas brachipteras; se separa de esta en la morfología de la lámina subgenital masculina con la escotadura muy profunda (Fig. 12f vs 14f) y la ausencia de línea amarilla en la frente (Fig. 12d vs 14d).

**Descripción Holotipo macho** (Figs. 12a-q): 24 mm largo total, 9 mm ancho máximo. Coloración dorsal rojizo casi cenizo, ventralmente del mismo tono que la dorsal, excepto las patas que son

amarillentas (Figs. 12a, b). Pronoto (6 mm largo; 8.5 mm ancho), parabólico, borde anterior subtrunco, bordes laterales curvos, borde posterior algo procurvo (Fig. 12a). Meso y metanoto cubiertos por tegmina. Tegminas (6 mm largo, 5.5 mm ancho), brachipteras, llegando al borde del metanoto, solapándose en su margen interno, borde posterior trunco (Fig. 12c). Alas reminiscentes, fisionadas al metanoto, ápice apenas observable. Rostro (4 mm largo, 4.5 mm ancho), marrón rojizo, con mancha alrededor de ocelos y mejillas de color amarillo, ojos reniformes con lóbulo posterior más chico, separados por 3 mm, ocelos muy claros, separados por 1.8 mm, escapo marrón, separados por 2.8 mm, clípeo marrón (Fig. 12d). Patas robustas, margen anteroventral de fémur I con espinación tipo A3 (*sensu* Roth, 2003), siete u ocho espinas robustas, y tres espinas apicales, tibia posterior simple, sin modificaciones o engrosamientos, pulvilos bien desarrollados, en los cuatro tarsómeros, uñas tarsales simples y simétricas, arolio de 40% de largo de las uñas tarsales. Abdomen glabro, glándula tergal en T-1, por debajo del metanoto, terguitos con ángulos caudolaterales, siendo el de mayor desarrollo el T-9 (Fig. 12a). Lámina supraanal trapezoidal, bordes laterales convergentes, borde posterior invaginado, márgenes laterales y posterior formando una “W”, cercos, con el ápice aclarado y puntiagudo (Fig. 12e). Lámina subgenital asimétrica, con escotadura muy profunda, formando dos lobulaciones largas y delgadas, estilos digitiformes y desiguales, siendo el derecho el más largo (Fig. 12f). **Genitales masculinos** (Figs. 12g-q): Falómero izquierdo (L.ph) (Figs. 12g-l).  $L_1$  asociado a  $L_{2v}$ , con tres subescleritos “a”, “b” y “c”; “a” con dos lóbulos siendo uno el más ancho, “b” portando una proyección en forma de gancho, “c” muy corto y bilobulado (Fig. 12k).  $L_2$  con dos subescleritos “dorsal y ventral”.  $L_{2d}$  parte más ancha con una serie de procesos espinosos sin formar líneas definidas (Fig. 12i).  $L_{2v}$  con dos subescleritos “a” y “b”; “a” laminar y larga, “b” ahusado (Figs. 12l).  $L_3$  (gancho genital), con proceso dentiforme muy desarrollado, con dirección dorsal, difícil de observar, es necesario girar el ápice (Figs. 12g, h).

*acc.pr* asociado a  $L_1$ , subcircular con varios pliegues (Fig. 12l). Falómero derecho (R.ph) (Figs. 12m-q).  $R_1$  asociado a  $R_2$  delgado, con dos proyecciones, “a” y “b”, siendo muy ancha en el punto de inflexión (Fig. 12m).  $R_2$  asociado a  $R_1$ , con proyección en forma de gancho (Fig. 12m).  $R_3$  con dos escleritos sobrepuestos (dorsal y ventral) (Figs. 12n-o).  $R_{3d}$  con dos subescleritos “a” y “b”, a es un abultamiento en b (Fig. 12n).  $R_{3dv}$  (Fig. 12o).  $R_4$  con dos subescleritos hialinos “a” y “b” (Fig. 12p). *V.ph* (Fig. 12q).

**Paratipo Hembra** (Figs. 12a-g): Similar al macho, difiere en la morfología de las láminas. Lámina supraanal larga, con los bordes laterales convergentes, margen posterior invaginado cerca del 15% del largo de la lámina, cercos segmentados, con el ápice puntiagudo (Fig. 12e). Lámina subgenital valvar (Fig. 12f). Complejo valvar (Fig. 12g).

**Distribución:** MÉXICO, Veracruz, Mpio. Zongolica (Ixcohuapa y Zongolica) (Fig. 33).

**Biogeografía:** En la provincia del Golfo de México (mg), muy cercana a las serranías de tvb (*sensu* Morrone, 2001; Morrone y Márquez, 2008) (Fig. 33).

***Eurycotis attenboroughi*** Estrada-Álvarez y Gutiérrez **sp. nov.**

(Figs. 14a-q; 33)

**Material tipo:** Holotipo ♂ Serro (sic) “Las Flores”, Huimanguillo; 17-XII-65; C. Cárdenas col. (CNIN).

**Etimología:** En honor a Sir David Frederick Attenborough, quien inspiro con sus documentales y trabajo a gran cantidad de Biólogos y Naturalistas alrededor del mundo.

**Diagnosis:** Al igual que *E. zongolicanus* Estrada-Álvarez y Gutiérrez **sp. nov.**, son las únicas especies mexicanas con las tegminas brachipteras; se separa de esta en la morfología de la lámina subgenital masculina con la escotadura poco profunda (Fig. 14f vs 12f) y la de línea amarilla en la frente (Fig. 14d vs 12d).

**Descripción Holotipo macho** (Figs. 14a-q): 21.1 mm largo total, 9 mm ancho máximo. Coloración dorsal marrón rojiza, en la parte ventral del mismo tono que la dorsal, excepto las patas y frente que son amarillentas (Figs. 14a, b, d). Pronoto (4.5 mm largo; 7.2 mm ancho), parabólico, borde anterior redondeado, bordes laterales curvos, borde posterior un poco procurvo (Fig. 14a). Meso y metanoto cubiertos por tegmina. Tegminas (4 mm largo, 4.2 mm ancho), brachipteras, llegando al borde del metanoto, solapándose en su margen interno, borde posterior trunco (Fig. 14c). Alas reminiscentes fusionadas al metanoto, ápice algo visible. Rostro (4 mm largo, 4 mm ancho), marrón rojizo, con banda en la frente mejillas de color amarillo, ojos reniformes con lóbulo posterior más chico, separados por 2.8 mm, ocelos muy claros, separados por 1.8 mm, escapo marrón rojizo, separados por 2 mm, clipeo marrón oscuro (Fig. 14d). Patas robustas, margen anteroventral de fémur I con espinación tipo A3 (*sensu* Roth, 2003), ocho espinas robustas, y tres espinas apicales, tibia posterior simple, sin modificaciones o engrosamientos, pulvilos bien desarrollados, en los cuatro tarsomeros uñas tarsales simples y simétricas, arolio de 30% de largo de las uñas tarsales. Abdomen glabro, glándula tergal en T-1, por debajo del metanoto, terguitos con ángulos caudolaterales, siendo el de mayor desarrollo el T-7, T-8 y T-9 muy reducidos, por debajo de T-7. Lámina supraanal trapezoidal, bordes laterales convergentes, borde posterior algo invaginado, formando una “W” muy abierta, con el ápice aclarado y puntiagudo (Fig. 14e). Lámina subgenital subsimétrica, con escotadura formando un triángulo casi equilátero, estilos digitiformes y subiguales (Fig. 14f). **Genitales masculinos** (Figs. 14g-q): Falómero izquierdo (L.ph) (Figs. 14g-q).  $L_1$  asociado a  $L_{2v}$ , con tres subescleritos “a”, “b” y “c”; “a” con dos lóbulos siendo uno el más ancho, “b” portando una proyección en forma de sacacorchos, “c” muy corto y (Fig. 14k).  $L_2$  con dos subescleritos “dorsal y ventral”.  $L_{2d}$  parte más ancha con una serie de procesos espinosos en líneas (Fig. 14l).  $L_{2v}$  con dos subescleritos “a” y “b”; “a” laminar y larga, “b” triangular (Fig. 14j).  $L_3$  (gancho

genital), con proceso dentiforme muy desarrollado, difícil de observar, es necesario girar el ápice (Figs. 14g, h). *acc.pr* asociado a  $L_1$ , subcircular con varios pliegues o setas piliformes (Fig. 14l). Falómero derecho (R.ph) (Figs. 14m-q).  $R_1$  delgado, con dos proyecciones, “a” y “b”, siendo “a” más ancha y angular, “b” subdesarrollada (Fig. 14m).  $R_2$  asociado a  $R_1$ , con proyección en forma de gancho (Figs. 14n).  $R_3$  con dos escleritos sobrepuestos (dorsal y ventral) (Figs. 14n-o);  $R_{3d}$  con dos subescleritos “a” y “b”, a es un abultamiento en b (Fig. 14n).  $R_{3dv}$  (Fig. 14o).  $R_4$  con dos subescleritos “a” y “b”, “a” es más grande (Figs. 3p), “b” quedó adherido a  $R_2$ . (Fig. 14m). *V. ph* (Fig. 14q).

**Hembra:** Desconocida.

**Distribución:** MÉXICO, *Tabasco*, Mpio. Huimanguillo (Cerro Las Flores) (Fig. 33).

**Biogeografía:** En la provincia del Golfo de México (mg) (*sensu* Morrone, 2001; Morrone y Márquez, 2008) (Fig. 33).

*Eurycotis chicahuaxtlanus* Estrada-Álvarez y Gutiérrez **sp. nov.**

(Figs. 15a-q; 16a-h; 33)

**Material tipo:** Holotipo ♂, 7♂♂ y 8♀♀ Paratipos. México, Oax., Sto. Domingo Chicahuaxtla; 3-III-86; E. Mariño col. (CNIN).

**Otro material revisado:** 1♂ México, Oaxaca, Chicahuaxtla(sic); 3-III-86; E. Barrera col. (CNIN). 3 juveniles (1♂, 2♀♀) México, Oax., Sto. Domingo Chicahuaxtla; 3-III-86; E. Mariño col. (CNIN).

**Etimología:** En aposición a la localidad tipo.

**Diagnosis:** Recuerda a *E. mysteca* y *E. nando* Estrada-Álvarez y Gutiérrez **sp. nov.**, difiere de éstas en la reducción en la escotadura de la lámina subgenital masculina (Fig. 15f) y morfología de los escleritos masculinos  $L_{2d}$  y  $R_1$ , Hembras en tener las patas más claras.

**Descripción Holotipo macho** (Figs. 15a-q): 18 mm largo total, 8 mm ancho máximo. Coloración dorsal negro intenso con ligero toque de rojizo, Tegminas rojizas (Fig. 15c), la parte ventral del

mismo tono que la dorsal, excepto las patas que son amarillentas-rojizas (Figs. 15b). Pronoto (4.5 mm largo; 7.2 mm ancho), parabólico, borde anterior redondeado, bordes laterales curvos, borde posterior algo procurvo (Fig. 15a). Meso y metanoto libres, no cubiertos por tegmina. Tegminas (3 mm largo, 2 mm ancho), lobiformes, rebasando un poco el mesonoto (Fig. 15c). Alas ausentes. Rostro (4 mm largo, 4.1 mm ancho), marrón rojizo oscuro, ojos reniformes con lóbulo posterior más chico, separados por 2.6 mm, ocelos muy claros, separados por 1.9 mm, escapo marrón rojizo, separados por 2.2 mm, clipeo marrón claro (Fig. 15d). Patas robustas, margen anteroventral de fémur I con espinación tipo A3 (*sensu* Roth, 2003), ocho espinas robustas, y tres espinas apicales, tibia posterior simple, sin modificaciones o engrosamientos, pulvillos bien desarrollados, en los cuatro tarsomeros uñas tarsales simples y simétricas, arolio de 25% de largo de las uñas tarsales. Abdomen glabro, glándula tergal en T-1, por debajo del metanoto, terguitos con ángulos caudolaterales, siendo el de mayor desarrollo el T-7, T-8 y T-9 muy reducidos, por debajo de T-7. Lámina supraanal rectangular, bordes laterales ligeramente convergentes, casi paralelos, borde posterior subrecto y aclarado, cercos con el ápice aclarado y puntiagudo (Fig. 15e). Lámina subgenital subsimétrica, apodemas desiguales, margen posterior con ligera escotadura formando pequeños lobulaciones, estilos digitiformes, subcónicos y subiguales (Fig. 15f). **Genitales masculinos** (Fig. 15g-q): Falómero izquierdo (L.ph) (Figs. 15g-l).  $L_1$  asociado a  $L_{2v}$ , con tres subescleritos “a”, “b” y “c”; “a” con dos lóbulos, “b” portando una proyección en forma de garra, “c” muy corto (Fig. 15k).  $L_2$  con dos subescleritos “dorsal y ventral”.  $L_{2d}$  parte más ancha con un área de procesos espinosos (Fig. 15i).  $L_{2v}$  con dos subescleritos “a” y “b”; ambos laminares y largos (Fig. 15k).  $L_3$  (gancho genital), con proceso dentiforme triangular, difícil de observar, es necesario girar el ápice (Figs. 15g, h). *acc.pr* asociado a  $L_1$ , subcircular con varios pliegues o setas piliformes (Figs. 15l). Falómero derecho (R.ph) (Figs. 15m-q).  $R_1$  delgado, con dos proyecciones, “a” y “b”, ambas subdesarrolladas, algo curvadas (Fig.

15m).  $R_2$  asociado a  $R_1$ , con proyección en forma de gancho reducida (Figs. 15m).  $R_3$  con dos escleritos sobrepuestos (dorsal y ventral) (Figs. 15n-o);  $R_{3d}$  con dos subescleritos “a” y “b”, a es un abultamiento bilobulado en b (Figs. 15n).  $R_{3dv}$  (Figs. 15o).  $R_4$  con dos subescleritos “a” y “b”, “a” es más grande (Fig. 15p). *V. ph* (Fig. 15q).

**Paratipo Hembra** (Figs. 16a-g): Similar al macho, ligeramente más grande, 21 mm largo total, 9.5mm ancho máximo. Lámina supra-anal larga, con los bordes laterales convergentes, margen posterior invaginado cerca del 15% del largo de la lámina, cercos segmentados, con el ápice puntiagudo (Fig. 16e). Lámina subgenital valvar (Fig. 16f). Complejo valvar (Fig. 16g).

**Juveniles:** Recuerdan a los adultos, a excepción de la ausencia de las tegminas lobiformes y la coloración es más oscura (Fig. 16h).

**Distribución:** MÉXICO, *Oaxaca*, Mpio. *Putla Villa de Guerrero* (San Andrés Chicahuaxtla).

Nota: La localidad en las etiquetas del material tipo se refieren a localidad dentro del Municipio Putla Villa de Guerrero, entre Santo Domingo de Guzmán y San Andrés Chicahuaxtla (Fig. 33).

**Biogeografía:** En la provincia Sierra Madre del Sur (sms) (*sensu* Morrone, 2001; Morrone y Márquez, 2008) (Fig. 33).

*Eurycotis diazbatresae* Estrada-Álvarez y Gutiérrez **sp. nov.**

(Figs. 17a-o; 33)

**Material tipo:** Holotipo 1♂ y 2♂♂ Paratipos México, Gro. Omilteme (sic); 10-VII-85; col. Anónimo (CNIN). 1♂, 3♀♀ MÉXICO, Guerrero, Omiltemi; 18/V/1976; E. Martín F. col. (CNIABM) [BLATT\_001 al 004].

**Otro material revisado:** 1 ♂ enano México, Gro. Omilteme (sic); 10-VII-85; col. Anónimo (CNIN). 1♀ [con ooteca] MÉXICO, Guerrero, Omiltemi; 17; V; 1971; Eliezer Martín col. (CNIABM) [BLATT\_005].

**Etimología:** En honor a María Eugenia Díaz Batres, curadora de la Colección Nacional de Insectos Dr. Alfredo Barrera Marín (CNIABM), por su gran labor.

**Diagnosis:** Especie negra; tegminas lobiformes. Machos con lámina supraanal con el borde posterior crenulado y de coloración marrón-rojizo. Especie muy cercana a *E. mexicana* y *E. triumphalis* Estrada-Álvarez y Gutiérrez **sp. nov.**, difiere de *E. mexicana*, en la morfología del esclerito  $R_1$  en especial la proyección “b”, siendo menos desarrollada (Fig. 17m, n); de y *E. triumphalis* en las patas negruzcas.

**Descripción Holotipo macho** (Figs. 17a-m): 22.5 mm largo total, 9.4 mm ancho máximo. Forma aplanada dorsoventralmente. Coloración dorsal y negro lustroso en la parte del vientre (Figs. 17a, b). Pronoto (6.6 mm largo; 8.2 mm ancho), parabólico, borde anterior subtrunco, bordes laterales curvos, borde posterior poco procurvo (Fig. 17a). Meso y metanoto descubiertos. Tegminas (3.1 mm largo, 1.5 mm ancho), lobiformes, de tonalidades rojizas por contraluz, rebasando un poco el borde posterior del mesonoto (Fig. 17a, c). Alas ausentes. Rostro (4.3 mm largo, 4.2 mm ancho), todo de color negro, excepto clipeo de color rojizo, ojos reniformes con lóbulo posterior más chico, separados por 2.5 mm, ocelos reducidos a manchas de 0.1 mm de diámetro, separados por 2.2 mm, escapo negro, separados por 2.3 mm, clipeo marrón rojizo (Fig. 17d). Patas robustas, margen antero-ventral de fémur I con espinación tipo A3 (*sensu* Roth, 2003), seis a siete espinas robustas, y tres espinas apicales, tibia posterior simple, sin modificaciones o engrosamientos, pulvilos bien desarrollados, en los cuatro tarsomeros uñas tarsales simples y simétricas, arolio de 35% de largo de las uñas tarsales. Abdomen glabro, glándula tergal en T-1, por debajo del metanoto, terguitos con ángulos caudolaterales, siendo el de mayor desarrollo el T-7 al T-9. Lámina supraanal trapezoidal, poco granuloso, bordes laterales convergentes, borde posterior subrecto, poco recurvado, con una línea rojiza, cercos pseudosegmentados, con el ápice puntiagudo (Fig. 17e). Lámina subgenital asimétrica, con escotadura presente, formando dos lobulaciones, estilos digitiformes y diferentes en talla, siendo el derecho el más largo (Fig. 17f). **Genitales masculinos** (Fig. 17g-q). Falómero izquierdo

(L.ph) (Figs. 17g-l).  $L_1$  asociado a  $L_{2v}$ , con tres subescleritos “a”, “b” y “c”; “a” con dos lóbulos, “b” portando una proyección en forma de garra, sinuoso en vista lateral “c” muy corto (Fig. 17j, k).  $L_2$  con dos subescleritos “dorsal y ventral”.  $L_{2d}$  parte más ancha con un área de numerosos procesos espinosos (Fig. 17h).  $L_{2v}$  con dos subescleritos “a” y “b”; ambos laminares y largos (Fig. 17i).  $L_3$  (gancho genital), con proceso dentiforme triangular, difícil de observar, es necesario girar el ápice (Figs. 17g). *acc.pr* asociado a  $L_1$ , avellanado, con varios pliegues o setas piliformes (Figs. 17l). Falómero derecho (R.ph) (Figs. 17m-q).  $R_1$  delgado, con dos proyecciones, “a” y “b”, “a” con un punto de inflexión en la parte media, “b” muy reducido y poseo esclerosado, casi hialino (Fig. 17m).  $R_2$  asociado a  $R_1$ , con proyección en forma de gancho reducida (Figs. 17m).  $R_3$  con dos escleritos sobrepuestos (dorsal y ventral) (Figs. 17n-o);  $R_{3d}$  con dos subescleritos “a” y “b”, “a” es un abultamiento sinuoso en “b” (Figs. 17n).  $R_{3dv}$  (Figs. 17o).  $R_4$  con dos subescleritos “a” y “b”, “a” es más grande, “b” anguloso (Fig. 17p). *V. ph* (Fig. 17q).

**Paratipo Hembra** (Figs. 17n-o): Similar al macho, ligeramente más grande. Lámina supraanal larga, con los bordes laterales convergentes, margen posterior algo truncado, cercos segmentados, con el ápice puntiagudo (Fig. 17n). Lámina subgenital valvar. Complejo valvar (Fig. 17o).

**Juveniles:** Similar a los adultos, pero de color más claro.

**Distribución:** MÉXICO, *Guerrero*, Mpio. *Chilpancingo de los Bravo* (Omiltemi) (Fig. 33).

**Biogeografía:** Dentro de la provincia Sierra Madre del Sur (sms) (*sensu* Morrone, 2001; Morrone y Márquez, 2008) (Fig. 33).

*Eurycotis triumphalis* Estrada-Álvarez y Gutiérrez **sp. nov.**

(Fig. 18a-p; 19a-g; 33)

**Material tipo:** Holotipo ♂ El triunfo, Chis; 12-V-85; F. Arias col. (CNIN). Paratipo ♀ El Triunfo, Chiapas; 24-I-85; M. García col. (CNIN).

**Etimología:** En aposición a la localidad tipo.

**Diagnosis:** Especie negra con las patas rojizas; machos con la proyección a de  $R_1$  muy grueso y curvo, esto lo separa de *E. diazbatresae* Estrada-Álvarez y Gutiérrez **sp. nov.** y *E. mexicana*.

**Descripción Holotipo macho** (Figs. 18a-p): 16 mm largo total, 6.6 mm ancho máximo. Coloración dorsal marrón oscura, tegminas y borde lateral del metanoto con tonos rojizos por contraluz, en la parte del mismo tono que la dorsal, excepto las patas rojizas (Fig. 18a). Pronoto (4.5 mm largo; 6.6 mm ancho), parabólico, borde anterior subtrunco, bordes laterales curvos, borde posterior algo procurvo (Fig. 18a). Meso y metanoto libres, metanoto con tonos rojizos en el borde lateral por contraluz (Fig. 18c). Tegminas (1.8 mm largo, 1.1 mm ancho), lobiformes, rebasando un poco el borde del mesonoto (Fig. 18c). Alas ausentes. Rostro (3.4 mm largo, 3.5 mm ancho), marrón oscuro, ojos reniformes con lóbulo posterior más chico, separados por 2 mm, ocelos reducidos a manchas ocelares, separados por 1.5 mm, escapo marrón a naranja, separados por 1.6 mm, clipeo marrón-rojizo (Fig. 18d). Patas robustas, margen anteroventral de fémur I con espinación tipo A3 (*sensu* Roth, 2003), seis a siete robustas, y tres espinas apicales, tibia posterior simple, sin modificaciones o engrosamientos, pulvillos bien desarrollados, en los cuatro tarsomeros uñas tarsales simples y simétricas, arolio de 25% de largo de las uñas tarsales. Abdomen glabro, glándula tergal en T-1, por debajo del metanoto, terguitos con ángulos caudolaterales, siendo el de mayor desarrollo el T-9. Lámina supraanal trapezoidal, bordes laterales convergentes, borde posterior emarginado, formando una “W”, cercos pseudosegmentados, de color rojizo, con el ápice puntiagudo (Fig. 18e). Lámina subgenital asimétrica, con escotadura de profundidad media, formando dos lobulaciones, estilos digitiformes y desiguales, siendo el más largo el derecho (Fig. 18f). **Genitales masculinos** (Fig. 18g-p): Falómero izquierdo (L.ph) (Figs. 18g-k).  $L_1$  asociado a  $L_{2v}$ , con tres subescleritos “a”, “b” y “c”; “a” con dos lóbulos, “b” portando una

proyección en forma de garra, “c” muy corto (Fig. 18j).  $L_2$  con dos subescleritos “dorsal y ventral” (Figs. 18h, i).  $L_{2d}$  parte más ancha con un-área de numerosos procesos espinosos (Fig. 18h).  $L_{2v}$  con dos subescleritos “a” y “b”; ambos laminares y largos (Fig. 18i).  $L_3$  (gancho genital), con proceso dentiforme triangular subapical (Fig. 18g). *acc.pr* asociado a  $L_1$ , con varios pliegues o setas piliformes (Figs. 18k). Falómero derecho (R.ph) (Figs. 18 m-p).  $R_1$  delgado, con dos proyecciones, “a” y “b”, “a” grueso y corvo, “b” muy reducido y ahusado (Fig. 18l).  $R_2$  asociado a  $R_1$ , con proyección en forma de gancho grueso (Figs. 18l).  $R_3$  con dos escleritos sobrepuestos (dorsal y ventral) (Figs. 18m-n);  $R_{3d}$  con dos subescleritos “a” y “b”, *a* es un abultamiento sinuoso en *b* (Figs. 18m).  $R_{3dv}$  (Figs. 18n).  $R_4$  con dos subescleritos “a” y “b”, “a” es más grande y la parte distal hialina, “b” curvo (Fig. 18o). *V.ph* (Fig. 18p).

**Paratipo (Hembra)** (Figs. 19a-g): 17 mm largo total, 7.2 mm ancho máximo. Similar al macho, algo más grande, difiere en la morfología de las láminas. Lámina supraanal rojiza, convexa, larga, con los bordes laterales convergentes, margen posterior invaginado cerca del 10% del largo de la lámina, cercos segmentados, con el ápice puntiagudo (Fig. 19e). Lámina subgenital valvar (Fig. 19f). Complejo valvar (Fig. 19g).

**Distribución:** MÉXICO, *Chiapas*, Mpios. Villacorzo, La Concordia, Ángel A. Corzo, Siltepec, Acacoyahua, Mapastepec, Pijijiapan, Monte Cristo de Guerrero y Escuintla (Reserva de la Biosfera El Triunfo) (Fig. 33).

**Biogeografía:** Dentro de la provincia Chiapas (chi) (*sensu* Morrone, 2001; Morrone y Márquez, 2008) (Fig. 33).

*Eurycotis copalitanus* Estrada-Álvarez y Gutiérrez **sp. nov.**  
(Figs. 20a-g; 33)

**Material tipo:** Holotipo ♀ México, Oaxaca, Pluma Hidalgo, Finca Copalita; 31-1-88; E. Barrera, A. Cárdenas, E. Ramírez cols. (CNIN).

**Etimología:** En aposición a la localidad tipo.

**Diagnosis:** Recuerda a *E. ocotalis* Estrada-Álvarez y Gutiérrez **sp. nov.** y la especie centroamericana *E. biolleyi* Rehn; en la coloración rojiza, difiere de estas en tener las patas amarillentas.

**Descripción Holotipo Hembra** (Figs. 20a-g): 21.2 mm largo total, 11 mm ancho máximo. Coloración dorsal marrón rojiza, en la parte ventral del mismo tono que la dorsal, excepto las patas y rostro amarillentos (Figs. 20a, b). Pronoto (6 mm largo; 8.7 mm ancho), parabólico, borde anterior subtrunco, bordes laterales curvos, borde posterior algo procurvo (Fig. 20a). Meso y metanoto libres. Tegminas (3.4 mm largo, 2.3 mm ancho), lobiformes, apenas rebasando el borde posterior del mesonoto (Fig. 20c). Alas ausentes. Rostro (4.5 mm largo, 5.2 mm ancho), amarillento, frente, mancha en medio de las inserciones antenales y base del clípeo rojizos, ojos reniformes con lóbulo posterior más chico, separados por 3 mm, manchas ocelares inconspicuos, escapo marrón, separados por 2.9 mm (Fig. 20d). Patas robustas, amarillentas a naranjas, margen antero-ventral de fémur I con espinación tipo A3 (*sensu* Roth, 2003), siete u ocho espinas robustas, y tres espinas apicales, tibia posterior simple, más oscuras que las restantes, sin modificaciones o engrosamientos, pulvilos bien desarrollados, en los cuatro tarsómeros uñas tarsales simples y simétricas, arolio de 45% de largo de las uñas tarsales. Lámina supraanal convexa, larga, con los bordes laterales curvos, margen posterior invaginado cerca del 20% del largo de la lámina, formando una “W”, cercos segmentados, con el ápice puntiagudo (Fig. 20e). Lámina subgenital valvar (Fig. 20f). Complejo valvar (Fig. 20g).

**Distribución:** MÉXICO, *Oaxaca*, Mpio. Pluma Hidalgo, Finca Copalillo (Fig. 33).

**Biogeografía:** Dentro de la provincia Costas del Pacífico mexicano (mpc) (*sensu* Morrone, 2001; Morrone y Márquez, 2008) (Fig. 33).

*Eurycotis ocotalis* Estrada-Álvarez y Gutiérrez **sp. nov.**  
(Figs. 21a-h; 33)

**Material tipo:** Holotipo ♀ México, Chiapas, Km. 20 Ocozocoautla el Ocote; 6-III-1993; G. Ortega, E. Barrera cols. (CNIN).

**Otro Material revisado:** 1 juv. México, Chiapas, Km. 20 Ocozocoautla el Ocote; 6-III-1993; G. Ortega, E. Barrera cols. (CNIN).

**Etimología:** En aposición a la localidad tipo.

**Diagnosis:** Recuerda a *E. copalitanus* Estrada-Álvarez y Gutiérrez **sp. nov.** y la especie centroamericana *E. biolleyi* Rehn, 1918, difiere de *E. copalitanus* en tener las patas rojizas y de *E. biolleyi* en la forma de la lámina supraanal, sin la escotadura.

**Descripción Holotipo Hembra** (Figs. 21a-h): 20.8 mm largo total, 11 mm ancho máximo. Coloración dorsal y la parte ventral rojiza (Figs. 21a, b). Pronoto (6 mm largo; 8 mm ancho), parabólico, borde anterior subtrunco, bordes laterales curvos, borde posterior un poco procurvo (Fig. 21c). Meso y metanoto libres. Tegminas (3.4 mm largo, 1.9 mm ancho), lobiformes, rebasando por poco el borde posterior del mesonoto (Fig. 21d). Alas ausentes. Rostro (4.3 mm largo, 4.7 mm ancho), todo de color marrón rojizo, a excepción de las manchas ocelares y el clipeo amarillento, ojos reniformes con lóbulo posterior más chico, separados por 2.9 mm, manchas ocelares conspicuos, separadas por 1.9 mm escapo marrón, separados por 2 mm (Fig. 21e). Patas robustas, amarillentas a naranjas, margen antero-ventral de fémur I con espinación tipo A3 (*sensu* Roth, 2003), siete u ocho espinas robustas, y tres espinas apicales, tibia posterior simple, más oscuras que las restantes, sin modificaciones o engrosamientos, pulvilos bien desarrollados, en los cuatro tarsómeros uñas tarsales simples y simétricas, arolio de 50% de largo de las uñas tarsales. Lámina supraanal trapezoidal, bordes laterales convergentes, borde posterior trunco, cercos pseudosegmentados, cortos, con el ápice puntiagudo (Fig. 21f). Lámina subgenital valvar (Fig. 21g). Complejo valvar (Fig. 21h)

**Juveniles:** Similar a la hembra, pero de menor talla (14.8 mm) y más oscuro.

**Distribución:** MÉXICO, *Chiapas*, *Mpios. Villacorzo, La Concordia, Ángel A. Corzo, Siltepec, Acacoyahua, Mapastepec, Pijijiapan, Monte Cristo de Guerrero y Escuintla (La Reserva de la Biosfera El Triunfo)* (Fig. 33).

**Biogeografía:** Dentro de la provincia Costas del Pacífico Mexicano (mpc) (*sensu* Morrone, 2001; Morrone y Márquez, 2008) (Fig. 33).

*Eurycotis gurneyfiskorum* Estrada-Álvarez y Sormani **sp. nov.**

(Figs. 22a-j; 33)

*Eurycotis mexicana* (ID errónea) no *E. mexicana* (Saussure), en: Saussure & Zehntner, 1893: 70 (♂♀) [comb. n.] [Parte Mexico, Eastern Cordillera, Orizaba, and Moyoapan]. Estrada-Álvarez, 2013: 280 [parte MÉXICO. VER: Orizaba (Orizaba), Astacinga (Moyoapan)]. Hollier *et al.*, 2023: 84. [parte, material de Orizaba] [*Eurycotis orizabae* name is not available].

**Material tipo:** Holotipo ♂ Orizaba, Mexique; Sumicrast col. (MHNG-ARTO-20745); [*Eurycotis orizabae* **sp. nov.** det. A. B Gurney + F. W. Fisk, 1969] [nombre provisional].

Paratipo ♀ (MHNG-ARTO-20749);

**Otro material revisado:** 3 ninfas (MHNG-ARTO-20750-20752).

**Nota:** En la serie de siete ejemplares bajo el nombre provisional *Eurycotis orizabae*, se encontraron dos machos colectados por Saussure y no por Sumicrast, estos dos machos difieren de *E. gurneyfiskorum* Estrada-Álvarez y Sormani **sp. nov.** en el patrón de coloración y morfología de las láminas y cercos masculinos, por lo que solo a la serie colectada por Sumicrast se les considera dentro de la serie tipo, los dos machos colectados por Saussure son considerados *Eurycotis* sp 2.

**Etimología:** En honor a Ashley Buell Gurney (1911-1988) y Frank Wilburn Fisk (1914-2002) por ser quienes notaron las diferencias en esta nueva especie.

**Diagnosis:** Especie negruzca, con los bordes posteriores de los tergitos rojizos (Fig. 22a).

**Descripción Macho** (Figs. 22a-h): 14.4-15.2 mm de largo total, 7.5-8 mm de ancho máximo.

Coloración completamente marrón oscuro, con los bordes posteriores rojizos, tegumento brillante (Fig. 22a). Tegminas lobiformes (Fig. 22c). Alas ausentes. Rostro, ojos reniformes, ocelos blanquecinos, antenas filiformes rojizas o amarillentas (Fig. 22d). Fémur I, con margen anteroventral con espinación tipo A3 (*sensu* Roth, 2003); pulvilos visibles en los cuatro tarsómeros; arolio presente; uñas tarsales simples y simétricas. Abdomen con estructura tergal circular en T-1, con setas más abundante que las otras especies (Fig. 22e), con ángulos caudolaterales T-5 a T-7 de mayor desarrollo en T-9. Lámina supraanal trapezoidal, con borde posterior trunco (Fig. 22f). Lámina subgenital con bordes lateral corvos y divergentes, margen posterior poco invaginado, (Fig. 22g).

**Hembra** (Fig. 22h-j): Más grande (20 mm largo total), similar al macho, pero más clara (Fig. 22i). Lámina supraanal larga, con una ligera muesca en margen posterior (Fig. 22j). Lámina subgenital bivalvar.

**Juveniles:** similares a los adultos.

**Distribución:** MÉXICO, Veracruz, Mpio. Orizaba (Orizaba) (Fig. 33).

**Biogeografía:** Dentro de la provincia Golfo de México (mg) (*sensu* Morrone, 2001; Morrone y Márquez, 2008) (Fig. 33).

***Eurycotis cozticus*** Estrada-Álvarez y Sormani **sp. nov.**

(Figs. 23a-i; 33)

**Material tipo:** Holótipo ♂, 2♂♂ Paratipos, 3♀♀ Paratipos. México: Veracruz, Mpio. Tlacolulan, Loc. Tlacolulan, Bosque de *Quercus* sp. octubre de 2005: C. Sormani col. (IEXA).

**Etimología:** Usando el vocablo del náhuatl **Coztic** (Amarillo), en relación con el tono amarillento de a especie. Grafía latinizada.

**Diagnosis:** Especie amarillenta, con tegminas lobiformes.

**Descripción Macho** (Figs. 23a-f): 14 mm de largo total, 8 mm de ancho máximo. Coloración amarillenta, tegumento brillante. Tegminas lobiformes (Fig. 23b). Alas ausentes. Rostro, ojos

reniformes, ocelos blanquecinos, antenas filiformes amarillentas. Fémur I, con margen anteroventral con espinación tipo A3 (*sensu* Roth, 2003); pulvilos visibles en los cuatro tarsómeros; arolio presente; uñas tarsales simples y simétricas. Abdomen con estructura tergal en T-1, con setas más abundante que las otras especies (Fig. 7c), con ángulos caudolaterales T-5 a T-7 de mayor desarrollo en T-9. Lámina supraanal trapezoidal, con borde posterior algo emarginado (Fig. 23c). Lámina subgenital con bordes lateral y divergentes, margen posterior invaginado, (Fig. 23d). **Genitales masculinos** (Fig. 23e, f): Falómero izquierdo (L.ph) (Fig. 23e).  $L_1$  asociado a  $L_{2v}$ , (Fig. 23a).  $L_2$  con dos subescleritos “dorsal y ventral”.  $L_{2d}$  parte más ancha con un área de numerosos procesos espinosos;  $L_{2v}$  con dos subescleritos “a” y “b”; (Fig. 23e).  $L_3$  (gancho genital), con proceso dentiforme triangular subapical (Fig. 23e). Falómero derecho (R.ph) (Figs. 23e).  $R_1$  delgado, con dos proyecciones, “a” y “b”, “a” rectas, “b” algo curvado en la parte anterior (Fig. 23e).  $R_2$  asociado a  $R_1$ , con proyección en forma de gancho grueso (Figs. 23e).  $R_3$  con dos escleritos sobrepuestos (dorsal y ventral) (Fig. 23e).  $R_4$  con dos subescleritos “a” y “b”, (Fig. 23e).

**Hembra** (23g-i): (13.7 mm largo total), similar al macho, excepto láminas. Lámina supraanal larga, con una ligera muesca en margen posterior (Fig. 23i). Lámina subgenital bivalvar.

**Distribución:** MÉXICO, Veracruz, Mpio. Tlacolulan (Tlacolulan) (Fig. 33).

**Biogeografía:** Dentro de la provincia Golfo de México (mg) (*sensu* Morrone, 2001; Morrone y Márquez, 2008) (Fig. 33).

***Eurycotis guadarramorum*** Estrada-Álvarez y Gutiérrez **sp. nov.**

(Figs. 24a-p; 25a-g; 33)

**Material tipo:** Holótipo ♂, ♀ Paratipos. México: Oaxaca, Mpio. Santa Catarina Ixtepeji, 17.20470° N, -96.62066° O; mayo 2024; Cesar A. Guadarrama R.; Augusto Guadarrama Cantú; Maximiliano Guadarrama Cantú; Cesar Guadarrama Cantú y Violeta C. Cantú P. cols. (CNIN).

**Etimología:** En honor a la familia Guadarrama-Cantú, por coleccionar y donar el material; así como por su gran pasión por cucarachas, con afecto.

**Diagnosis:** Especie muy cercana a *E. mexicana* y *E. nando* Estrada-Álvarez y Gutiérrez **sp. nov.**, difiere de esta en la morfología de la lámina subgenital y escleritos de los genitales masculinos y complejo valvar femenino.

**Descripción Macho** (Figs. 24a-p): 22 mm de largo total, 9.2 mm de ancho máximo. Coloración negro lustroso. Tegminas lobiformes, sobrepasando un poco el margen posterior del mesonoto (Fig. 24b). Alas ausentes. Rostro negro, clipeo un poco más rojizo, ojos reniformes, ocelos blanquecinos, antenas filiformes amarillentas (Fig. 24c). Fémur I, con margen antero-ventral con espinación tipo A3 (*sensu* Roth, 2003); pulvillos visibles en los cuatro tarsómeros; arolio presente; uñas tarsales simples y simétricas. Abdomen con estructura tergal en T-1, ángulos caudolaterales T-5 a T-7 de mayor desarrollo en T-9. Lámina supraanal trapezoidal, con borde posterior acarado y recto (Fig. 24e). Lámina subgenital asimétrica, con escotadura muy profunda, formando dos lobulaciones subiguales, estilos digitiformes subiguales (Fig. 24f).

**Genitales masculinos** (Figs. 24g-p): Falómero izquierdo (L.ph) (Figs. 24g-k):  $L_1$  asociado a  $L_{2v}$ , con tres subescleritos “a”, “b” y “c”; “a” con dos lóbulos siendo uno el más ancho, “b” portando una proyección en forma de gancho, “c” muy corto lobulado (Fig. 24i).  $L_2$  con dos subescleritos “dorsal y ventral”.  $L_{2d}$  parte más ancha con una serie de procesos espinosos irregulares, sin formar líneas definidas (Fig. 24h).  $L_{2v}$  asociado a  $L_1$ ; con dos subescleritos “a” y “b”; “a” laminar y larga, “b” ahusado (Fig. 24j).  $L_3$  (gancho genital), con proceso dentiforme desarrollado, con dirección dorsal (Fig. 24g). *acc.pr* asociado a  $L_1$ , subcircular hirsuto, con varios pliegues (Figs. 24k). Falómero derecho (R.ph) (Figs. 24l-p).  $R_1$  asociado a  $R_2$  delgado, con dos proyecciones, “a” y “b”, “a” ancha y bien definida, punto de inflexión subdistal, generando un ángulo obtuso (Fig. 24l).  $R_2$  asociado a  $R_1$ , con proyección en forma de gancho (Fig. 24l).  $R_3$  con dos escleritos

sobrepuestos (dorsal y ventral) (Figs. 24m, n).  $R_{3d}$  con dos subescleritos “a” y “b”, a es un abultamiento en b (Fig. 24m).  $R_{3dv}$  (Fig. 24n).  $R_4$  con dos subescleritos hialinos “a” y “b” (Fig. 24o). *V.ph* (Fig. 24p).

**Hembra** (25a-g): (21mm largo total), similar al macho, excepto láminas. Lámina supraanal larga, con una ligera muesca en margen posterior (Fig. 25e). Lámina subgenital bivalvar (Fig. 25f). Complejo valvar (Fig. 25g).

**Distribución:** MÉXICO, Oaxaca, Mpio. Santa Catarina Ixtepeji (Fig. 33).

**Biogeografía:** Dentro de la provincia Sierra Madre del Sur (sms) (*sensu* Morrone, 2001; Morrone y Márquez, 2008) (Fig. 33).

## 2 Sinopsis del género *Eurycotis* Stål, 1874 en Centroamérica

### Morfoespecies

#### *Eurycotis* sp1

*Eurycotis mexicana?* no *E. mexicana* (Saussure); Biolley, 1900: 46 [común a los alrededores de San José] Fisk, 1971: 443 [SJOS: San José].

**Distribución:** COSTA RICA.

**Nota:** Con base en la nueva información, se considera la determinación errónea.

#### *Eurycotis* sp2

*Eurycotis mysteca?* no *E. mysteca* (Saussure); Biolley, 1900: 46 [Rancho San Flores en las faldas del volcán Barba]. Fisk, 1971: 443 [HERD: Rancho Flores, foothills of Volc. Barba]

**Distribución:** COSTA RICA.

**Nota:** Con base en la nueva información, se considera la determinación errónea.

#### *Eurycotis* sp3

*Eurycotis n. sp* Fisk, 1971: 443 [ALAJ: Chachagua '66, Quesada '66. CART: Turrialba. CCTE: Tilaran '66. LIMN: La Emilia, La Lola, Madre de Dios. PUNT: San Vito]

**Distribución:** COSTA RICA.

**Nota:** Con base en la nueva información, se considera la determinación errónea.

#### *Eurycotis abdominalis* Hebard, 1916

(Figs. 26a-c)

*Eurycotis abdominalis* Hebard, 1916: 262; Lam. XIV, Fig. 2 (D♀) [**sp. nov.**] [Central América (LT)]. Princis, 1966: 552. Beccaloni, 2014. Estrada-Álvarez y Sormani, 2021:195. Estrada-Álvarez y Ramos-Galdamez, 2023: 100; Figs. 1(Mapa *Eurycotis spp.* en Centroamérica), 2-6 [Registros para Guatemala, Honduras y el Salvador].

**Material tipo:** Holotipo Hembra (ANSP); fotos revisadas.

**Diagnosis:** Especie de fácil distinción por sus manchas rojizas laterales en el metanoto y los terguitos (Fig. 26a-c).

**Distribución:** HONDURAS, Depto. *Francisco Morazán*, Mpio. *San Antonio de Oriente*; Depto. *Cortés*, Mpio. Villanueva. SALVADOR, Depto. *Sonsonate*, Mpio. Izalco. GUATEMALA, Depto. *Jutiapa*, Mpio. Agua Blanca.

### *Eurycotis biolleyi* Rehn, 1918

(Figs. 27a-d).

*Eurycotis tristani* Tristan, 1896: 15 [nombre provisional] [Turrialba; Tristán Col.] [*sin. jun.* en Estrada-Álvarez y Sormani, 2021: 195].

*Stylopyga Biolleyi* [nom. prov.] Tristán, 1896: 15. [*sin. jun.* en Estrada-Álvarez y Sormani, 2021: 195].

*Eurycotis carbonaria* Tristán, 1896: 15 [nombre provisional] [La Palma; Tristán Col. Azahar de Cartago, Costa Rica] [*sin. jun.* Senu Rehn, 1918: 321] [*nomen dubium sensu* Rehn, 1918: 321]. Biolley, 1900: 46. Picado, 1913: 344 [Pitahaya, 1,400 mètres].

*Eurycotis biolleyi* Rehn, 1918: 321; Lam. XVIII, Fig. 1-4 (D♂♀) [**sp. nov.**] [Pacayas, Costa Rica. Elevation, 1,430 m (LT); Tablazo, Costa Rica. Elevation, 1,900 m; La Palma, Itiquis, Cartago, Monte Redondo, Santa María de Dota, Navarro, San Jose, Tiribi]. Hebard, 1920a: 8, 101 [reg. n. Boquete, Panamá]. Hebard, 1929b: 396 [reg. n. Panama City, Panamá; Boquete, Quiriqui Panama]. Princis, 1966: 550. Fisk, 1971: 443 [Common]. Beccaloni, 2025. Maes *et al.*, 2020: 93; Fig. 72. Estrada-Álvarez y

Sormani, 2021:195. Estrada-Álvarez y Ramos-Galdámez, 2023: 100; Fig. 1 (Mapa *Eurycotis spp.* en Centroamérica).

*Eurycotis lixa*, no *E. lixa* Rehn, 1930 [ID errónea], in: Maes, 1992: 3 [Nicaragua (Matagalpa)]

**Material tipo:** Serie tipo en ANSP.

**Otro material revisado:** 1♂, 1♀, 10 juv. Costa Rica [Det. A.B. Gurney] (MHNG-ART-20720-20731).

**Historia:** *Eurycotis carbonaria* [La Palma; Azahar de Cartago], *Eurycotis Tristani* [Turrialba,] y *Stylopyga Biolleyi* [San José]; son nombres provisionales en Tristán (1896), atribuyendo estas especies nuevas a Saussure, quien nunca las describió. Es considerada *nomina nuda* en Princis (1971: 1135); La serie tipo con material de Saussure (MHNG), donada por el mismo Saussure a Hebard, es revisada por Rehn (1918) y considera a *Eurycotis carbonaria* *sin. jun.* y establece nueva especie *Eurycotis biolleyi* Rehn, 1918 (Rehn, 1918: 321).

En Maes (1992 3) se determina material de Nicaragua como *Eurycotis lixa* (ID errónea) [Nicaragua (Matagalpa)], especie similar, en coloración y tegminas lobiformes, sin embargo, *E. lixa*, es una especie antillana, determinación corregida en Maes *et al.* (2020).

Estrada-Álvarez y Sormani (2021: 195) consideran a *Eurycotis tristani* y *Stylopyga biolleyi* sinonimias junior de *E. biolleyi* Rehn.

**Diagnosis:** Especie de tonalidades rojizas (Figs. 27a-b), machos con el margen posterior de lámina supraanal subrecta (Fig. 27d).

**Distribución:** NICARAGUA, Depto. *Matagalpa*: *Selva Negra*. COSTA RICA, Prov. *Alajuela*, *Itiquis*; Prov. *Cartago*, *Pacayas*, *Cartago*, Prov. *Puntanelas*, La Palma; Prov. *San José*, Tablazo, Monte Redondo, Santa María de Dota, Navarro, San José, Tiribi. PANAMÁ, Prov. *Panamá*, Ciudad de Panamá. Prov. *Quiriqui*, Boquete.

### *Eurycotis pluto* Hebard, 1920

(Figs. 28a-b)

*Eurycotis pluto* Hebard, 1920: 8, 101; Lám. V, Fig. 13 (D♀) [**sp. n.**] [Porto Bello (LT)]. Rau, 1933: 196. Princis, 1950: 133 (1 juv.)

[reg. n. Panamá (canal Zone), Culebra]. Princis, 1966: 551. Gutiérrez, 2010: 59; Fig. 2A, B. Estrada-Álvarez y Sormani, 2021:195. Estrada-Álvarez y Ramos-Galdámez, 2023: 100; Fig. 1 (Mapa *Eurycotis spp.* en Centroamérica).

**Material tipo:** Holotipo hembra NMNH, fotos revisadas.

**Diagnosis:** Especie centroamericana en su totalidad negra (Fig. 28b).

**Distribución:** PANAMÁ, Prov. Colón, Portobelo; Prov. Panamá. Culebra.

**Nota:** Los datos del material que aparece en: Gutiérrez, 2010: 59, no corresponde a esta especie.

***Eurycotis quadrisquamata* Saussure & Zehntner, 1893**

(Figs. 29a-c)

*Eurycotis quadri-squamata* Saussure & Zehntner, 1893:71; Lám. IV, Fig. 40 (D♀) [**sp. nov.**] [Guatemala, San Gerónimo (LT)]. Finot, 1897: 198. Scudder, 1901: 111. Kirby, 1904: 144.

*Eurycotis quadrisquamata* Saussure & Zehntner, in: Shelford, 1910: 12. Princis, 1966: 555. Beccaloni, 2025. Estrada-Álvarez y Sormani, 2021:195. Estrada-Álvarez y Ramos-Galdamez, 2023: 100; Fig. 1 (Mapa *Eurycotis spp.* en Centroamérica).

**Material tipo:** Holotipo hembra (BMNH).

**Diagnosis:** Tanto la tegmina como el ala posterior están esclerosadas y lobiformes (Fig. 29c).

**Distribución:** GUATEMALA, Depto. Baja Verapaz, San Gerónimo [Jerónimo].

***Eurycotis vittifrons* Saussure & Zehntner, 1893**

(Figs. 30a-c)

*Eurycotis vittifrons* Saussure & Zehntner, 1893:71 (D♀) [**sp. nov.**] [Guatemala (Ultramar) (LT)]. Finot, 1897: 198. Scudder, 1901: 111. Kirby, 1904: 144. Shelford, 1910: 12. Princis, 1966: 551. Beccaloni, 2025. Estrada-Álvarez y Sormani, 2021: 195.

**Material tipo:** Holotipo Hembra etiqueta colecta blanca [Guatemala 60S; Mr(t). Ultramar. 51]. Etiqueta roja [Holotypus]. Etiqueta blanca Saussure [605 Guatemala; 51 Amer. Cent.; M. Ultramar]. Etiqueta verde Saussure [*Eurycotis vittifrons* ♀ Saussure]. Etiqueta blanca Gutiérrez [♀ type of *Eurycotis vittifrons* det. E. Gutiérrez 15-II-2006]. (MHNG), revisado (Fig. 30a-c).

**Diagnosis:** Recuerda a *E. dominguezi* Estrada-Álvarez y Gutiérrez **sp. nov.**, en la línea amarilla en la frente y tegminas lobiformes, difiere de ésta en las tegminas cortas y redondeadas en el ápice, además de una coloración rojiza (Fig. 8b vs. 30c) y la línea amarilla de la frente más delgada (Fig. 8a vs. 30d).

**Distribución:** GUATEMALA, (sin más datos).

### 3. Guía taxonómica para la separación de las especies del género *Eurycotis* Stål, 1874 de Norte y Centroamérica

Machos de *E. abdominalis*; *E. copalitanus*; *E. ocotalis*; *E. pluto*; *E. quadrisquamata* y *E. vittifrons* desconocidos.

Hembras de *E. flavifrons*; *E. attenboroughi* desconocidas.

**1a.** Tegminas y alas posteriores lobiformes (Figs. 29a, c); Guatemala.....***E. quadrisquamata* S & Z**

**1b.** Tegminas lobiformes o brachipteras, alas posteriores ausentes o no esclerosadas (Figs. 1a, c; 2b; 3b; 7d; 8c; 9c; 10c; 12c; 14c;15c; 17c; 18c; 19c; 20c; 21d; 22d; 23b; 24a, 25a, 26a; 27a, c; 28; 30c; 31c).....**2**

**2a.** Tegminas subrectangulares con el margen caudal trunco (Figs. 12c; 14c; 31c).....**3**

**2b.** Tegminas lobiformes (Figs. 1a, c; 2b; 3b; 7d; 8c; 9c; 10c; 15c; 17c; 18c; 19c; 20c; 21d; 22d; 23b; 24a, 25a, 26a; 27a, c; 28; 30c).....**5**

**3a.** Tegminas sin solapamiento “*overlapping*”, sin sobrepasar el margen posterior del mesonoto

- (Fig. 31c); EE.UU. (Florida).....*E. floridana* (Walker)
- 3b.** Tegminas con solapamiento “*overlapping*” en el margen interno, cubriendo en su totalidad el meso y metanoto (Figs. 12c; 14c); México (Neotrópico).....4
- 4a.** Banda amarilla en la frente amplia (Fig. 14d); Patas amarillentas (Fig. 14b); lámina subgenital con escotadura corta, lóbulos formados por escotadura angulados (Fig. 14f).....*E. attenboroughi* Estrada-Álvarez y Gutiérrez **sp. nov.**
- 4b.** Banda amarilla en la frente ausente (Fig. 12b); patas marrón rojizo (Fig. 12b); lámina subgenital con escotadura amplia (Fig. 12f).....*E. zongolicanus* Estrada-Álvarez y Gutiérrez **sp. nov.**
- 5a.** Banda amarilla en la frente (Figs. 8a; 30b); patas amarillentas (ejem. Figs. 8b).....6
- 5b.** Rostro negro, marrón oscuro o amarillenta, pero sin la banda amarilla en la frente (Figs. 1b; 8d; 15d; 17d; 18d; 20d; 21e; 22e; 23h; 26d; 29b).....7
- 6a.** Tegmina estrecha, escuamiforme (ratio 1.3), marrón oscuro a negro brillante (Fig. 30c).....*E. flavifrons* Estrada-Álvarez y Gutiérrez **sp. nov.**
- 6b.** Tegmina ancha, semicircular (ratio 0.9), marrón rojizo opaco (Fig. 8).....*E. vittifrons* S & Z
- 7a.** Coloración amarillenta (Figs. 23a, g); Esclerito masculino R<sub>1</sub>, con la proyección “b” larga y subrecta (Fig. 23f).....*E. cozticus* Estrada-Álvarez y Sormani **sp. nov.**
- 7b.** Coloración negra, marrón oscuro o rojiza (Figs. 1a; 2a; 5a-d, f-g; 7a; 8b; 15a, b; 17a, b; 18a, b; 20a, b; 21a, b; 22b; 24a, 26a, 27a; 28c; 29a); Esclerito masculino R<sub>1</sub>, variable.....8
- 8a.** Borde posterior del pronoto, mesonoto, metanoto y terguitos abdominales rojizo (Fig. 22a).....*E. gurneyfiskorum* Estrada-Álvarez y Sormani **sp. nov.**
- 8b.** Borde posterior del pronoto, mesonoto, metanoto y terguitos abdominales sin contraste de coloración.....9
- 9a.** Coloración dorsal rojiza (Figs. 20a; 21a; 27a).....10
- 9b.** Coloración dorsal negra o marrón oscuro (Figs. 1a; 2a; 5a-d, f-g; 7a; 8a; 9d; 15a; 17a; 18a; 19a; 24a; 25a; 26a; 28c).....12
- 10a.** Rostro y patas amarillentas (Figs. 20b, d); México (Oaxaca).....*E. copalitanus* Estrada-Álvarez y Gutiérrez **sp. nov.**
- 10b.** Rostro y patas marrón rojizo (Figs. 21b, c; 22b, e; 27b).....11
- 11a.** Tegumento punteado (Figs. 21c, d); lámina supra-anal femenina corta, con el borde posterior ligeramente emarginado (Fig. 21f).....*E. ocotalis* Estrada-Álvarez y Gutiérrez **sp. nov.**
- 11b.** Tegumento glabro (Figs. 22b, d); lámina supraanal femenina larga, con el borde posterior escotada (Fig. 22h); Lámina supraanal masculina con bordes laterales convergentes y margen posterior sub-recta (Fig. 27d); Costa Rica.....*E. biolleyi* Rehn
- 12a.** Maculas rojizas o naranjas en los costados del metanoto y los terguitos T-1 al T-6 (Figs. 26a, c); Centroamérica (Guatemala, Honduras y El Salvador)..... *E. abdominalis* Hebard
- 12b.** Metanoto y terguitos sin maculas.....13
- 13a.** Distribución Centroamérica (Panamá).....*E. pluto* Hebard
- 13b.** Distribución México.....14
- 14a.** Patas marrón rojizo o amarillentas (Figs. 15b; 16b; 18b, 19b).....15
- 14b.** Patas negras (Figs. 5b, d, g; 7c; 8b; 9e; 17b).....16

- (Fig. 7m).....*E. mexicana*  
Saussure
- 15a.** Lámina subgenital masculina ligeramente emarginada (Fig. 15f);  $R_1$  con proceso “a” delgado y con ligera curvatura (Fig. 18l). Complejo valvar femenino (Fig. 16g).....*E. chichahuaxtlanus*  
Estrada-Álvarez y Gutiérrez **sp. nov.**
- 15b.** Lámina subgenital masculina con escotadura de mediano desarrollo (Fig. 18f);  $R_1$  con proceso “a” grueso (Fig. 15m). Complejo valvar femenino (Fig. 19g).....*E. triumphalis*  
Estrada-Álvarez y Gutiérrez **sp. nov.**
- 16a.** Lámina subgenital masculina con escotadura profunda (Fig. 9f; 24f); Hembras con lámina supraanal Figuras 10h y 25e.....**17**
- 16b.** Lámina subgenital masculina con escotadura de mediano desarrollo (Fig. 4c, 7f; 17f); Hembras con lámina supraanal Figuras 5h; 7b.....**18**
- 17a.** Lámina subgenital masculina con lobulaciones largas y delgadas, con el ápice redondeado (Fig. 8f);  $R_1$  con un proceso justo en el punto de inflexión y crenulaciones del subesclerito “a” (Fig. 8l); Complejo valvar femenino (Fig. 9c).....*E. nando*  
Estrada-Álvarez y Gutiérrez **sp. nov.**
- 17b.** Lámina subgenital masculina con lobulaciones cortas y anchas, con el ápice angular (Fig. 24f);  $R_1$  con el subesclerito “a” simple y liso (Fig. 24l); Complejo valvar femenino (Fig. 25g).....*E. gadarrarum*  
Estrada-Álvarez y Gutiérrez **sp. nov.**
- 18a.**  $R_1$  con abultamiento ventral (v.b) en el proceso “a” (Fig. 4o; 5e). Complejo valvar femenino (Fig. 5j).....*E. mysteca*  
Saussure
- 18b.**  $R_1$  sin abultamiento ventral (v.b) en el proceso “a” (Fig. 7m; 17m).....**19**
- 19a.**  $R_1$  con proceso “b” relativamente más grueso y esclerosado, proceso “a” con ángulo de 90°
- 19b.**  $R_1$  con proceso “b” menos esclerosado, proceso “a” con ángulo mayor a 90° (Fig. 17m).....*E. diazbatresae*  
Estrada-Álvarez y Gutiérrez **sp. nov.**
- 4 Nota taxonómica del género *Eurycotis* Stål, 1874**  
*Kakerlac brevipes* Philippi, 1863 **nomina bubia statu. nov.**  
(Figs. 31a, b)  
*Kakerlac* [*Periplaneta*] *brevipes* Philippi, 1863: 223 (D♂) sp. n. [Sub lapidibus in prov. Santiago frequens.]. Princis, 1952: 5.  
*Periplaneta/Stylopygia brevipes* Philippi in: Brunner von Wattenwyl 1865: 229 [comb. nov.].  
*Polizosteria brevipes* Walker 1868: 146 [comb. nov.].  
*Stylopygia brevipes* Philippi in: Finot, 1897: 199 [comb. nov.] [Chili].  
*Blatta brevipes* Philippi in: Kirby, 1904: 139 [comb. nov.] [Chile, Cordillere]. Shelford, 1910: 16.  
*Eurycotis brevipes* Philippi in: Princis, 1966: 556 [comb. nov.]. Moroni y Gamousseight, 1976: 46 [Chile: Santiago]. Schapheer *et al.*, 2017: 121 [Endemic]. Estrada-Álvarez, 2025: 115.  
*Kakerlac brevipes* Philippi in: Román-de la Fuente, 2023: 46 [Species inquirenda].  
**Material tipo:** Juvenil presumiblemente de la serie tipo en MNNC; adultos no encontrados (Mario Elgueta com. pers.).  
Dentro del trabajo de Philippi (1863), describe una nueva especie para Chile nombrándola *Kakerlac brevipes* Philippi, 1863, dentro de la descripción destacan: (traducción) “*El pronoto es completamente liso, sin impresión, fuertemente curvado de un lado a otro, muy brillante. La cabeza es de color marrón oscuro-negro, pero el borde frontal del clipeo es amarillento. Todos los segmentos del abdomen tienen pequeños pelos en el borde posterior, cuyas raíces parecen protuberancias y los ángulos posteriores de estos se prolongan en punta. Los élitros son ampliamente ovoides, apenas más largos que el*”

*pronoto y tan largos como la mitad del abdomen, de color negro-marrón. Las alas son algo más cortas, muy pálidas, apenas un tercio de anchas y bastante torpes para volar. Las piernas son notablemente cortas; las tibias traseras más cortas que el pronoto”.*

Resaltan el desarrollo de las tegminas casi tan largas como el pronoto y presencia de alas.

Dr. Mario Elgueta, quien busco el material tipo en (MNHNC), encontró ejemplares rotulados con *brevipes* putativamente de la serie tipo de Philippi (Figs. 32a, b).

Con base en la información actual se considera a *Kakerlac brevipes* Philippi, 1863 *nomina bubia* (vs *species inquirenda* en Román-de la Fuente et al., 2023: 46).

#### Otro material revisado:

*Eurycotis adamesi* Gutiérrez, 2014. Serie tipo República Dominicana (MNHNCu; NMNH; MNHNSD; ANSP). *Eurycotis alfaroi* Gutiérrez, 1999. Holotipo ♂, Paratipos ♂♀ Cuba: El Joaquin, Sierra Maestra (. (MNHNCu). *Eurycotis armasi* Gutiérrez, 2025. Serie tipo Cuba (MNHNCu). *Eurycotis barahonensis* Gutiérrez, 2013. Serie tipo República Dominicana (MNHNCu; MNHNSD; ANSP). *Eurycotis ferumequinum* Rehn & Hebard: Holotipo ♂ “La unión, Monte Libano, oriente Province, Cuba. May 18, 1913. (C.T. ramsden; under stones in woods)” (ANSP, Type No. 5363); male 13.063 (dissected), “El Cuzco, Guantánamo Province, Cuba 15/VI/1990, E. Gutiérrez col. (in bromeliad) (MNHNCu). *Eurycotis flavipennis* Saussure & Zehntner, 1893 Holotipo ♀620 88, Cuba, Mr. Poey col. (MHNG-ARTO-20735). 3♀♀, Corralillo, Villa Clara Prov, VII/1991, J.L. Mederos-A. Prieto cols. (MNHNCu); male 13.2320 and 3 females 13.2321–13.2323, Cuba, Sierra de Cubitas, Camagüey Province, 16/IX/2002, E. Gutiérrez col. (MNHNCu). *Eurycotis galeoides* Rehn & Hebard: Holotipo ♂ “La unión, Monte Libano, oriente Province, Cuba. March 23, 1913. (C.T. ramsden; under stones in deep woods)” (ANSP, Type No. 5364); male 13.397 (dissected), “La Hembra”, Meseta del Guaso, El Salvador Municipality, Guantánamo Province, Cuba 13/VI/1990, E. Alfaro col. (in bromeliad)

(MNHNCu). *Eurycotis gurneyi* Gutiérrez, 1999. Serie tipo Puerto Rico (MNHNCu). *Eurycotis hebardi* Gutiérrez, 2013. Serie tipo República Dominicana (MNHNCu; NMNH; MNHNSD). *Eurycotis hierroi* Gutiérrez, 2014. Holotipo ♂ y Paratipo ♀ República Dominicana, RD-148, up 100 m del El Sitio del Agua, bosque nublado N Los Bolos, Sierra de Neiba, provincia Independencia, 180 39.339’N, 71o39.279’W, 1,520 m, 9-VII-2003, D. Pérez, R. Bastardo, B. Hierro cols.(day/night) (NMNH). *Eurycotis histrio* Rehn, 1937. Holotipo ♂ Haití, “Northeastern foothills of Massif La Hotte, Southwestern peninsula of Haiti, Hispaniola” (MCZ). *Eurycotis isabeltorres* Gutiérrez, 2014. Holotipo ♂ República Dominicana, Loma Isabel de Torres, Puerto Plata, 13-XII-2007, E. Gutiérrez, A. Pérez-Asso cols., en bromeliáceas (MNHNCu). *Eurycotis jaragua* Gutiérrez, 2014. Serie tipo República Dominicana (MNHNCu; NMNH; MNHNSD). *Eurycotis mercedes* Gutiérrez, 2014. Holotipo ♂ República Dominicana, Las Mercedes, provincia Pedernales, 5-II-2002 (MNHNCu). *Eurycotis milerai* Gutiérrez, 2001 Holotipo ♂ Cuba, Monte Caleta Grande Isla de la Juventud, alrededores de la Cueva Gil, Bajo piedra: 29 iii 1990; J. F. Milera y A Avila col. ((MNHNCu). *Eurycotis neiba* Gutiérrez, 2014. Holotipo. ♂ República Dominicana, Los Bolos (1,100 m), Sierra de Neiba, Postrer Río, provincia Independencia, 14-IV-1999, L. F. Armas col. (bajo piedras) (MNHNCu). *Eurycotis opaca* (Brunner von Wattenwyl, 1865) 4♂♂, 1 juv. (MHNG-ARTO-20737-20741); ♂♀ *Polyzosteria finschii* Saussure, 1873 (sin. jun.); Cuba (MHNG-ARTO-20742-20743). *Eurycotis perezassoi* Gutiérrez, 1996. Holotipo ♂ La Municipión, Camino a Cupeyal, provincia de Guantánamo, Cuba. Bajo piedra, A. R. Estrada, 24-VI-1990. (MNHNCu). *Eurycotis quitaespuela* Gutiérrez, 2014. Holotipo ♂, Paratipos. ♂♀. República Dominicana, Loma Quita Espuela, San Francisco de Macorís, provincia Duarte, 11-II-2002, en la base de hoja de palma viva, E. Gutiérrez col.; (MNHNCu). *Eurycotis rehni* Gutiérrez, 2013. Serie tipo República Dominicana (MNHNCu; NMNH; MNHNSD). *Eurycotis ruthae* Gutiérrez, 2013.

Holotipo ♂, Paratipo ♀. República Dominicana, RD-155, Charquito Prieto, El Curro, Sierra Martín García, provincia Azua, 18°18.324'N 70°57.176'O, 731 msnm, 17-18-VII-2003. D. Pérez, R. Bastardo, B. Hierro cols. (day/night) (NMNH). *Eurycotis rothi* Gutiérrez, 2013. Serie tipo República Dominicana (MNHNCu; NMNH; MNHNSD). *Eurycotis samana* Gutiérrez, 2014. Holotipo ♂ República Dominicana, La Laguna, N El Valle, provincia Samaná, 28-29-XI-2003, 54 m, 19°15.007'N, 69°18.471'O, D. Pérez, R. Bastardo, A. Francisco cols. (NMNH). *Eurycotis tibialis* Hebard, 1916. ♂ S. Frncsco(sic) [San Frasnisco] ts, St. Domingo. (NMNH). *Eurycotis victori* Gutiérrez, 2004. Holotipo ♂ Puerto Rico, Cerro de Punta, a 1,300 m, sobre vegetación y árboles, de noche, x.2000, O. H. Garrido y A. Silva-Lee cols. (MNHNCu). *Eurycotis sp* [probably *E. lixa*; det. A. B. Gurney] (MHNG-ARTO-20744). *Eurycotis sp. cer. pluto*(¿?) Hebard 1♀ San Jose, Pearl Is., Gulf of Panama; Nov./1945; R.C. Murpht col. (AMNH), fotos revisadas. *Eurycotis sp.* 3♀♀ [*Eurycotis mexicana* (ID errónea)] La Campana, 19 Mi. W. El Salto, Dgo., Méx.; Sept. 22, 1950; Ray F. Smith coll (AMNH\_I\_ZC 00397640-42). Foto por: Ana María Ruíz, in: Johnson *et al.* 2023. *Eurycotis sp.* 2♂♂ Orizaba, Mexique; Saussure col. (MHNG-ARTO-20746; 0747); [*Eurycotis orizabae sp. n.* det. A. B. Gurney + F. W. Fisk, 1969] [nombre provisional]. *Pelmatosilpha decipiens* Kirby, 1903 [= *Eurycotis decipiens*] 1 ♂, Trinidad, W. I., col. A. Busck, [det. M. Hebard 1917] (ANSP); 1 ♀ Arima Valley, Trinidad, B. W. I., 14-I-1953 [det. L. M. Roth, 1969] (AMNH); 1♂ 226-47, ISLA VIEQUES, PUERTO RICO, X-1947, cols. Martorell y Carbonell, [det. F. W. Fisk]. (MEBT). *Pelmatosilpha villana* Saussure & Zehntner, 1893. ♀ Panamá (MHNG-ARTO-20753). *Pelmatosilpha subalata* Saussure & Zehntner, 1893. ♀ Colombia (MHNG-ARTO-20754).

## DISCUSIÓN Y CONCLUSIÓN

Con base en los resultados obtenidos, se llenan vacíos tanto en lo relacionado con los estudios morfológicos del grupo, en especial, en lo

referente a los genitales del macho (a partir de la especie tipo del género), así como acerca del conocimiento de la biodiversidad y distribución del género *Eurycotis* en Norte y Centroamérica, estudios que recién comienzan, pues muchas especies permanecen por ser estudiadas en colecciones provenientes de esta conspicua área geográfica, estudios futuros que incrementarán el conocimiento alcanzado en el presente trabajo, esto da bases para una mejor comparación con el género *Pelmatosilpha* y ya sea delimitar de manera adecuada cada género en su defecto sinonimizan a ambos géneros.

La variabilidad del patrón de coloración, Biogeografía y genitales masculinos, en especial R1, dan pauta a pensar que hay grupos dentro de *Eurycotis*, que merecen la pena un estudio más profundo.

La coloración general, desarrollo, forma de las tegminas, morfología de las láminas son caracteres de peso para la determinación de especies dentro del género, pero los genitales masculinos brindan gran información, en especial los escleritos R<sub>1</sub> y R<sub>2</sub>, aportan caracteres diagnósticos entre especies similares.

## AGRADECIMIENTOS

JCEA agradece Al Dr. Alejandro Zaldívar y al M. en C. Ma. Cristina Mayorga (CNIN-IBUNAM, UNAM, CDMX, México); M. en C. María Eugenia Díaz Batres, curadora de la Colección Nacional de Insectos Dr. Alfredo Barrera Marín (CNIABM), por el amable trato al revisar los ejemplares bajo su protección. A Cesar A. Guadarrama R., Violeta Q. Cantú, Cesar Guadarrama C., Augusto G. C y Maximiliano G. C. por la colecta y donación de material para este trabajo.

EG agradece a Peter Schwendinger por su invitación y amable asistencia durante su visita a las colecciones de Blattodea del MHNG; por el préstamo y envío por correo postal de especímenes de *Eurycotis* a Bélgica para su estudio en el IRCNB, el eterno agradecimiento para Ulrike Aspöck (NHMW), Niklas Jönsson (NRSS) y George Beccaloni (BMNH); además, su eterna gratitud para Yves Samyn y Georges

Wauthy (IRCNB) por su ayuda durante el estudio de colecciones en Bruselas, así como, al grant “Global Taxonomic Initiative (GTI) of the Belgian focal point in Brussels” por el apoyo brindado a este autor en el estudio de colecciones de tipos y otros ejemplares de *Eurycotis*, depositados en instituciones europeas. Al Dr. Daniel E. Pérez Gelabert y Nancy Adams, por las fotos del tipo de *E. pluto* depositado en el Smithsonian (NMNH).

CGS agradece al Dr. Hollier curador de la colección de Blattodea del MHNG, por su apoyo y amable trato al revisar material de esta institución.

Entomological Research, A. C. quien apoyó el presente trabajo.

#### LITERATURA CITADA

Beccaloni, G. W. 2025. *Cockroach Species File*. Disponible en: <https://cockroach.speciesfile.org/> (consultado 04 agosto 2025).

Biolley, P. 1900. IV Ortopteres recogidos en Costa Rica desde 1890 a 1900. *Informe Museo Nacional de Costa Rica 1899-1900*, 40–49.

Blatchley, W. S. 1920. *Orthoptera of northeastern America with special reference to the fauna of Indiana and Florida, Indianapolis*, Nature Publishing Co, 784 pp.

Brunner von Wattenwy, C. 1865. *Nouveau système des blattaires*. G. Braumüller (Ed.). Vienne. 426pp.

Djernæs, M. y J. Muriene, 2022. Phylogeny of Blattoidea (Dictyoptera: Blattodea) with a revised classification of Blattidae. *Arthropod Systematics & Phylogeny*, 80, 209–228. <https://doi.org/10.3897/asp.80.e75819>

Domínguez, M. R. F. 2023. *Diversidad taxonómica de las cucarachas silvestres (Insecta: Blattodea) de Chiapas, México*. Tesis de Maestría. El Colegio de la Frontera Sur. Tapachula, Chiapas.

de Luna, M., R. García-Barrios y G. Cuellar-Rodríguez, 2021. New records of exotic cockroaches (Insecta: Blattodea) from northeast Mexico, with an illustrated identification key for the species of Blattidae of North America. *Acta zoológica mexicana (nueva serie)*, 37, 1–13.

Estrada-Álvarez, J. C. 2013. Primera lista de las Cucarachas (Insecta: Dictyoptera: Blattaria) de México. *Boletín de la Sociedad Entomológica Aragonesa*, 53, 267–284.

Estrada-Álvarez, J. C. 2022. Etimologías de los géneros de Cucarachas (Blattodea) del continente Americano. *Boletín de la Sociedad Entomológica Aragonesa*, 70, 192–220.

Estrada-Álvarez, J. C. y J. Ramos-Galdámez, 2023. El enigma de la distribución de *Eurycotis abdominalis* Hebard, 1916 (Blattodea: Blattidae: Eurycotinae), resuelto por la ciencia ciudadana (iNaturalist). *CEIBA*, 56(2), 99–104.

Estrada-Álvarez, J. C. y C. G. H. Sormani, 2021. Lista de las cucarachas (Blattodea) de Centroamérica, con cambios y adiciones taxonómicas; y correcciones para México. *Boletín de la Sociedad Entomológica Aragonesa*, 69, 169–205.

Estrada-Álvarez, J. C., T. A. Román-de la Fuente y C. G. H. Sormani, 2025. Cucarachas (Blattodea: Blattaria) (112-115), in: Román-de la Fuente, T. A. (Ed.) *Insectos de Chile. Guía para la identificación y conservación de especies nativas*. 1ra Edición. Ediciones Libro Verde. Santiago de Chile, Chile. 256 pp.

Finot, A. 1897. Catalogue des Orthopteres de l'Amerique meridionale, derits jusqu'a ce jour 1895. *Actes de La Societe Scientifique Du Chili*, 7, 169–220.

Fisk, F.W. 1971. An annotated checklist of Costa Rican cockroaches (Dictyoptera: Blattaria). *Proceedings of the Entomological Society of Washington*, 73(4), 431–444.

- Gurney, A. B. 1942. Studies in Cuban Blattidae (Orthoptera). *Bulletin of the Museum of Comparative Zoology at Harvard College*, 89(2), 11-60.
- Gurney, A. B. 1965. Two new cockroaches of the genera *Pelmatosilpha* and *Henschoutedenia*, with a key to the West Indian species of *Pelmatosilpha* (Dictyoptera: Blattaria). *Proceedings of the Royal Entomological Society of London. Series B, Taxonomy*, 34(1-2), 5–11.
- Gutiérrez, E. 1996. Nueva especie del género *Eurycotis* Stål (Dictyoptera: Blattidae: Polyzosteriinae) para Cuba. *Insecta Mundi*, 7(1-4), 13–17.
- Gutiérrez, E. 1999. Two New Species of the Cockroach Genus *Eurycotis* Stål (Dictyoptera: Blattidae: Polyzosteriinae) from Cuba and Puerto Rico (West Indies). *Proceedings of the Academy of Natural Sciences of Philadelphia*, 149, 65–69.
- Gutiérrez, E. 2001. Especie nueva de *Eurycotis* (Dictyoptera: Blattidae: Polyzosteriinae) de Isla de la Juventud, Cuba. *Soledon*, 1, 49–54.
- Gutiérrez, E. 2004. Las cucarachas del género *Eurycotis* (Dictyoptera: Blattaria: Blattidae) en Puerto Rico, con la descripción de una especie nueva. *Solenodon*, 4, 30–36.
- Gutiérrez, E. 2025. A new species of the genus *Eurycotis* Stål (Blattodea: Blattidae) from the eastern region of Cuba. *Zootaxa* 5563 (1), 388–395.
- Hebard, M. 1916. Two new dark-colored Species of Genus *Eurycotis* (Orthoptera, Blattidae). *Entomological news and proceedings of the Entomological Section of the Academy of Natural Sciences of Philadelphia*, 27(6), 263–266.
- Hebard, M. 1917. The Blattidae of North America North of the Mexican boundary. *Memoirs American Entomological Society*, 2, 1-284.
- Hebard, M. 1920. The Blattidae of Panama. *American Entomological Society Memoirs*, 45, 1–148. [1919] <https://doi.org/10.5962/bhl.part.13267>
- Hebard, M. 1929. Supplementary notes on Panamanian Dermaptera and Orthoptera. *Transactions of the American Entomological Society*, 55, 389–400
- Hollier, J., J. Marshall y F. Legendre, 2023. An annotated list of the Blattodea (Insecta) described by Henri de Saussure. Part 3: the Blattidae. *Revue suisse de Zoologie*, 130(1), 77–88.
- iNaturalist 2023. Occurrences available from: [https://www.inaturalist.org/observations?place\\_id=any&taxon\\_id=311166](https://www.inaturalist.org/observations?place_id=any&taxon_id=311166)
- Johnson C., A. M. Ruiz, K. Tsutsumi, E. Larsen, L. Jones y R. Salas, 2023. Digitization PEN: Digital Data from the Terrestrial Polyneoptera at American Museum of Natural History. Version 1.7. American Museum of Natural History. Occurrence dataset <https://doi.org/10.15468/sg7c8c> accessed via GBIF.org on 2023-10-07. <https://www.gbif.org/occurrence/4100330616>
- Kirby, W. F. 1904. Fam. III Blattidae (PP 61–205) In: *A synonymic catalogue of Orthoptera. Vol. I. Orthoptera Euplexoptera, Cursoria, et Gressoria (Forficulidae, Hemimeridae, Blattidae, Mantidae, Phasmidae)*. Trustees of the British Museum, Taylor and Francis (Eds.).
- Mackerras, M. J. 1965. Australian Blattidae (Blattodea). I. General remarks and revision of the genus *Polyzosteria* Burmeister. *Australian Journal of Zoology*, 13, 841–882.
- Maes, J.-M. 1992. Catálogo de los Blattodea (Dictyoptera) de Nicaragua, II, Familia Blattidae. *Revista Nicaraguense de Entomología*, 20, 1–12.
- Maes, J.-M., J. C. Estrada-Álvarez y C. G. H. Sormani, 2020. Catalogo ilustrado de las cucarachas (Blattodea) de Nicaragua. *Revista Nicaragüense de Entomología*, 213, 1–109.

- Mckittrick F. A. 1964. Evolutionary studies of cockroaches. *Cornell University Agricultural Experiment Station, New York State College of Agriculture, Memoir* 389, 1–197.
- McKittrick, F. A. y M. J. Mackerras, 1965. Phyletic relationships within the Blattidae. *Annals of Entomological Society American*, 58(2) 224–30.
- Morrone, J. J. 2001. Biogeografía de América Latina y el Caribe. MandT–Manuales and Tesis SEA, 3. Zaragoza, 148 pp.
- Morrone, J. J. y J. Márquez, 2008. Biodiversity of Mexican terrestrial arthropods (Arachnida and Hexapoda): a biogeographical puzzle. *Acta Zoológica Mexicana* (nueva serie) 24(1), 15–41. <https://doi.org/10.21829/azm.2008.241613>
- Philippi, R. A. 1863. Verzeichniss der im Museum von Santiago befindlichen Chilenischen Orthopteren. *Zeitschrift für die gesammten Naturwissenschaft*, 21, 217-245.
- Picado, C. 1913. Les broméliacées épiphytes considérées comme milieu biologique. *Bulletin biologique de la France et de la Belgique*, 47, 216–360.
- Princis, K. 1950. On a Collection of Blattaria in the Zoological Museum of the University of Oslo. *Norsk entomologisk Tidsskrift*, 8, 129–134.
- Princis, K. 1966. Blattariae: Suborbo Blattoidea. Fam.: Blattidae, Nocticolidae. In: Beier, M. (Ed.). *Orthopterorum Catalogus*. Pars 8. W. Junk, 's-Gravenhage: 402–614.
- Princis, K. 1971. Blattariae: Subordo Epilamproidea, Fam.: Ectobiidae. En: Beier, M. (Ed.). *Orthopterorum Catalogus*, Pars 14, W. Junk. 's-Gravenhage, 1041–1224.
- Rau, P. 1933. The jungle bees and wasps of Barro Colorado Island (with notes on other insects) Phil Rau, Kirkwood, Mo.
- Rehn, J. A. G. 1918. Descriptions of one new genus and fifteen new species of tropical American Orthoptera. *Transactions of the American Entomological Society*, 44, 321–371.
- Rehn, J. A. G. 1930. New or little-known Neotropical Blattidae (Orthoptera), Number two. *Transactions of the American Entomological Society*, 56, 19–71.
- Román-de la Fuente, T. R., J. C. Estrada-Álvarez y C. G. H. Sormani 2023. Synopsis de las Cucarachas (Blattodea: Blattaria) de Chile; un acercamiento a su Historia, taxonomía, diversidad y biogeografía (Pp 39–65). In: Estrada-Álvarez, R. Núñez-Bazán, N. Valero-Pérez, M. R. F. Domínguez & de Luna M. (Eds.). *Memorias del Primer Coloquio de Cucarachas Silvestres (Blattodea: Blattaria) de Latinoamérica (CCSL)*.
- Roth, L. M. 2003. Systematics and phylogeny of cockroaches (Dictyoptera: Blattaria). *Oriental Insects*, 37, 1-186.
- Saussure, H. 1862. Orthoptera nova Americana (Diagnoses praeliminares) (Series III) I (Primera parte). *Revue et magasin de zoologie pure et appliquée*, ser. 2, 14, 163–171.
- Saussure, H. 1864. *Orthoptères de L'America Moyenne, Mémoires pour servir a L'Histoire naturelle du Mexique des Antilles et des Etats-Unis quinze memorie*. Genève. 276 pp.
- Saussure, H. 1870. Etudes sur les insectes Orthopteres. *Mission scientifique au Mexique et dans l'Amérique Centrale. Recherches Zoologiques*, part 6, 1–123.
- Saussure, H. y L. Zehntner, 1893. Insecta-Orthoptera. Vol. I Fam. Blattidae. *Biologia Centrali-Americana*, (Porter) ed., 1–112.
- Scudder, S. H. 1868. Catalogue of the Orthoptera of North America described before 1867. *Smithsonian miscellaneous collections*, 189, 1–71.
- Scudder, S. H. 1901. Alphabetical Index to North American Orthoptera Described in the Eighteenth

and Nineteenth Centurie. *Occasional papers of the Boston Society of Natural History*, 6, 1–436.

Shelford, R. 1910. Blattidae (Orthoptera): subfamily Blattinae (=Periplanetinae), *Genera Insectorum*. Fascicule 109, 1–27.

Stål, C. 1874. Recherches sur le systeme des blattaires. Bihang till Kongl. *Svenska vetenskaps-akademiens handlingar*. 2(13), 1–18.

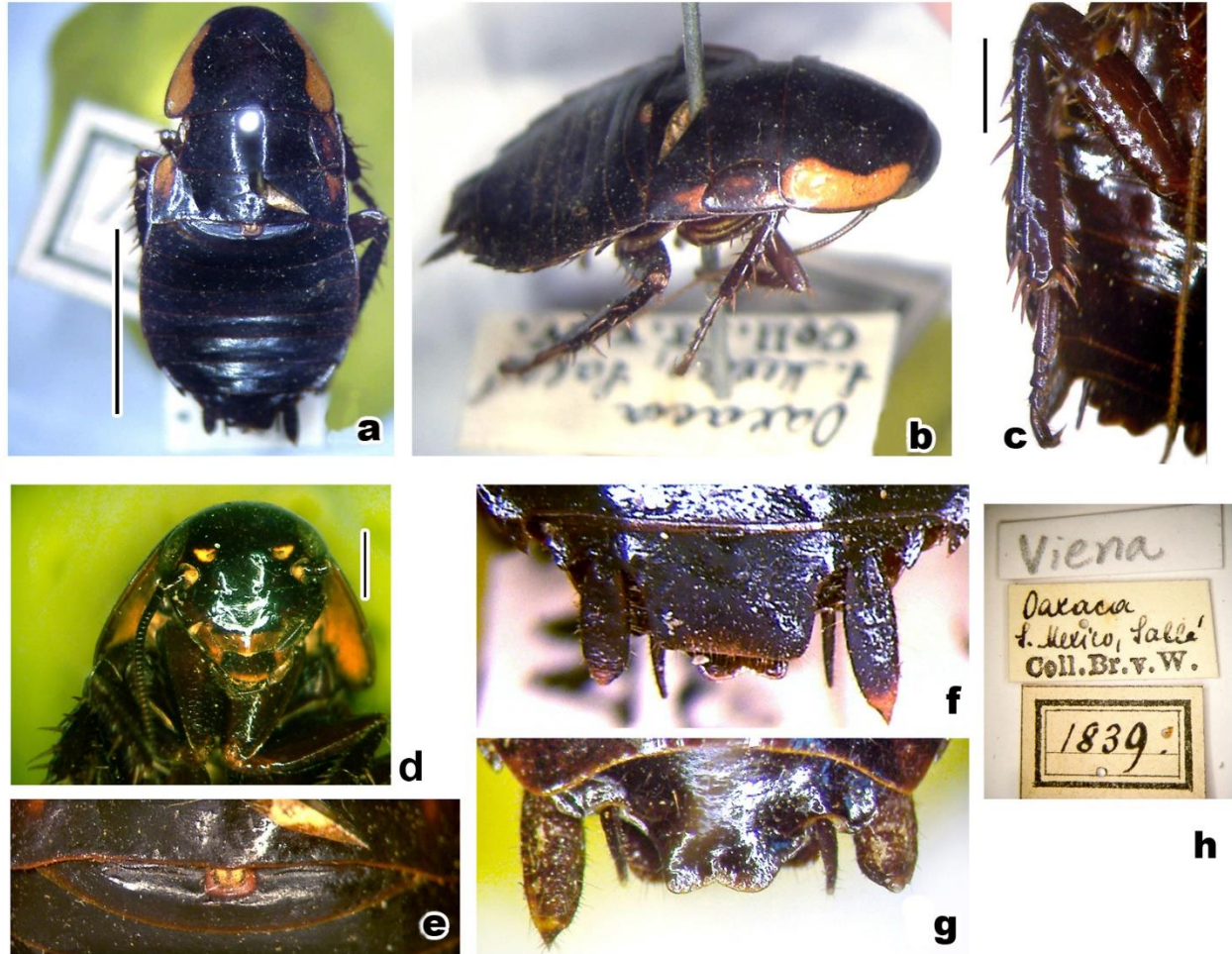
Tristán, J. F. 1896. Informe del Instituto Físico-Geográfico y del Museo Nacional de Costa Rica, 10, 9–19.

Vanschuytbroeck P. 1970. Catalogue des Blattariae conserves dans les Collections Entomologiques de l'institut royal des sciences naturelles de Belgique. Deuxieme partie: Nyctiboridae, Epilampridae & Blattellidae (1). *Bulletin de l'Institut Royal des Sciences Naturelles de Belgique/Bulletin van het Koninklijk Belgisch Instituut voor Natuurwetenschappen*, 46(20), 1–22.

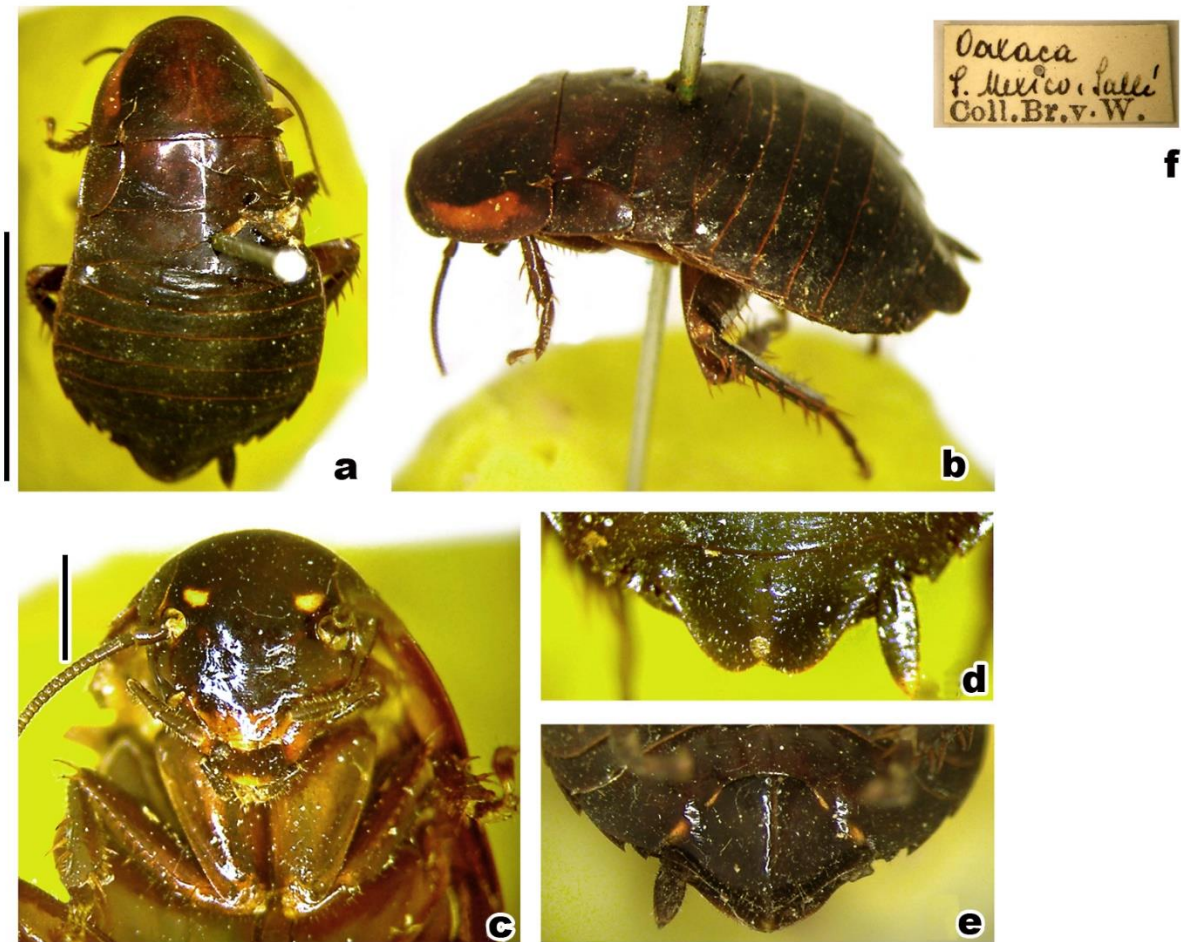
Walker, F. 1868. *Catalogue of the specimens of Blattariae in the collection of the British Museum*. British Museum, London. 239pp.



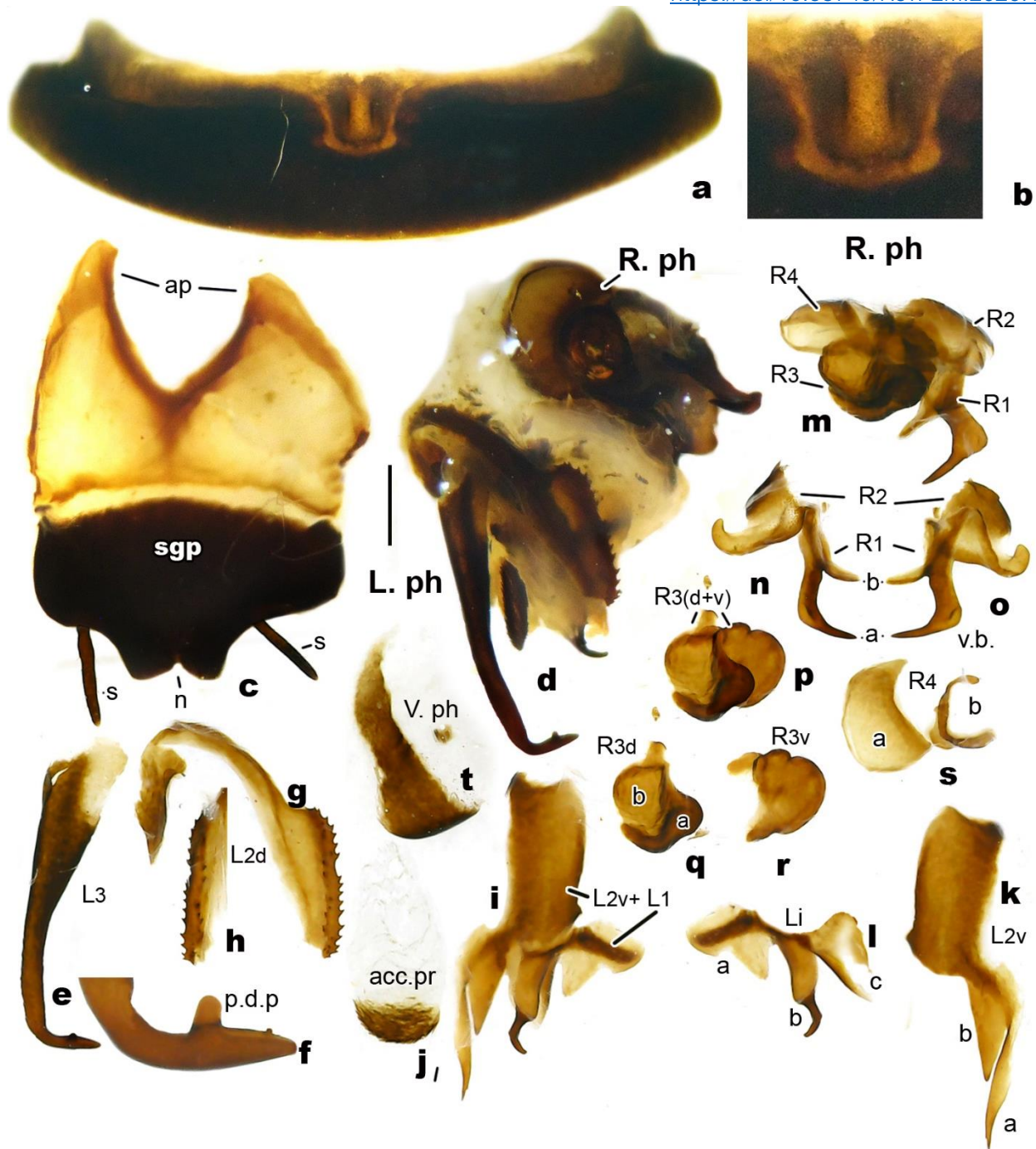
**Figuras 1a-f.** *Eurycotis mysteca* (Saussure, 1862) Lectotipo hembra (MHNG). (a) Vista dorsal. (b) Rostro. (c) Detalle de tegmina; (d-e) Detalle lámina supraanal. (f) Etiquetas. Barras de escala: a=10 mm; b, c=2 mm.



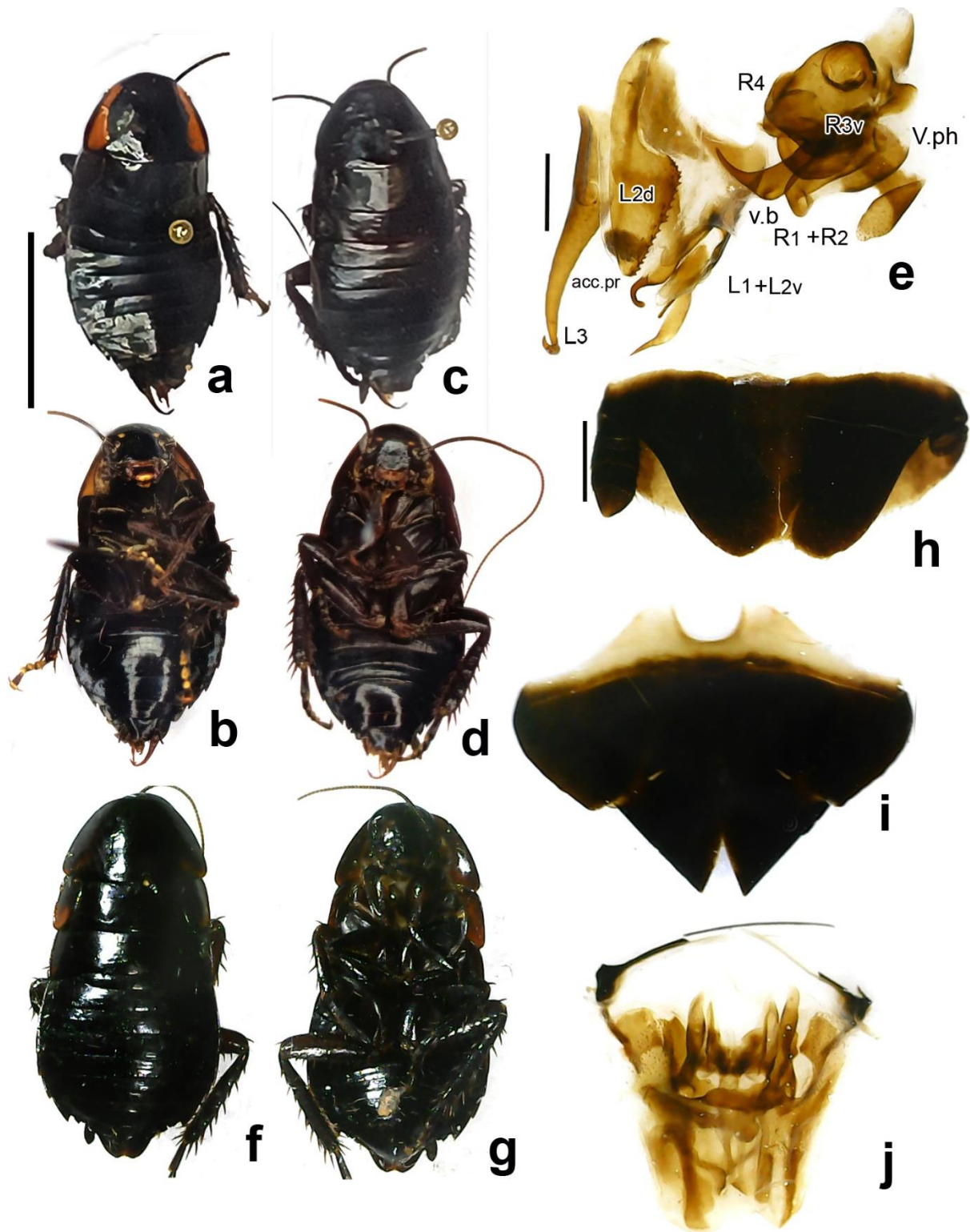
**Figuras 2a-h.** *Eurycotis mysteca* (Saussure, 1862). Lectotipo macho de *Polyzosteria rufovittata* Brunner von Wattenwyl, 1865 (NHMW). (a) Vista dorsal. (b) Vista laterodorsal, mostrando patrón de coloración rojo en pronoto y tegmina. (c) Detalle pata III. (d) Rostro. (e) Primer tergito, mostrando glándula tergal (*ht*). (f) Lámina supraanal. (g) Lámina subgenital. (h) Etiquetas. Barras de escala: a=10 mm; c, d=2 mm.



**Figuras 3a-e.** *Eurycotis mysteca* (Saussure, 1862). Paralectotipo Hembra de *Polyzosteria rufovittata* Brunner von Wattenwyl, 1865. (NHMW). (a) Vista dorsal. (b) Vista laterodorsal, mostrando patrón de coloración rojo en pronoto. (c) Rostro. (d) Lámina supraanal. (e) Lámina subgenital. (f) Etiquetas. Barras de escala: a=10 mm; c=2 mm.



**Figuras 4a-s.** *Eurycotis mysteca* (Saussure, 1862). Macho Oaxaca (CNIN). (a) Primer terguito, mostrando glándula tergal. (*ht*); (b) Glándula tergal. (c) Lámina subgenital. (d-t) genitales. (d) Escleritos genitales antes de la digestión, mostrando la posición ortodoxa de los escleritos. (e, f) L3. (gancho genital). (g-h) L2d. (g) vista dorsal. (h) detalle de la porción ventral, mostrando las dos series de espinas. (i) L1 y L2v. (j) acc.pr. (k) L2v separada de L1. (l) L1 separada de L2v. (m) R. ph (Falómero derecho), antes de separar sus escleritos. (n, o) R<sub>1</sub>+ R<sub>2</sub>. (p-r) R<sub>3</sub>; (q) R<sub>3d</sub>; (r) R<sub>3v</sub>. (s) R<sub>4</sub>. (t) V.ph. Barras de escala: c-s=1 mm.



**Figuras 5a-d.** *Eurycotis mysteca* (Saussure, 1862) Variación. (a, b) Forma típica, macho. (a) Vista dorsal. (b) Vista ventral. (c-j) Forma melánica, macho y hembra. (c-e) Macho (c) Vista dorsal. (d) Vista ventral. (e) Escleritos genitales. (f-j) Hembra. (f) Vista dorsal. (g) Vista ventral. (h) Lámina supraanal. (i) Lámina subgenital. (j) Complejo valvar. Barras de escala: a-d; f, g=10 mm; e, h, i, j=1 mm.

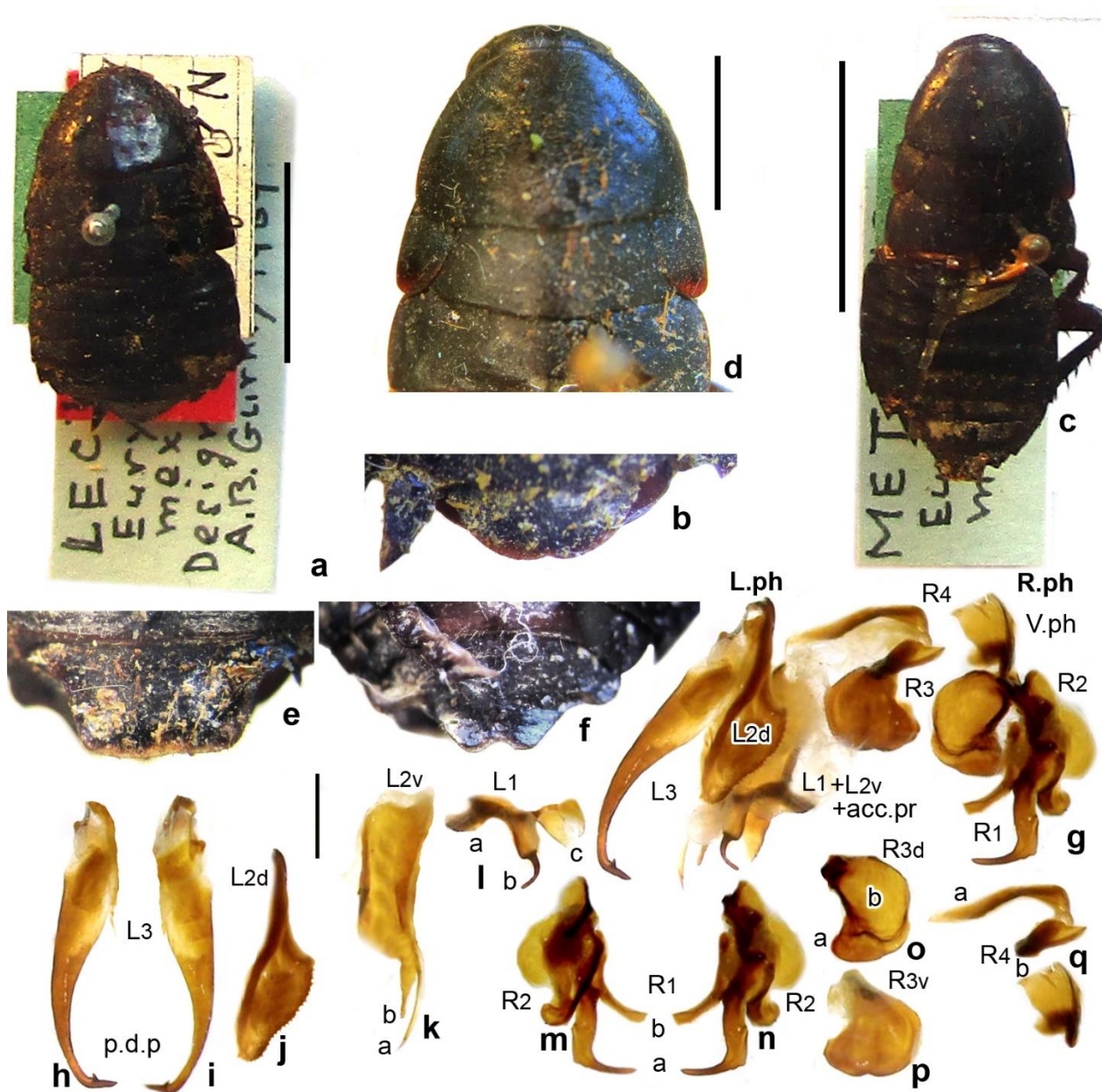


San Pablo Etna, Oax

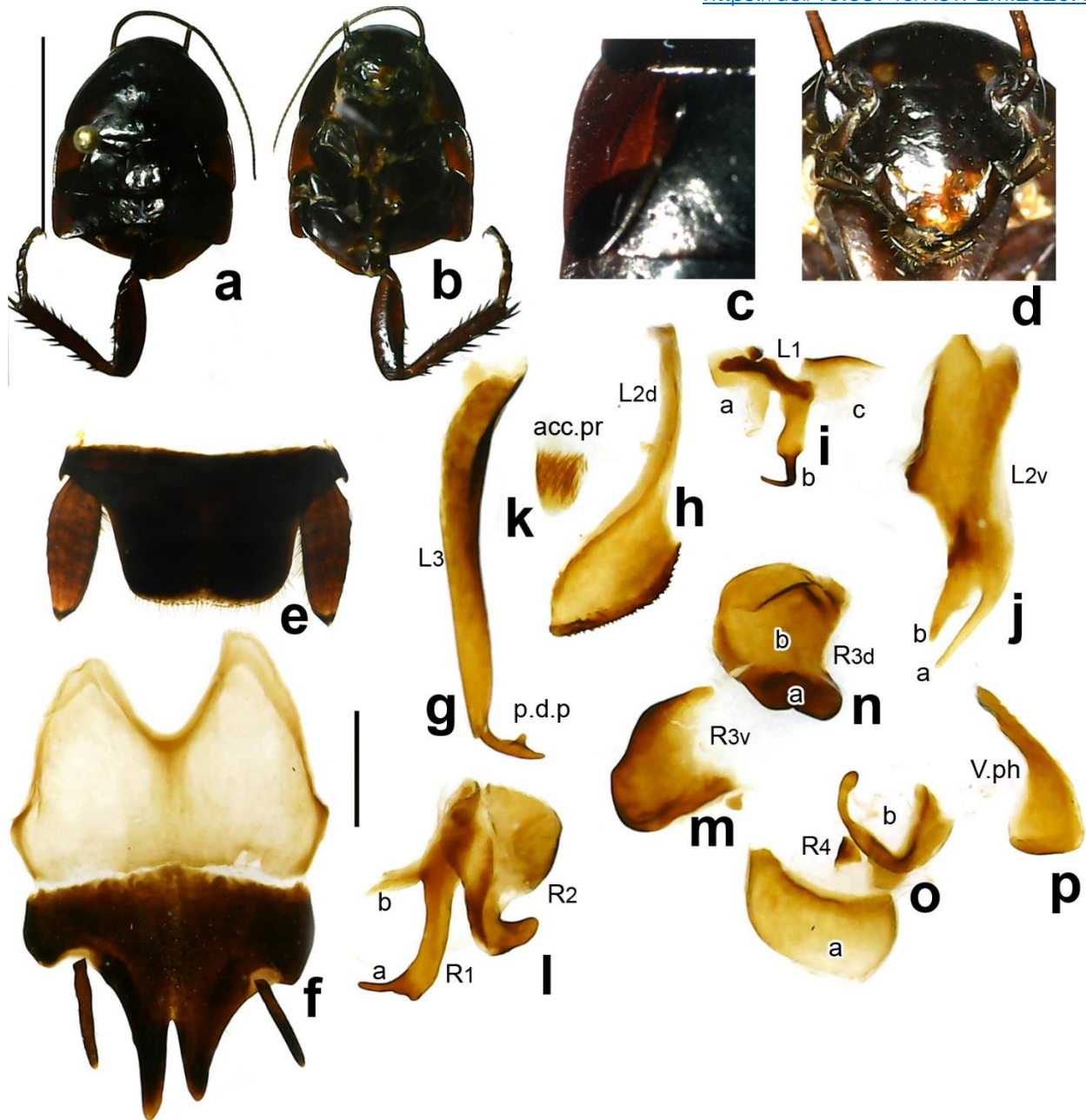


Municipio de Puente de Ixtla, Mor., México

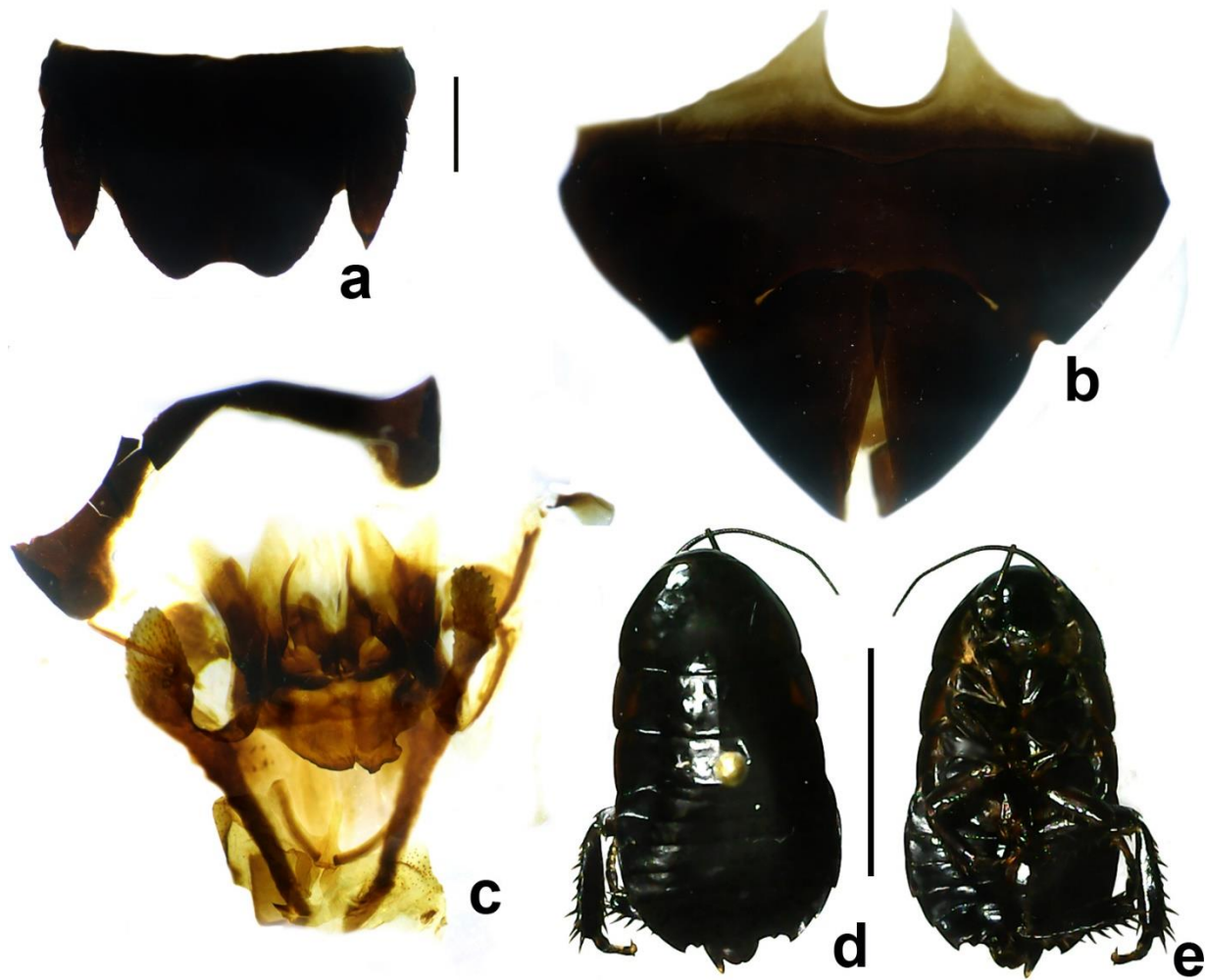
**Figuras 6a-b. *Eurycotis mysteca* (Saussure, 1862) *in situ*.** (a) Hembra con Ooteca, posada en pared (foto: Eugenio Padilla). (b) Macho cazado por la avispa de cucaracha *Ampulex* sp. (Ampulicidae) (foto: David Valenzuela).



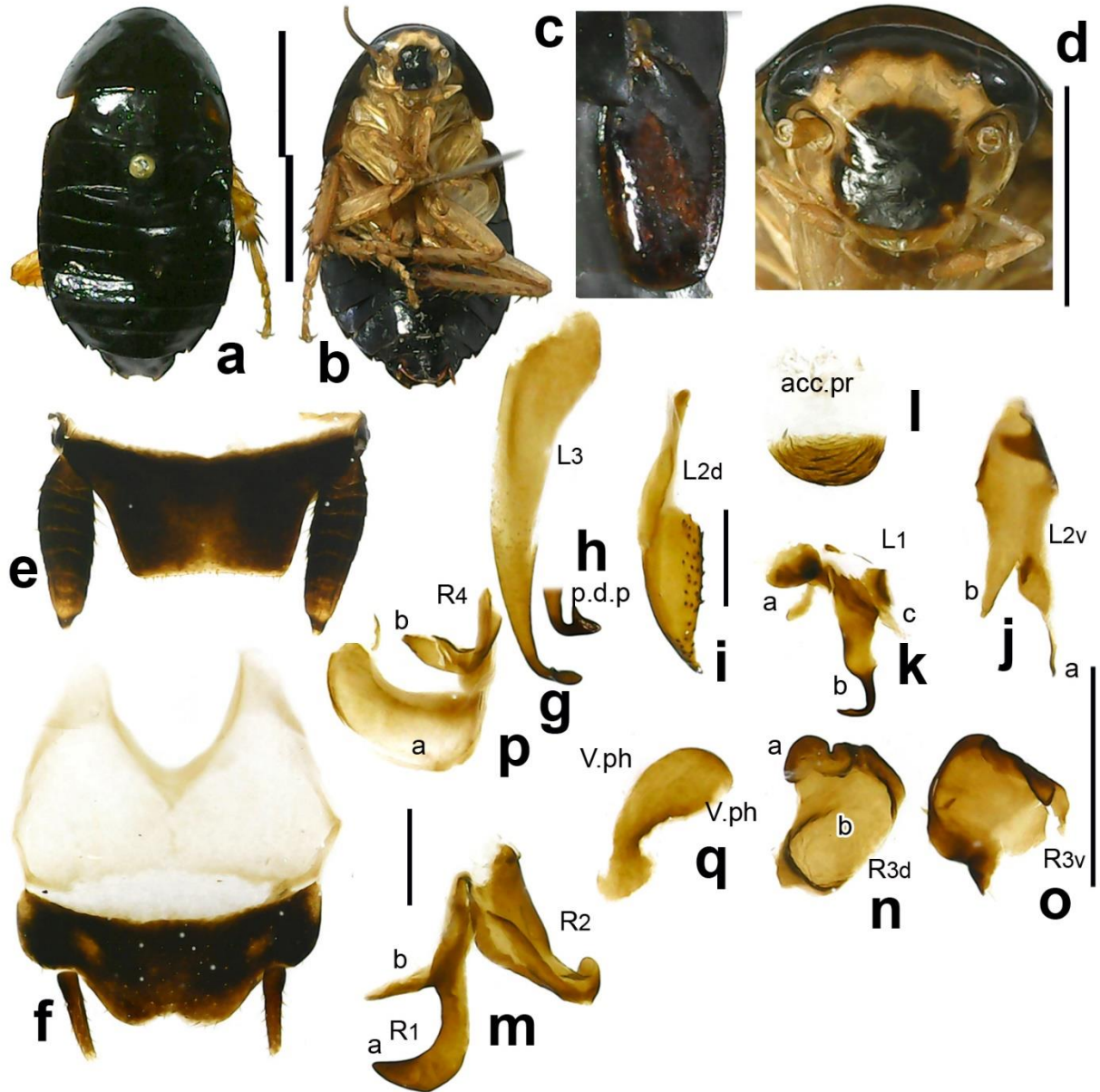
**Figuras 7a-q.** *Eurycotis mexicana* (Saussure, 1862). (a, b) Lectotipo Hembra (MHNG). (a) Vista dorsal. (b) Lámina supraanal. (c)-lectotipo Macho (MHNG). (c) Vista dorsal. (d) Detalle pronoto, mesonoto y metanoto, mostrando tegmina. (e) Lámina supraanal. (f) Lámina subgenital. (g-q) Escleritos genitales. (g) genitales completos. (h, i) L3. (j) L2d. (k) L2v separada de L1. (l) L1 separada de L2v. (m, n) R1+ R2. (o-p) R3. (o) R3d. (p) R3v. (q) R4 (“a”, “b”). Barras de escala: a=10 mm; c, d=2 mm; g-q=1 mm.



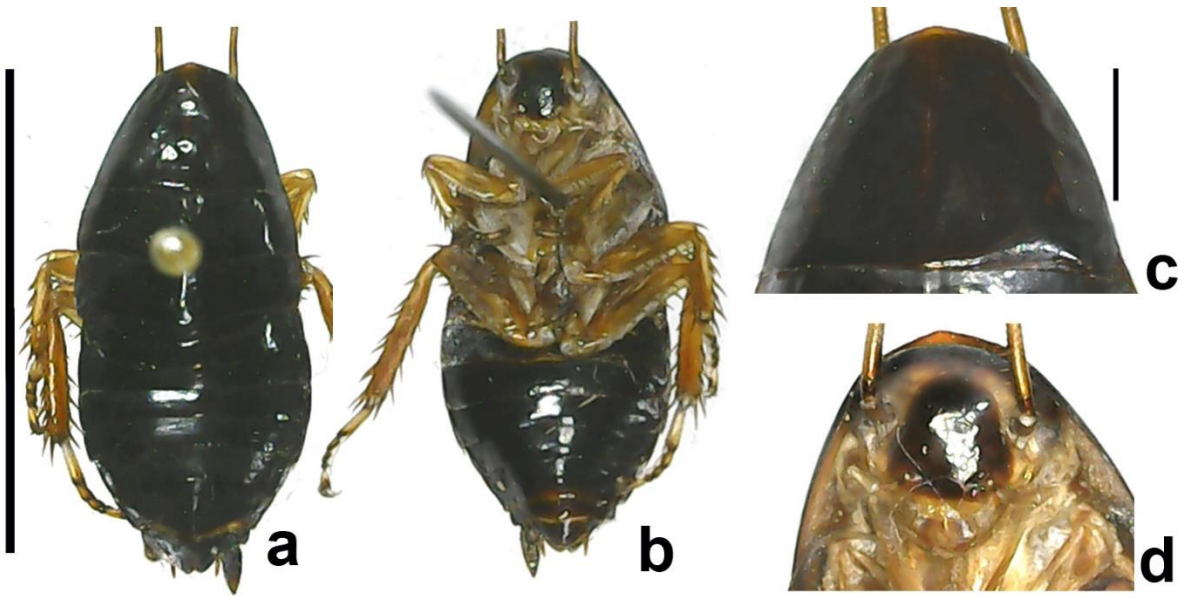
**Figuras 8a-p.** *Eurycotis nando* Estrada-Álvarez y Gutiérrez **sp. nov.** Holotipo Macho (CNIN). (a-b) con el abdomen retirado para la digestión. (a) Vista dorsal. (b) Vista ventral. (c) Tegmina. (d) Rostro. (e) Lámina supraanal. (f) Lámina subgenital. (g-p) Escleritos genitales. (g) L3. (h) L2d. (i) L1 separada de L2v. (j) L2v separada de L1. (k) acc. pr. (l) R1+ R2. (m-n) R3. (m) R3v. (n) R3d. (o) R4 (“a”, “b”). (p) V. ph. Barras de escala: a=10 mm; e-p=1 mm.



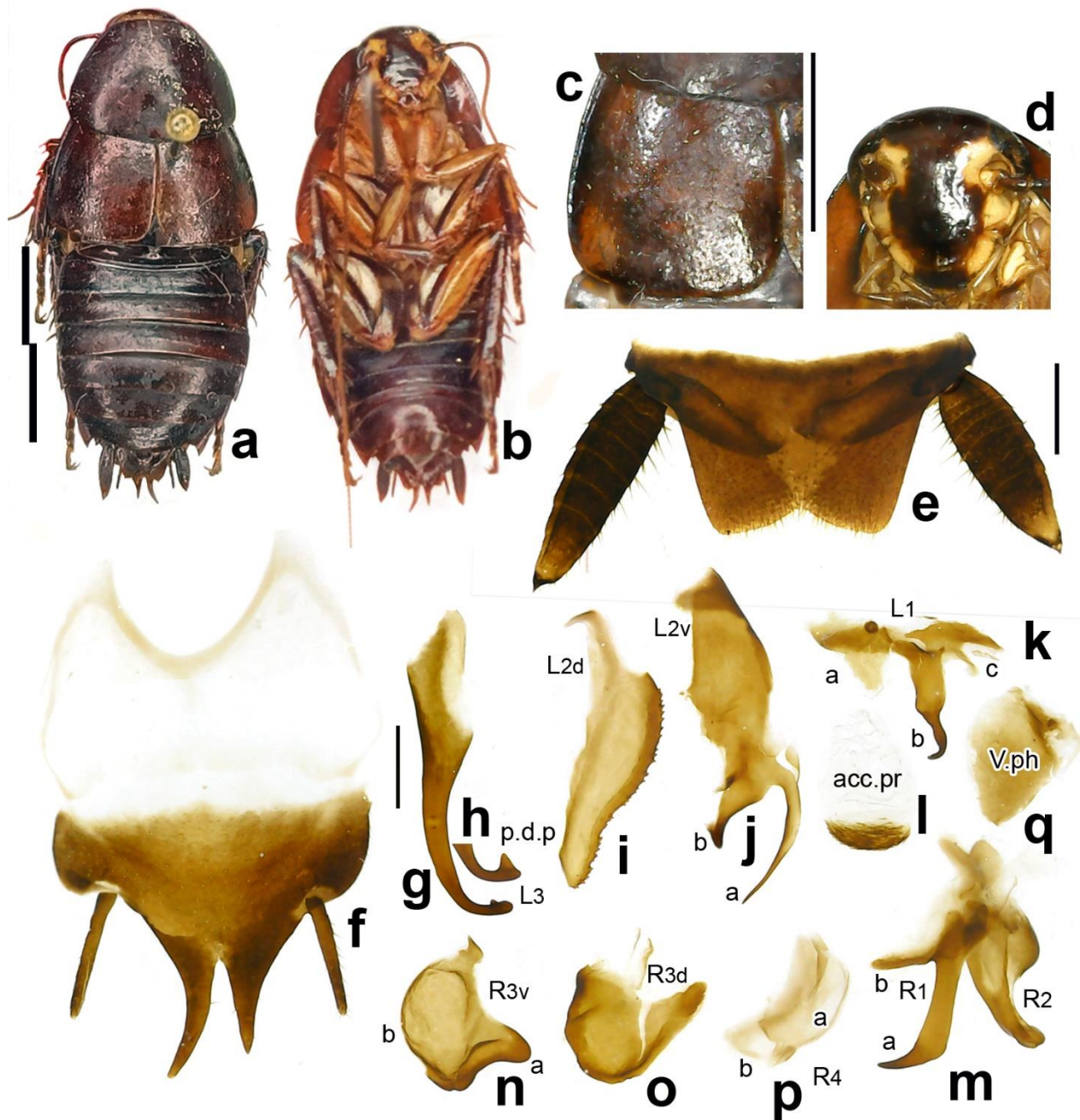
**Figs. 9a-e.** *Eurycotis nando* Estrada-Álvarez y Gutiérrez *sp. nov.* (a-c) Paratipo Hembra. (a) Lámina supraanal. (b) Lámina subgenital. (d-e) Juvenil (CNI). Barras de escala: a-c=1 mm; d-e=10 mm.



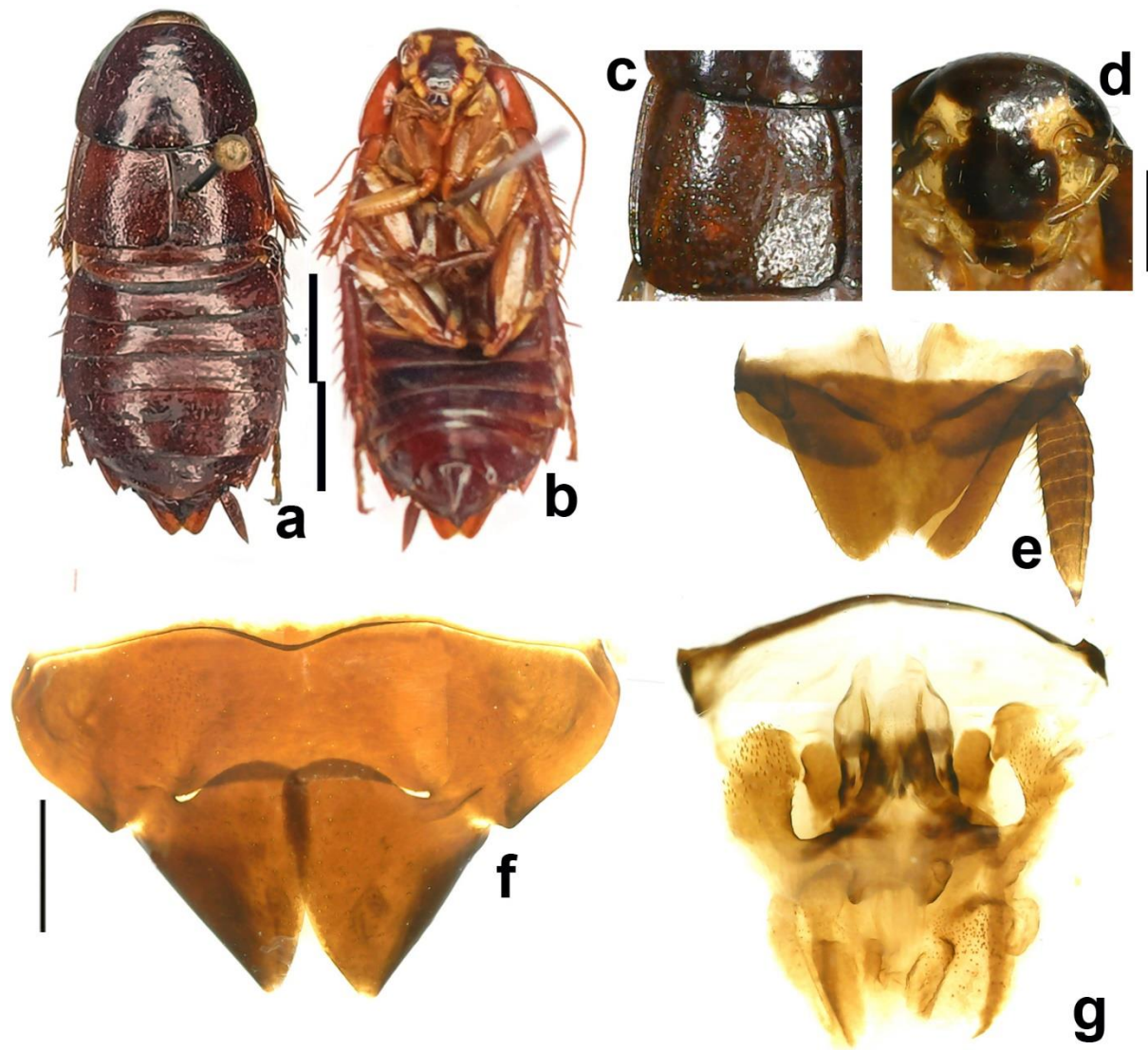
**Figuras 10a-q.** *Eurycotis dominguezi* Estrada-Álvarez y Gutiérrez **sp. nov.** Holotipo Macho (CNIN). (a) Vista dorsal. (b) Vista ventral. (c) Tegmina. (d) Rostro. (e) Lámina supraanal. (f) Lámina subgenital. (g-p) Escleritos genitales. (g-h) L3. (i) L2d. (j) L2v separada de L1. (k) L1 separada de L2v. (l) acc. pr. (m) R1+ R2. (n-o) R3. (n) R3v. (o) R3d. (p) R4 (“a”, “b”). (q) V. ph. Barras de escala: a-b=10 mm; c, d=2 mm; e-q=1 mm.



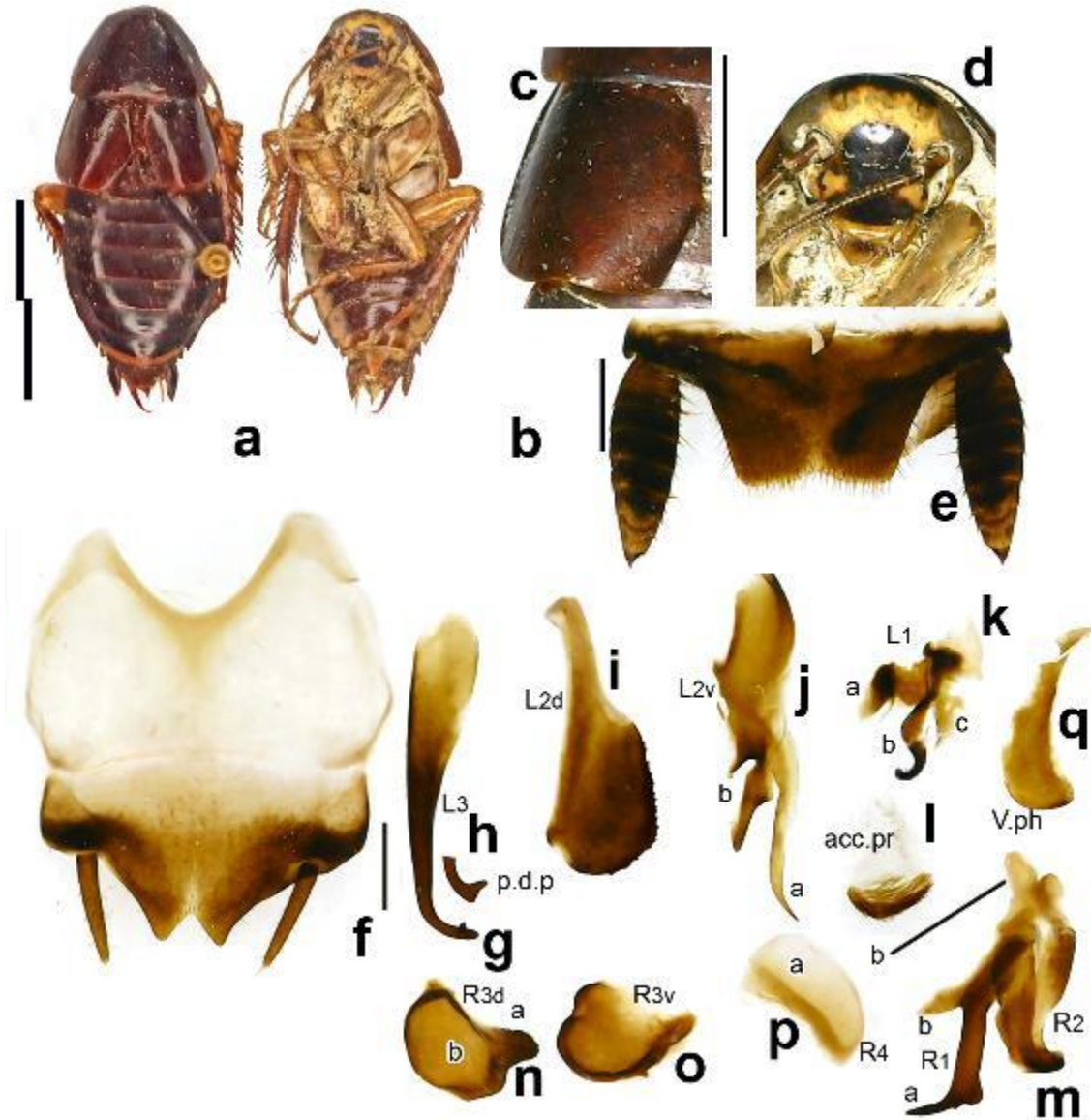
**Figuras 11a-d.** *Eurycotis dominguezi* Estrada-Álvarez y Gutiérrez **sp. nov.** Juvenil Chiapas, México (CNIN). (a) Vista dorsal. (b) Vista ventral. (c) Pronoto. (d) Rostro. Barras de escala: d, e=10 mm; f, g=1 mm.



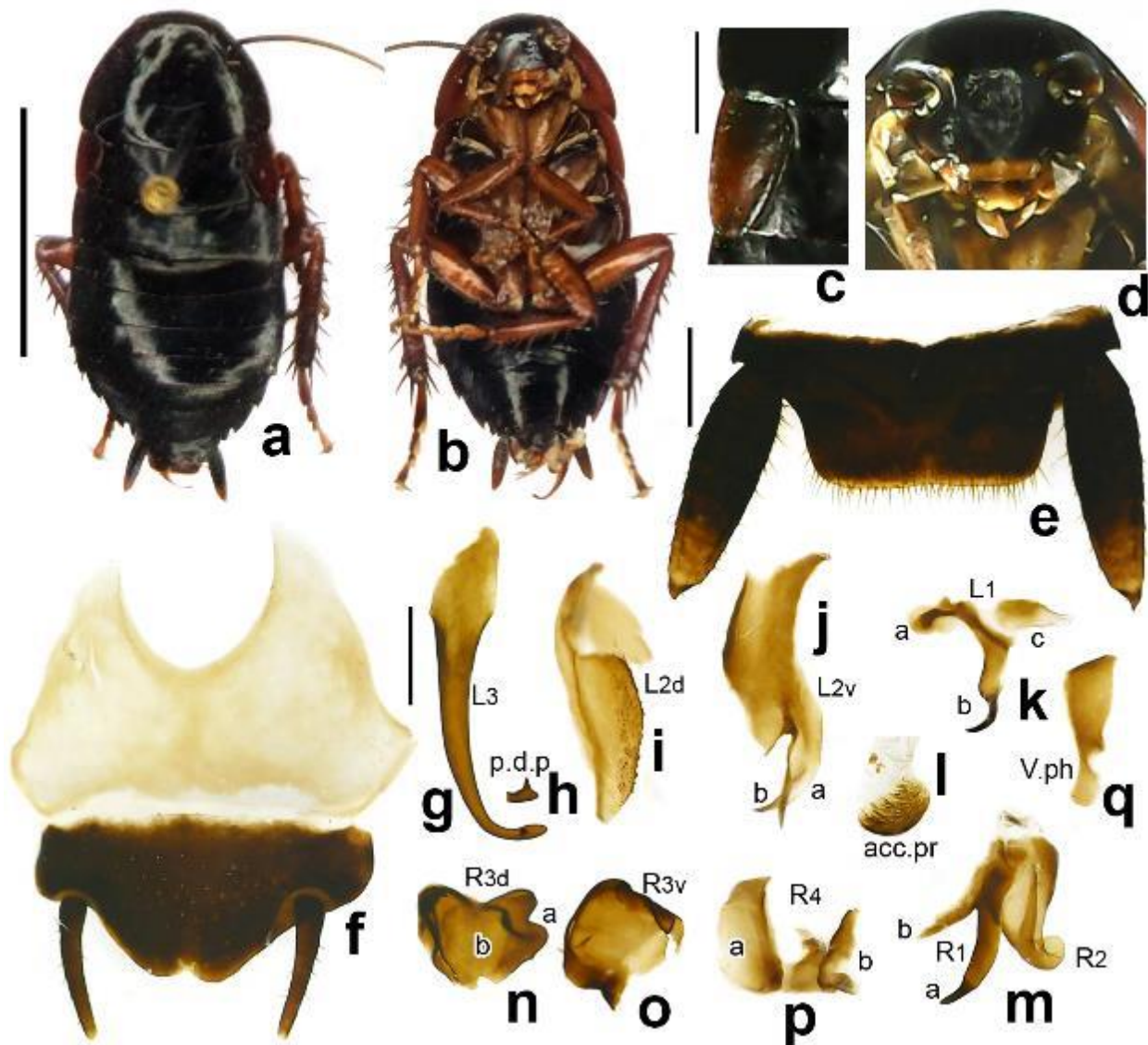
**Figuras 12a-q.** *Eurycotis zongolicanus* Estrada-Álvarez y Gutiérrez **sp. nov.** Holotipo Macho (CNIN). (a) Vista dorsal. (b) Vista ventral. (c) Tegmina. (d) Rostro. (e) Lámina supraanal. (f) Lámina subgenital. (g-q) Escleritos genitales. (g-h) L3. (i) L2d. (j) L2v separada de L1. (k) L1 separada de L2v. (l) acc. pr. (m) R1+R2. (n-o) R3. (n) R3v. (o) R3d. (p) R4 (“a”, “b”). (q) V. ph. Barras de escala: a-b=10 mm; c, d=2 mm; e-q=1 mm.



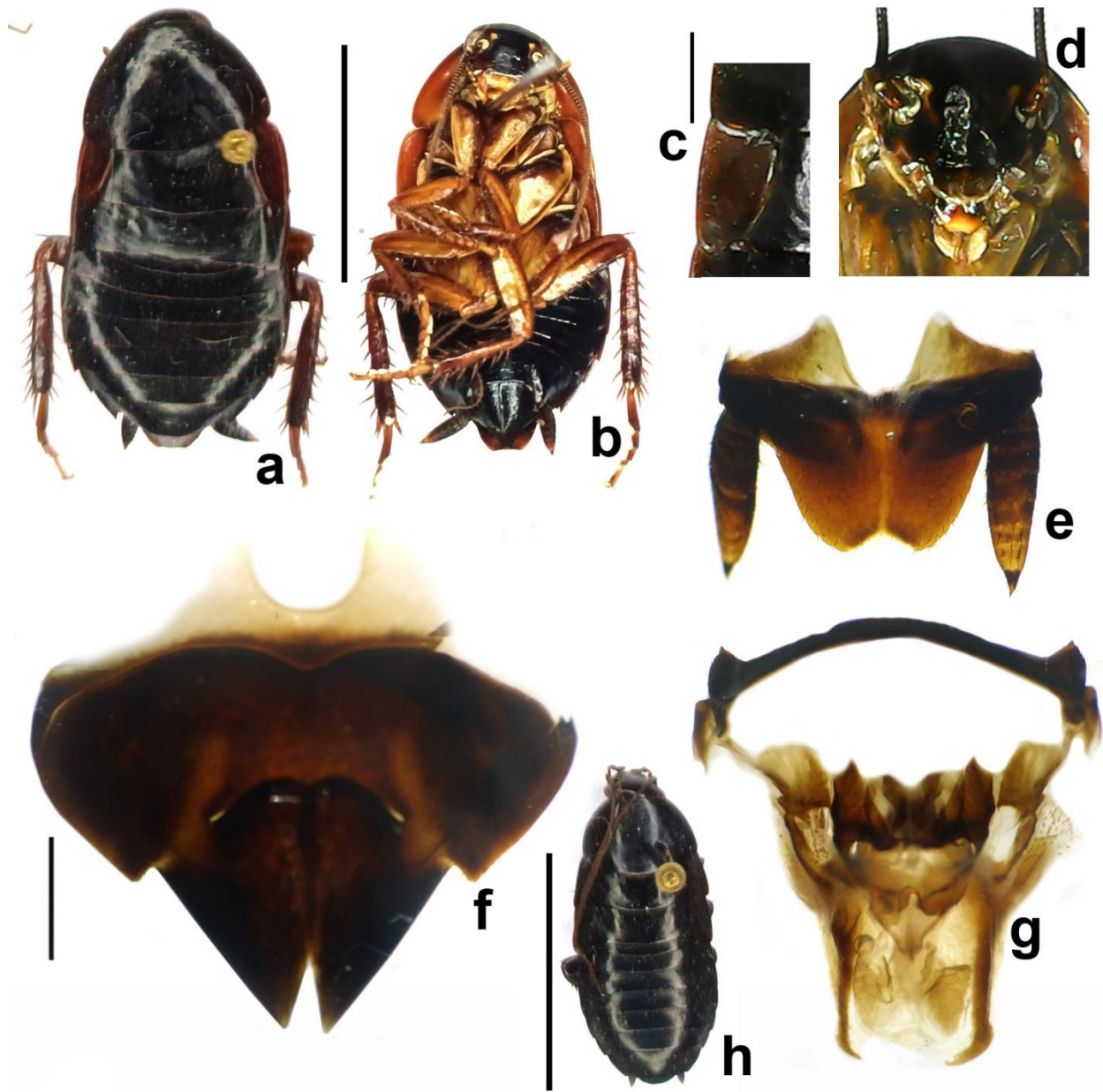
**Figuras 13a-g.** *Eurycotis zongolicanus* Estrada-Álvarez y Gutiérrez **sp. nov.** Paratipo Hembra (CNIN). (a) Vista dorsal. (b) Vista ventral. (c) Tegmina. (d) Rostro. (e) Lámina supraanal. (f) Lámina subgenital. (g) Complejo valvar. Barras de escala: a-b=10 mm; c, d=2 mm; e-g=1 mm.



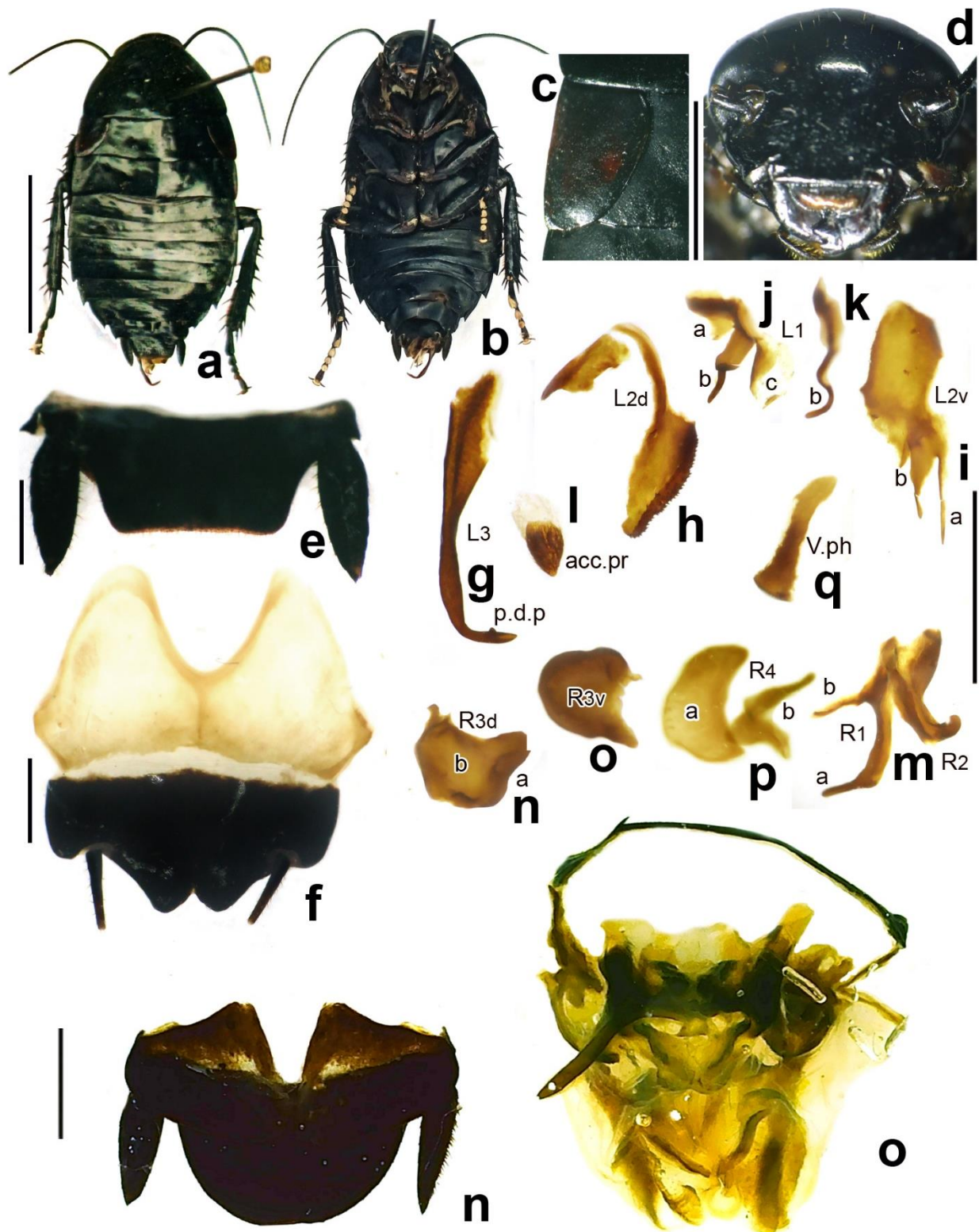
**Figuras 14a-q.** *Eurycotis attenboroughi* Estrada-Álvarez y Gutiérrez **sp. nov.** Holotipo Macho (CNIN). (a) Vista dorsal. (b) Vista ventral. (c) Tegmina. (d) Rostro. (e) Lámina supraanal. (f) Lámina subgenital. (g-q) Escleritos genitales. (g-h) L3. (i) L2d. (j) L2v separada de L1. (k) L1 separada de L2v. (l) acc. pr. (m) R1+ R2. (n-o) R3. (n) R3v. (o) R3d. (p) R4 (“a”, “b”). (q) V. ph. Barras de escala: a-b=10 mm; c, d=2 mm; e-q=1 mm.



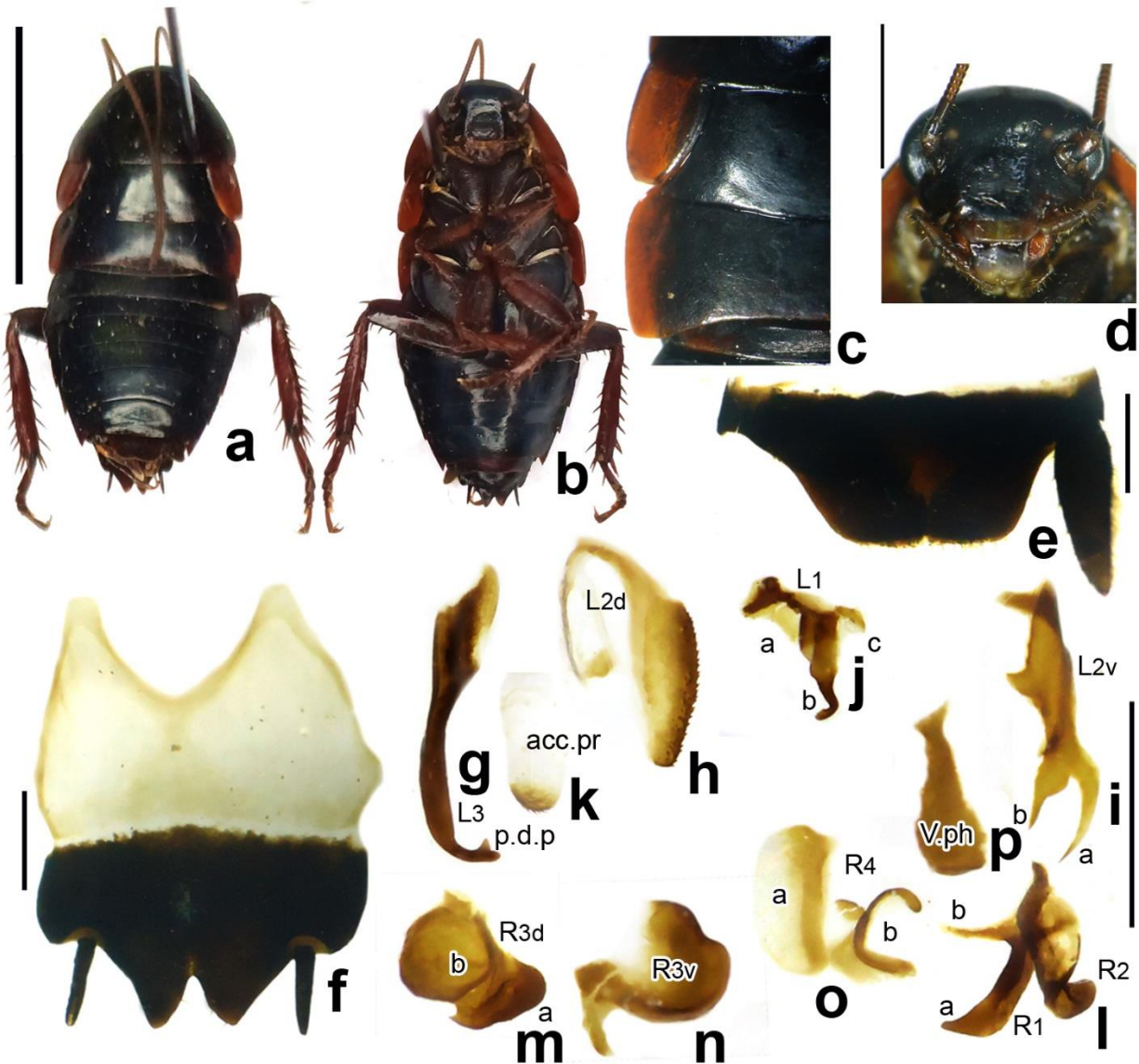
**Figuras 15a-q.** *Eurycotis chichahuaxtlanus* Estrada-Álvarez y Gutiérrez **sp. nov.** Holotipo Macho (CNIN). (a) Vista dorsal. (b) Vista ventral. (c) Tegmina. (d) Rostro. (e) Lámina supraanal. (f) Lámina subgenital. (g-q) Escleritos genitales. (g-h) L3. (i) L2d. (j) L2v separada de L1. (k) L1 separada de L2v. (l) acc. pr. (m) R1+ R2. (n-o) R3. (n) R3v. (o) R3d. (p) R4 (“a”, “b”). (q) V. ph. Barras de escala: a-b=10 mm; c, d=2 mm; e-q=1 mm.



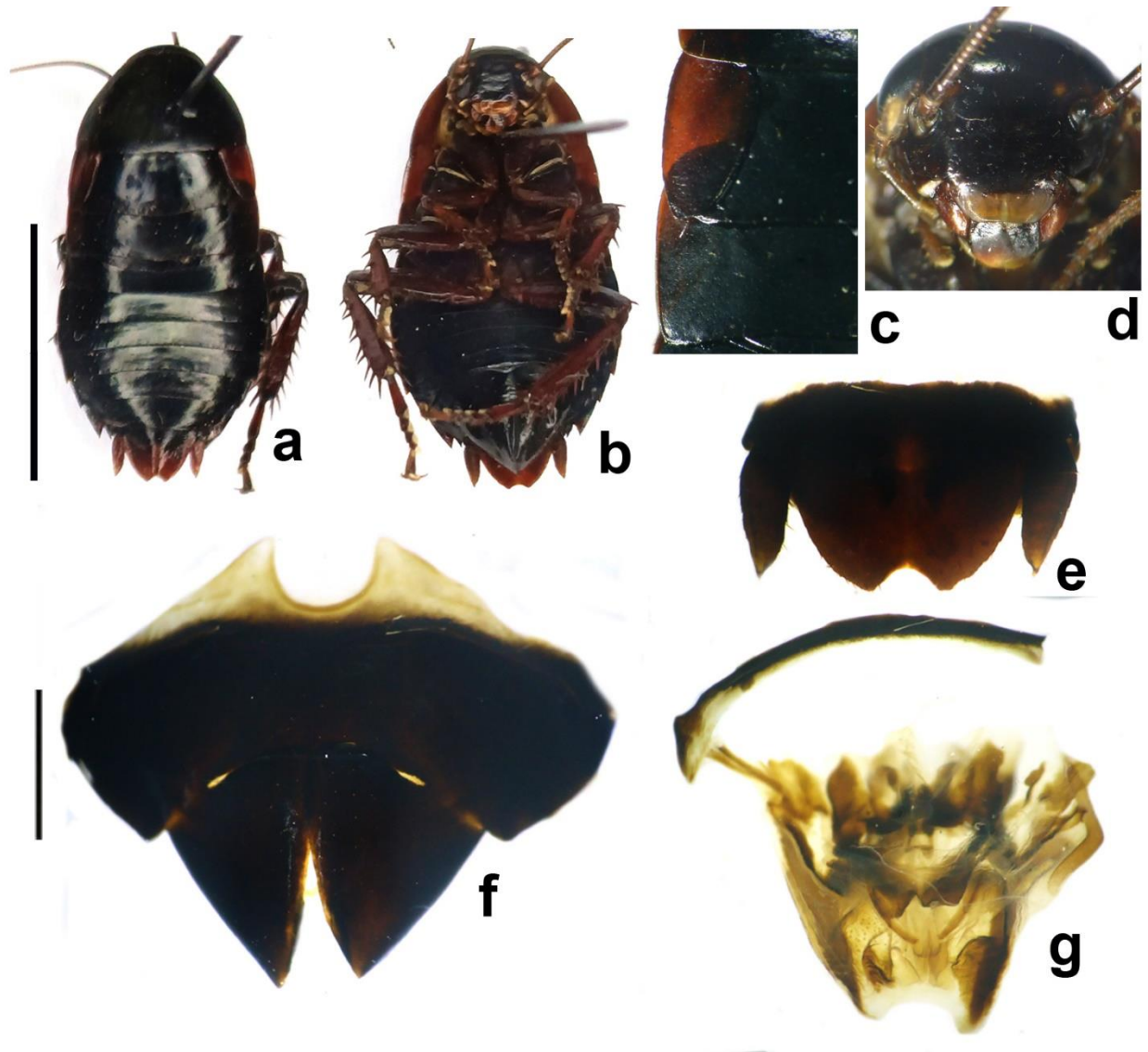
**Figuras 16a-g. *Eurycotis chichahuaxtlanus* Estrada-Álvarez y Gutiérrez sp. nov. (a-g) Paratipo Hembra (CNIN). (a) Vista dorsal. (b) Vista ventral. (c) Tegmina. (d) Rostro. (e) Lámina supraanal. (f) Lámina subgenital. (g) Complejo valvar. (h) Juvenil. Barras de escala: a-b, h=10 mm; c, d=2 mm; e-g=1 mm.**



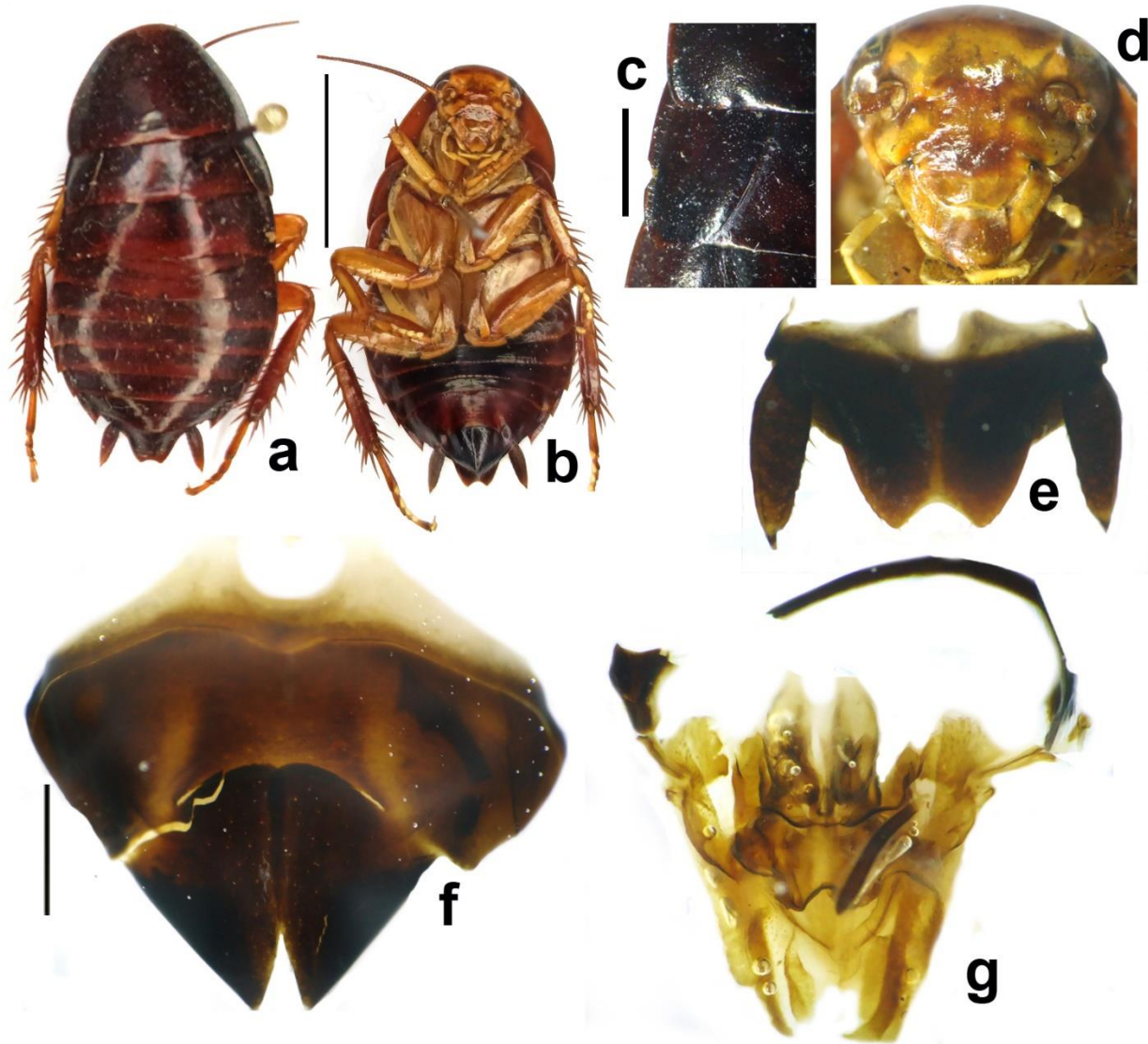
**Figuras 17a-q.** *Eurycotis diazbatresae* Estrada-Álvarez y Gutiérrez **sp. nov.** Holotipo Macho (CNIN). (a) Vista dorsal. (b) Vista ventral. (c) Tegmina. (d) Rostro. (e) Lámina supraanal. (f) Lámina subgenital. (g-q) Escleritos genitales. (g) L3. (h) L2d. (i) L2v separada de L1. (j-k) L1 separada de L2v. (l) acc. pr. (m) R1+ R2. (n-o) R3. (n) R3v. (o) R3d. (p) R4 (“a”, “b”). (q) V. ph. Barras de escala: a-b=10 mm; c, d=2 mm; e-q=1 mm.



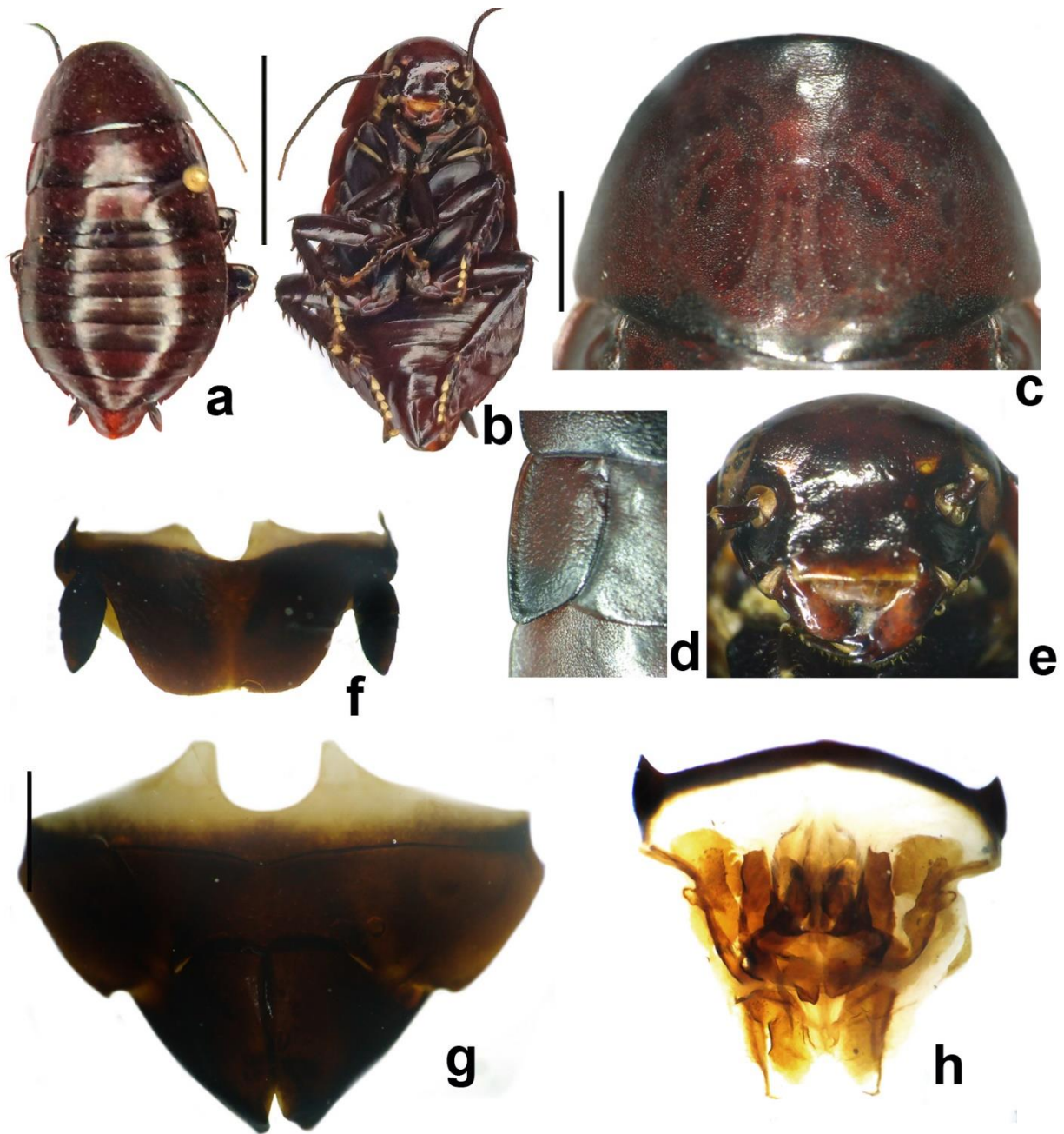
**Figuras 18a-p.** *Eurycotis triumphalis* Estrada-Álvarez y Gutiérrez **sp. nov.** Holotipo Macho (CNIN). (a) Vista dorsal. (b) Vista ventral. (c) Tegmina. (d) Rostro. (e) Lámina supraanal. (f) Lámina subgenital. (g-p) Escleritos genitales. (g) L3. (h) L2d. (i) L2v separada de L1. (j) L1 separada de L2v. (k) acc. pr. (l) R1+ R2. (m-n) R3. (n) R3v. (m) R3d. (o) R4 (“a”, “b”). (p) V. ph. Barras de escala: a-b=10 mm; c, d=2 mm; e-q=1 mm.



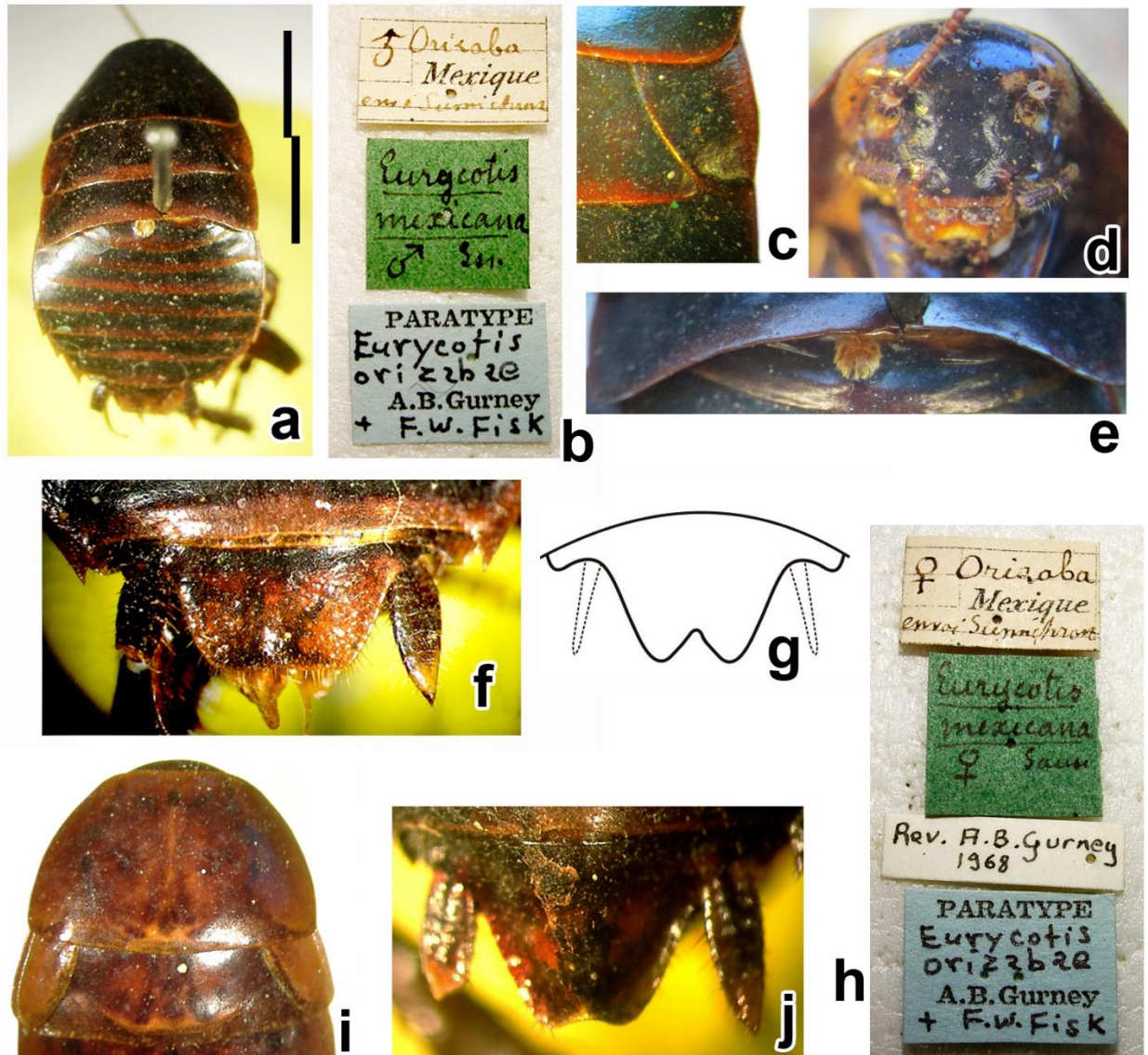
**Figuras 19a-g.** *Eurycotis triumphalis* Estrada-Álvarez y Gutiérrez **sp. nov.** (a-g) Paratipo Hembra (CNIN). (a) Vista dorsal. (b) Vista ventral. (c) Tegmina. (d) Rostro. (e) Lámina supraanal. (f) Lámina subgenital. (g) Complejo valvar. (h) Juvenil. Barras de escala: a-b, h=10 mm; c, d=2 mm; e-g=1 mm.



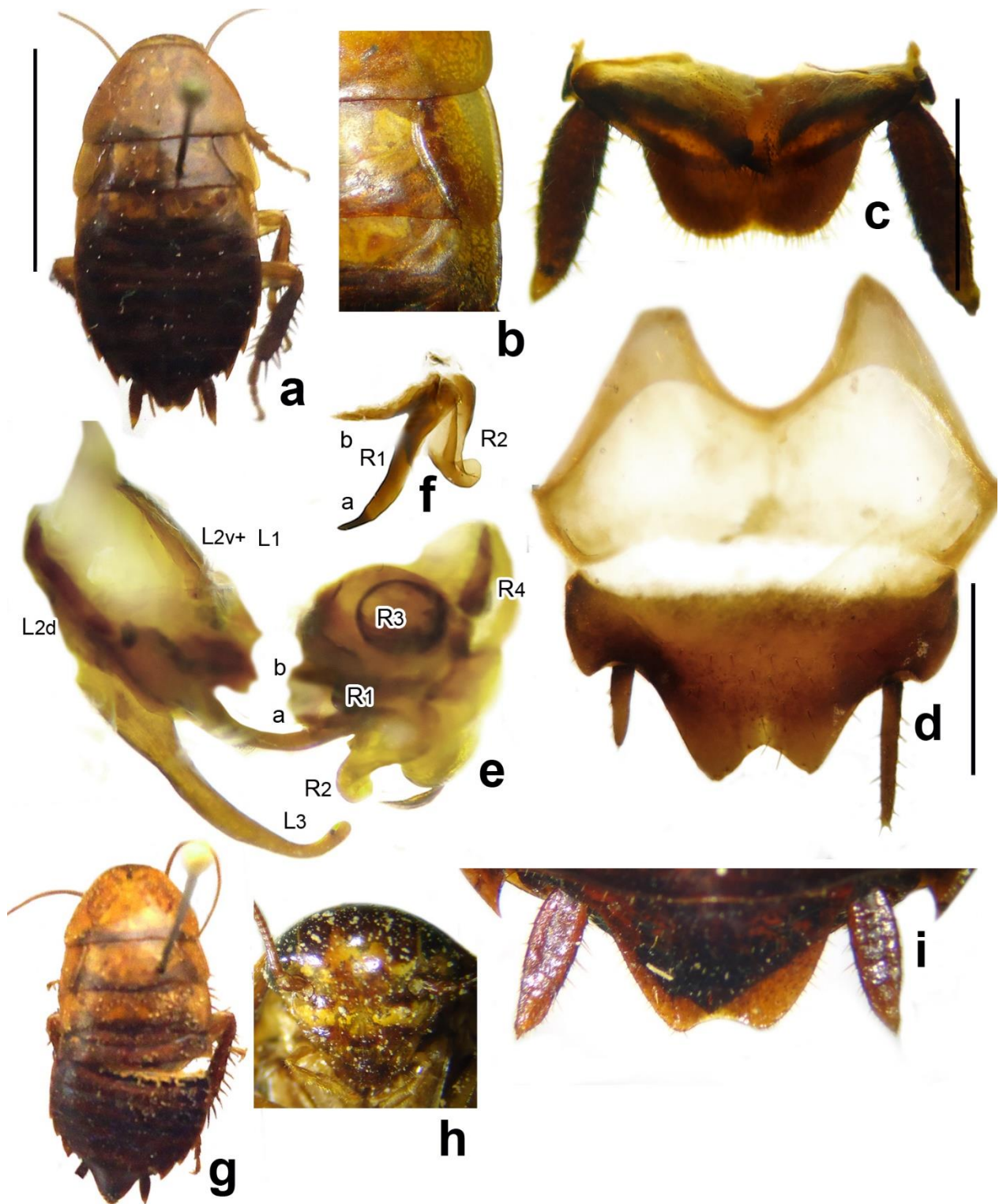
**Figuras 20a-g.** *Eurycotis copalitanus* Estrada-Álvarez y Gutiérrez **sp. nov.** (a-g) Paratipo Hembra (CNIN). (a) Vista dorsal. (b) Vista ventral. (c) Tegmina. (d) Rostro. (e) Lámina supraanal. (f) Lámina subgenital. (g) Complejo valvar. (h) Juvenil. Barras de escala: a-b, h=10 mm; c, d=2 mm; e-g=1 mm.



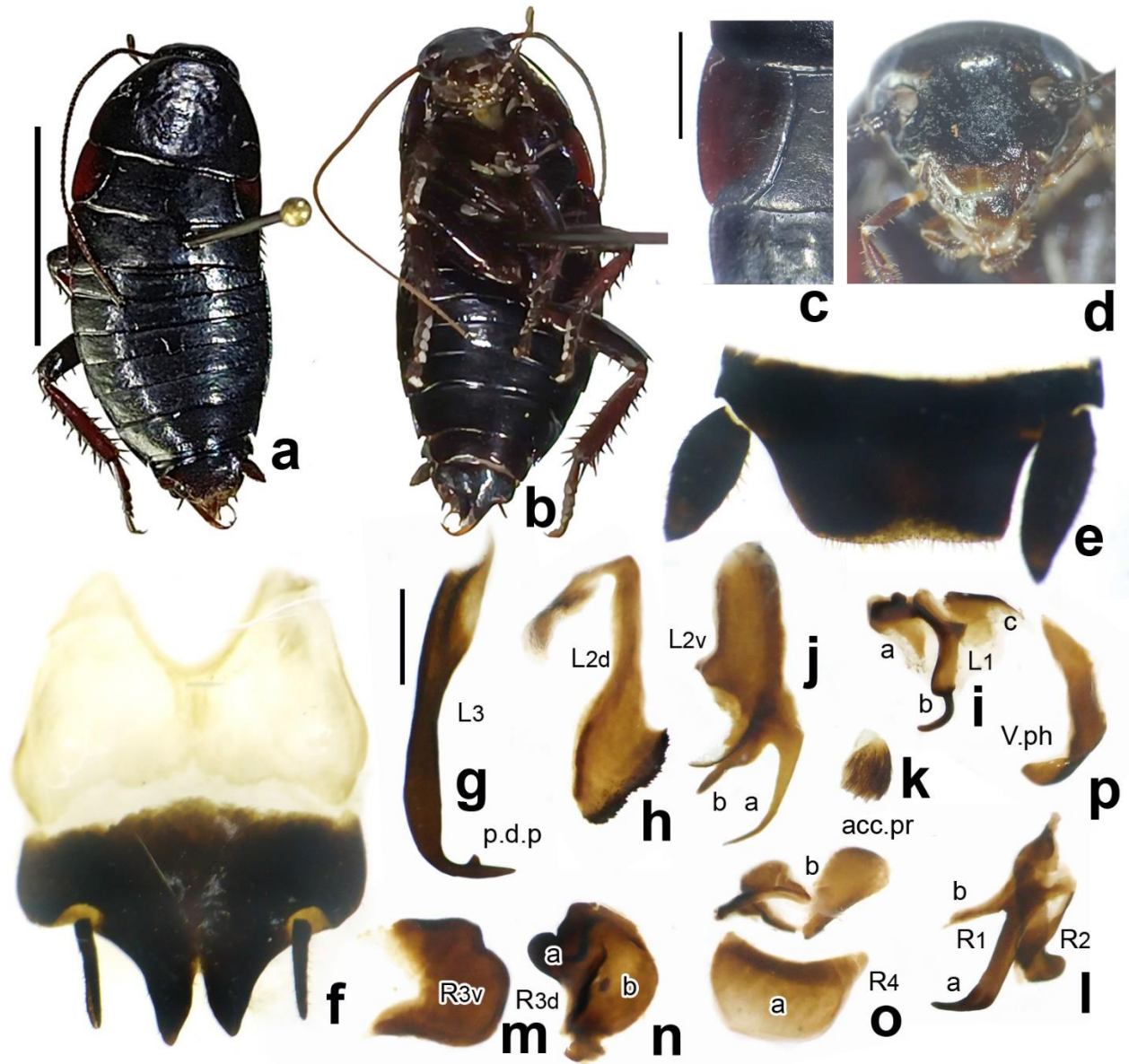
**Figuras 21a-g.** *Eurycotis ocotalis* Estrada-Álvarez y Gutiérrez **sp. nov.** (a-g) Paratipo Hembra (CNIN). (a) Vista dorsal. (b) Vista ventral. (c) Tegmina. (d) Rostro. (e) Lámina supraanal. (f) Lámina subgenital. (g) Complejo valvar. (h) Juvenil. Barras de escala: a-b, h=10 mm; c, d=2 mm; e-g=1 mm.



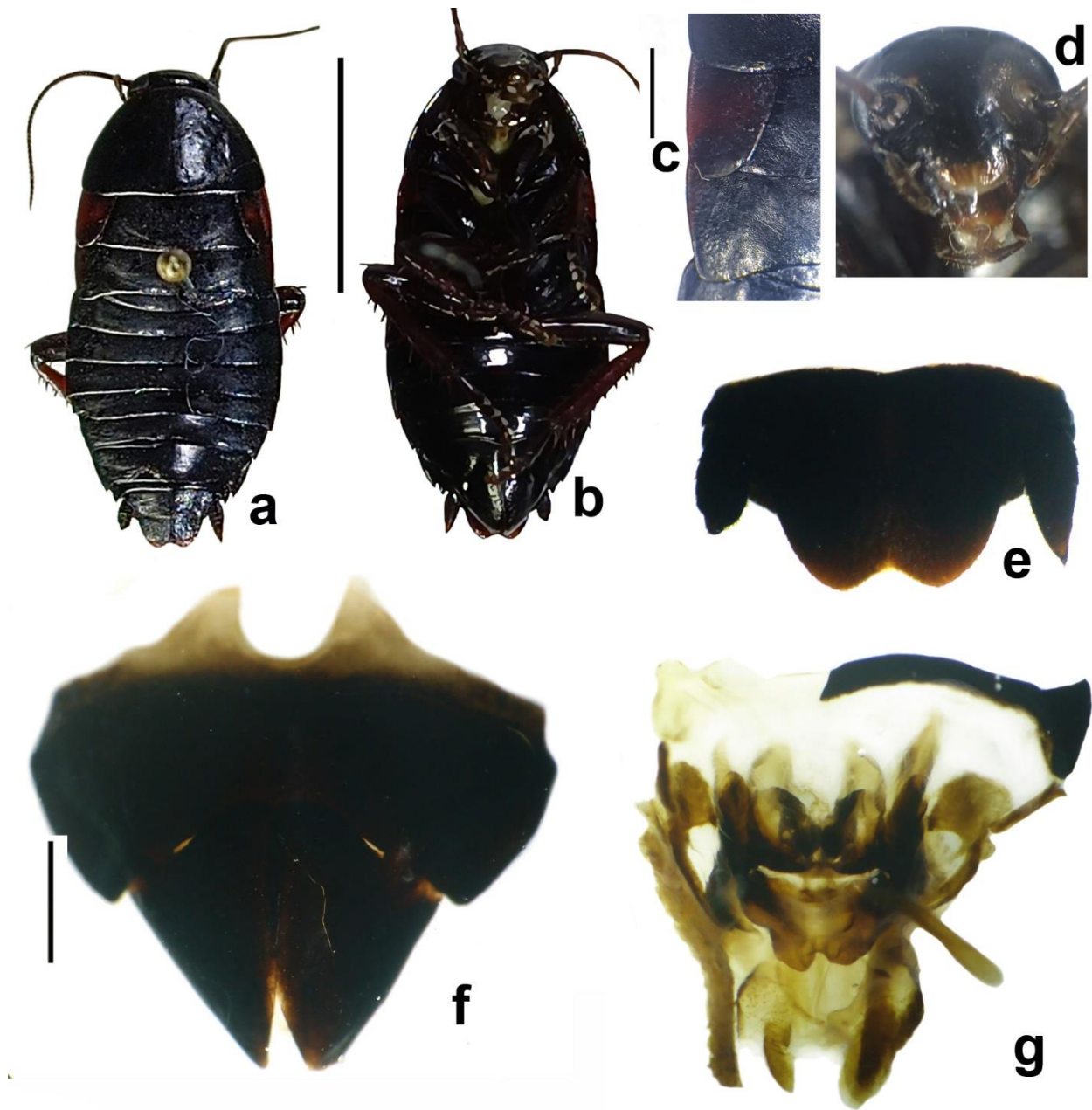
**Figuras 22a-h.** *Eurycotis gurneyfiskorum* Estrada-Álvarez y Sormani **sp. nov.** (a-g) Holotipo Macho (MHNG). (a) Vista dorsal. (b) Etiquetas, incluyendo las de Gurney y Fisk. (c) Tegmina. (d) Rostro. (e) Estructura tergal en T-1. (f) Lámina supraanal. (g) Esquema de la lámina subgenital. (h-j) Paratipo hembra (MHNG). (h) Etiquetas, incluyendo las de Gurney y Fisk. (i) Detalle parte anterior, en vista dorsal. (j) Lámina supraanal. Barras de escala: b=10 mm.



**Figuras 23a-i.** *Eurycotis cozticus* Estrada-Álvarez y Sormani *sp. nov.* Holotipo Macho (IEXA). (a-f) Holotipo macho: (a) Vista dorsal. (b) Tegmina. (c) Lámina supraanal. (d) Lámina subgenital. (e) Escleritos de los genitales masculinos. (f) Lámina subgenital. (f) R<sub>1</sub>+ R<sub>2</sub>. (g-i) Paratipo hembra. (g) Vista dorsal (h) Rostro. (i) Lámina supraanal. Barras de escala: a, g=10 mm, resto 1 mm.



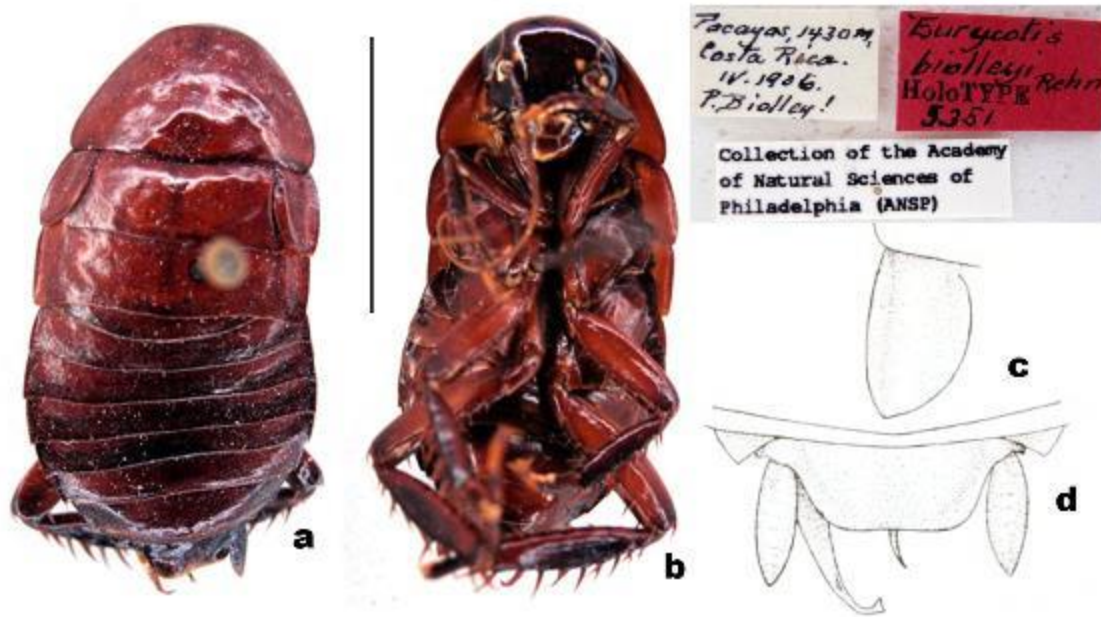
**Figuras 24a-p.** *Eurycotis gadarramorum* Estrada-Álvarez y Gutiérrez **sp. nov.** Holotipo Macho (CNIN). (a) Vista dorsal. (b) Vista ventral. (c) Tegmina. (d) Rostro. (e) Lámina supraanal. (f) Lámina subgenital. (g-p) Escleritos genitales. (g) L<sub>3</sub>. (h) L<sub>2d</sub>. (i) L<sub>1</sub> separada de L<sub>2v</sub>. (j) L<sub>2v</sub> separada de L<sub>1</sub>. (k) acc. pr. (l) R<sub>1</sub>+R<sub>2</sub>. (m-n) R<sub>3</sub>. (m) R<sub>3v</sub>. (n) R<sub>3d</sub>. (o) R<sub>4</sub> (“a”, “b”). (p) V. ph. Barras de escala: a, b=10 mm; c, d=2 mm; e-p=1 mm.



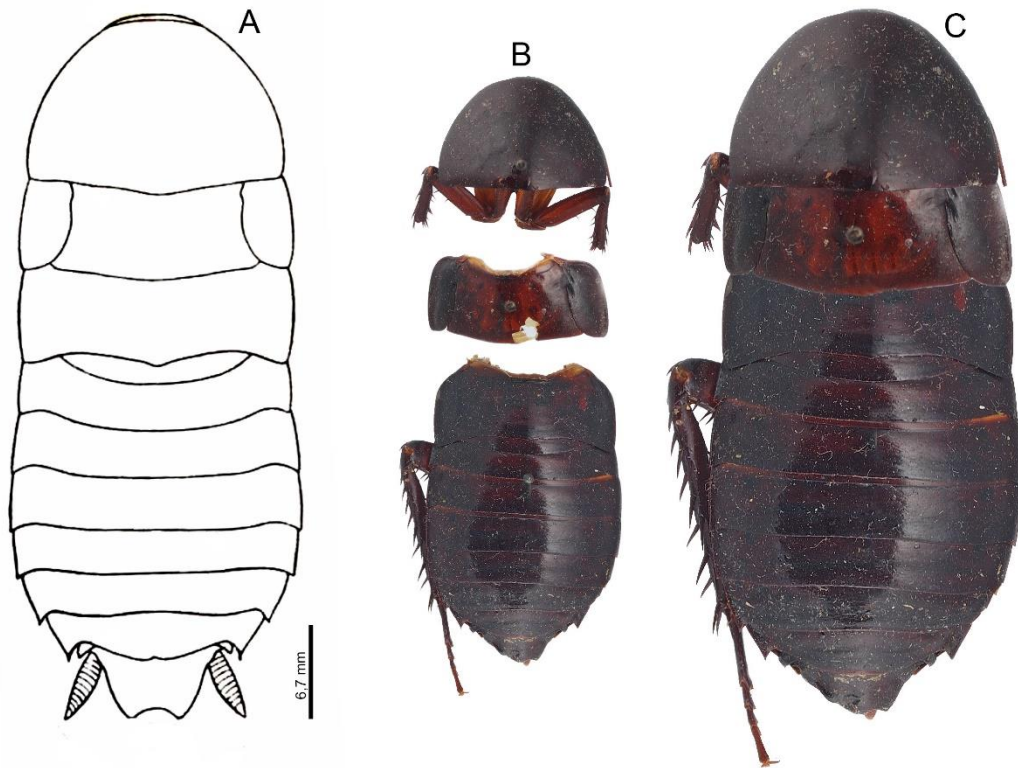
**Figs. 25a-e.** *Eurycotis guadarramorum* Estrada-Álvarez y Gutiérrez *sp. nov.* (a-c) Paratipo Hembra (CNIN). (a) Vista dorsal. (b) Vista ventral. (c) Tegmina. (d) Rostro. (e) Lámina supraanal. (f) Lámina subgenital. (g) Complejo valvar Barras de escala: a-b=1 mm; c, d=2 mm; e-g=1 mm.



**Figuras 26a-c.** *Eurycotis abdominalis* Hebard, 1916. (a-b) Holotipo hembra (ANSP), “Central América”, fotos por: Dra. Heidi Hopkins. (a) Vista dorsal. (b) Vista ventral. (c) Macho vista dorsal (Ramos-Galdámez, 2023), Honduras. Barras de escala: a-b=10 mm.



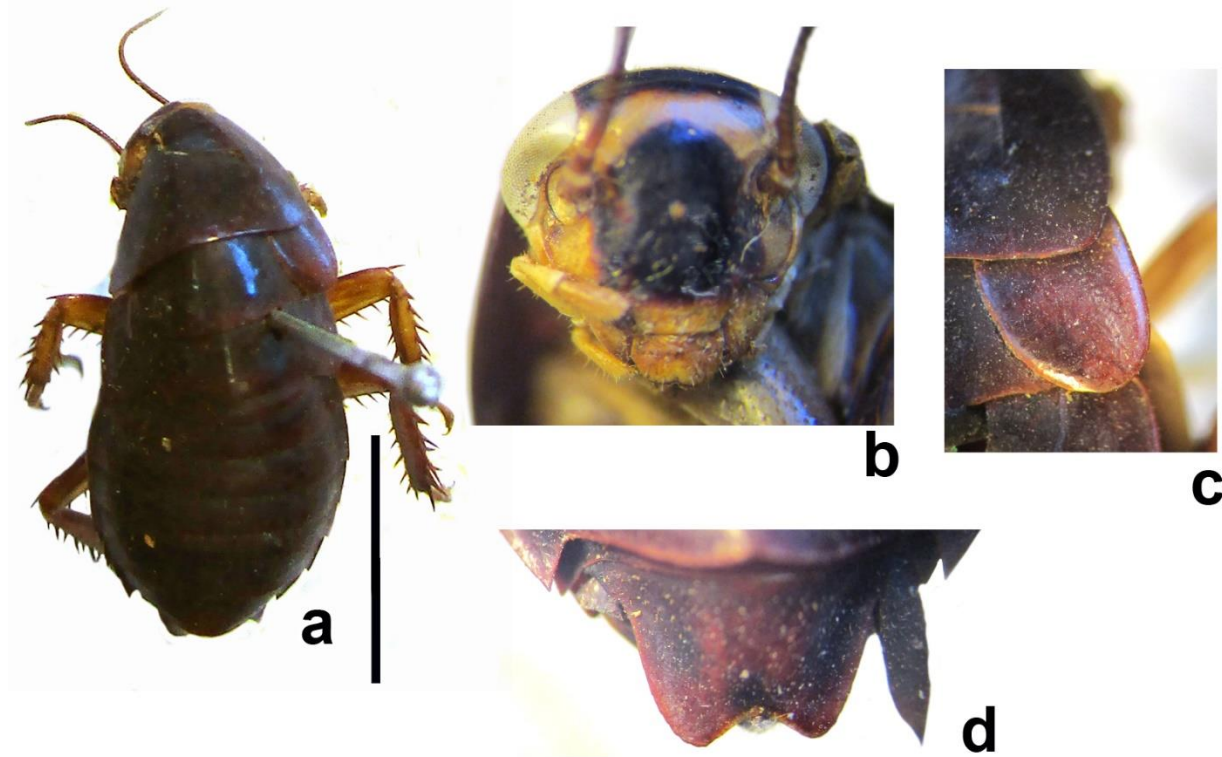
**Figuras 27a-d.** *Eurycotis biolleyi* Rehn, 1918. Holotipo macho (ANSP), Costa Rica, (a-b) fotos por: Dra. Heidi Hopkins. (a) Vista dorsal. (b) Vista ventral. (c-d) Tomado de Rehn (1918). (c) Tegmina. (b) Lámina supraanal. Barras de escala: a-b=10 mm.



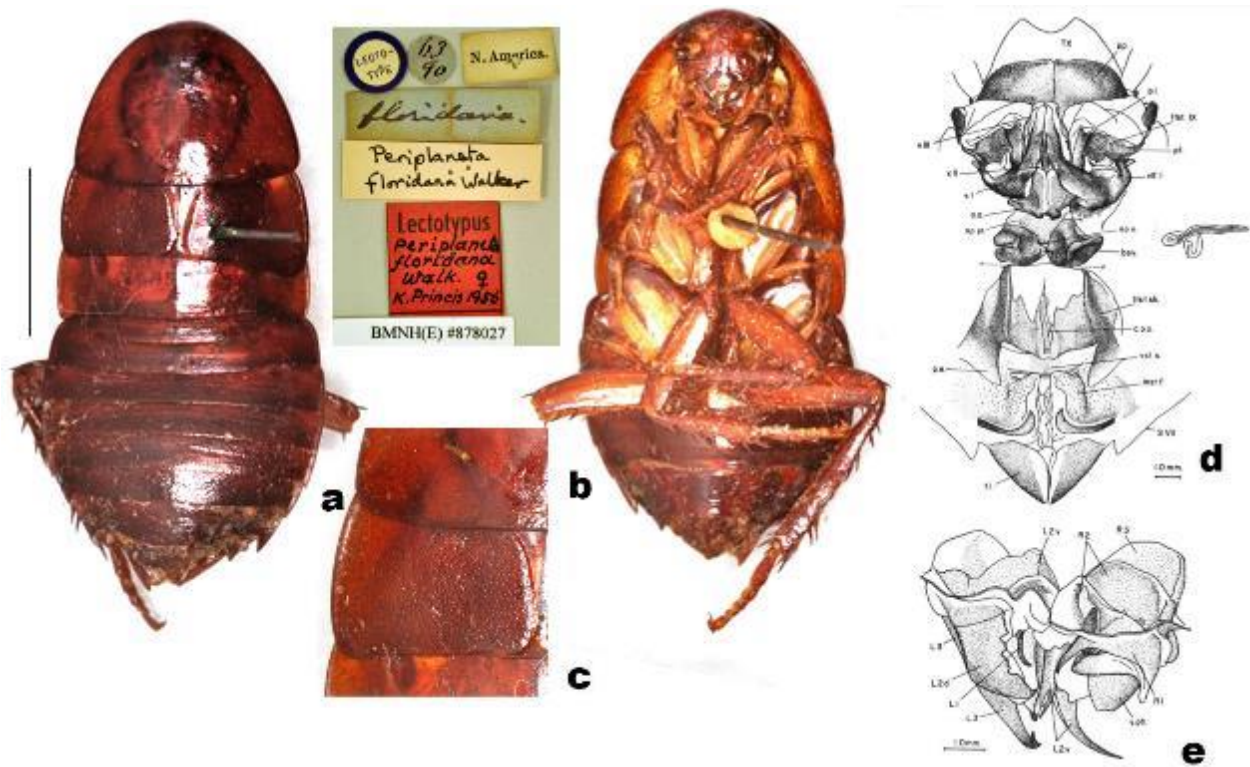
**Figuras 28a-c. *Eurycotis pluto*** Hebard, 1920. Holotipo hembra (NMNH), Panamá. **(a)** Esquema de la vista dorsal, tomado de Hebard (1920). **(b)** Fotografía del tipo hembra fragmentado y montado en 3 alfileres, cortesía de Nancy Adams (NMNH). **(c)** Reconstrucción en Photoshop del ejemplar tipo por E. Gutiérrez. Barras de escala: a, c=6,7 mm, figura b, sin escala.



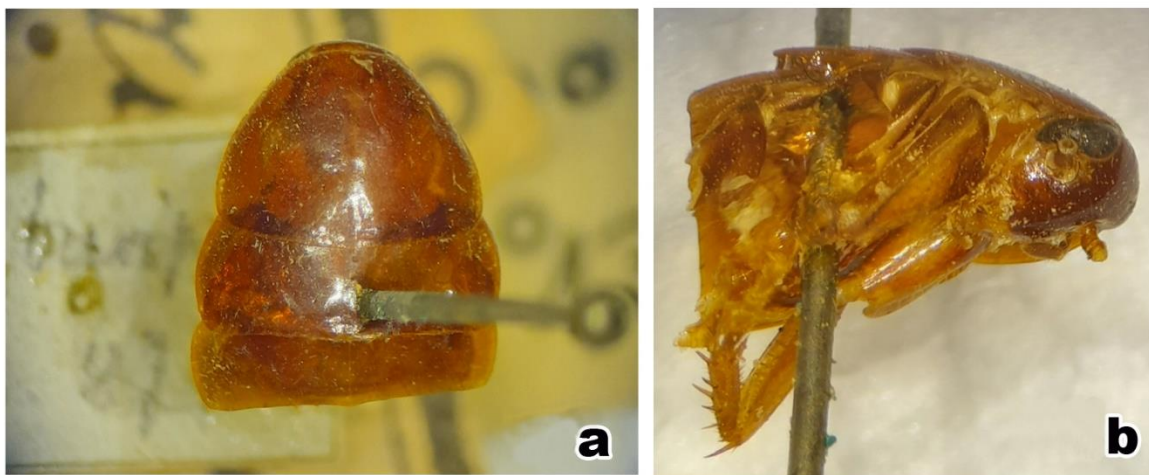
**Figuras 29a-d.** *Eurycotis quadrisquamata* Saussure & Zehntner, 1893. Holotipo hembra (BMNH), Guatemala, (a-b) fotos por: BMNH. (a) Vista dorsal. (b) Vista ventral. (c) Tegmina. Barras de escala: a-b=10 mm.



**Figuras 30a-d.** *Eurycotis vittifrons* Saussure & Zehntner, 1893. Holotipo Hembra (MHNG). (a) Vista dorsal. (b) Rostro. (c) Detalle de tegmina. (d) Lámina supraanal. Barras de escala: a=10 mm.



**Figuras 31a-e.** *Eurycotis floridana* (Walker, 1868) EE. UU., Florida. (a-c) Lectotipo hembra (BMNH). (a) Vista dorsal. (b) Vista ventral. (c) Tegmina. (d-e) Genitales, tomados de McKittrick & Mackerras (1965). (d) Hembra. (e) Macho. Barras de escala: a-b= 10 mm.



**Figura 32a, b.** *Kakerlac brevipes* Philippi, 1863 *nomina bubia* statu. nov. juvenil (MNHNC), cortesía de Mario Elgueta (MNHNC).



**Figura 33.** Mapa de la distribución de *Eurycotis* Stål en México y áreas limítrofes. **Provincias biogeográficas en México:** California (**cal**); Baja California (**baj**); Sonora (**son**); Altiplano Mexicano (**mp**); Tamaulipas (**tam**); Sierra Madre Occidental (**smo**); Sierra Madre Oriental (**sme**); Faja Volcánica Transmexicana (**tvb**); Golfo de México (**mg**); Depresión del Balsas (**bal**); Sierra Madre del Sur (**sms**); Costa del Pacífico Mexicano (**mpc**); Chiapas (**chi**); Península de Yucatán (**yuc**).